



# Evaluación de la interacción de microplásticos y atrazina en *Lumbricus terrestris* como un bioindicador terrestre

Habilitación presentada para optar al título de  
**Ingeniera Ambiental**

**CARLA VALENTINA ALEXANDRA SOBARZO PALMA**

CONCEPCIÓN (Chile), 2023

**"Evaluación de la interacción entre microplásticos y atrazinas en lumbricus terrestres como bioindicador terrestre"**

**Profesor Guía: Dra. Carolina Baeza Freer**



**Profesor Comisión: Dra. Patricia González Sánchez**



**Profesor Comisión: Dr. Ricardo Barra Ríos**



**Profesor Comisión: Dr. Alberto Araneda Castillo**



**CONCEPTO: APROBADO CON DISTINCIÓN MÁXIMA**

Conceptos que se indica en el Título

- ✓ Aprobado por Unanimidad : (En Escala de 4,0 a 4,9)
- ✓ Aprobado con Distinción (En Escala de 5,0 a 5,6)
- ✓ Aprobado con Distinción Máxima ( En Escala de 5,7 a 7,0)

**Concepción, agosto 2023**



# Evaluación de la interacción de microplástico y atrazina en *Lumbricus* *terrestris* como un bioindicador terrestre

Habilitación presentada para optar al título de  
**Ingeniera Ambiental**

**CARLA VALENTINA ALEXANDRA SOBARZO PALMA**  
**Profesor guía: Dra. Ana Carolina Baeza Freer**

CONCEPCIÓN (CHILE), 2023

## Índice

|  |    |
|--|----|
| Agradecimientos.....   | iv |
| RESUMEN.....   | v  |
| 1. INTRODUCCIÓN.....   | 1  |
| 1.1 HIPÓTESIS .....  | 2  |
| 1.2 OBJETIVOS .....  | 3  |
| 1.2.1 Objetivo general .....                                     | 3  |
| 1.2.2 Objetivos específicos .....                                | 3  |
| 2. ANTECEDENTES .....  | 4  |
| 2.1 Plásticos.....   | 4  |
| 2.2 ¿Qué son los microplásticos?.....                            | 5  |
| 2.3 Efectos de los microplásticos.....                           | 6  |
| Figura 1 .....   | 9  |
| 2.4 Agroquímicos .....   | 9  |
| 2.5 Efectos de los pesticidas.....                               | 10 |
| 2.6 Atrazina.....  | 11 |
| <b>Tabla 1</b> .....   | 13 |
| Figura 2 .....   | 14 |
| 2.7 Bioindicadores y Biomarcadores .....                         | 14 |
| 2.7.1 Biomarcadores para microplásticos .....                    | 15 |
| 2.7.2 Biomarcadores para pesticidas .....                        | 16 |
| 2.8 <i>Lumbricus terrestris</i> .....                            | 18 |
| <b>Tabla 2</b> .....   | 22 |
| 3. METODOLOGÍA.....  | 2  |
| 3.1 Reactivos y materiales .....                                 | 2  |
| 3.2 Suelo .....  | 2  |
| 3.2.1 Caracterización propiedades fisicoquímicas del suelo ..... | 3  |
| 3.2.1.1 Granulometría.....                                       | 3  |
| 3.2.1.2 Porcentaje de humedad.....                               | 3  |
| 3.2.1.3 Materia orgánica.....                                    | 4  |
| 3.2.1.4 pH .....   | 4  |
| 3.2.1.5 Fósforo Total.....                                       | 4  |
| 3.3 Prueba de adsorción a superficie de MP .....                 | 4  |

|   |    |
|---|----|
| 3.3.1 Obtención y preparación de los MPs .....            | 4  |
| Figura 3 .....  | 5  |
| 3.3.2 Capacidad de adsorción a superficie de MPs .....    | 5  |
| 3.4 Diseño Experimental.....                              | 6  |
| 3.4.1 Organismos y contaminación del suelo .....          | 6  |
| Figura 4 .....  | 8  |
| 3.4.2 Bioensayo de exposición.....                        | 8  |
| Figura 5 .....  | 9  |
| 3.4.3 Concentración de atrazina en muestras de suelo..... | 10 |
| Figura 6 .....  | 10 |
| 3.4.4 Lombrices y disección de tejidos.....               | 10 |
| Figura 7 .....  | 11 |
| 3.4.5 Actividad de la acetilcolinesterasa.....            | 12 |
| 3.4.6 Actividad de Carboxilesterasa .....                 | 12 |
| 3.4.7 Análisis estadístico .....                          | 13 |
| 4. RESULTADOS Y DISCUSIÓN.....                            | 13 |
| 1. Suelo.....   | 13 |
| <b>Tabla 3</b> .....                                      | 13 |
| 2. Test de adsorción de ATZ a MP.....                     | 14 |
| Figura 8 .....  | 14 |
| Figura 9 .....  | 14 |
| Figura 10 .....   | 15 |
| Figura 11 .....   | 15 |
| <b>Tabla 4</b> .....                                      | 16 |
| 3. Exposiciones .....                                     | 17 |
| 3.1 Mortalidad.....                                       | 17 |
| Figura 12 .....   | 18 |
| 3.2 Extracción de ATZ del suelo .....                     | 19 |
| <b>Tabla 5</b> .....                                      | 19 |
| 3.3 Lombrices .....                                       | 19 |
| Figura 13 .....   | 19 |
| <b>Tabla 6</b> .....                                      | 20 |
| <b>Tabla 6</b> .....                                      | 21 |
| Figura 14 .....   | 22 |

|  |    |
|--|----|
| Figura 15 .....  | 22 |
| Figura 16 .....  | 23 |
| 3.4 Análisis estadístico del cambio de peso .....                            | 23 |
| <b>Tabla 7</b> .....   | 23 |
| <b>Tabla 8</b> .....   | 24 |
| <b>Tabla 9</b> .....   | 24 |
| 3.5 Actividad enzimática de AChE.....  | 26 |
| <b>Tabla 10</b> .....  | 26 |
| Figura 18 .....  | 26 |
| <b>Tabla 11</b> .....  | 27 |
| <b>Tabla 12</b> .....  | 27 |
| <b>Tabla 13</b> .....  | 28 |
| Figura 19 .....  | 28 |
| Figura 20 .....  | 29 |
| Figura 21 .....  | 30 |
| <b>Tabla 14</b> .....  | 31 |
| 3.6 Actividad enzimática de CbE .....  | 34 |
| Figura 22 .....  | 34 |
| <b>Tabla 15</b> .....  | 35 |
| Figura 23 .....  | 35 |
| <b>Tabla 16</b> .....  | 35 |
| <b>Tabla 17</b> .....  | 36 |
| <b>Tabla 18</b> .....  | 36 |
| Figura 24 .....  | 37 |
| Figura 25 .....  | 38 |
| <b>Tabla 19</b> .....  | 39 |
| 3.7 Correlaciones .....  | 41 |
| Figura 26 .....  | 41 |
| <b>Tabla 20</b> .....  | 41 |
| 5. CONCLUSIONES.....   | 42 |
| OBJETIVOS DE DESARROLLO SOSTENIBLE .....                                     | 44 |
| Objetivo 15: Vida de ecosistemas terrestres.....                             | 44 |
| Objetivo 2: Hambre Cero .....  | 44 |
| Objetivo 12: Garantizar modalidades de consumo y producción sostenibles..... | 45 |

|    |                                  |    |
|----|----------------------------------|----|
| 6. | REFERENCIAS BIBLIOGRÁFICAS ..... | 46 |
| 7. | ANEXOS .....                     | 57 |

## Agradecimientos

Quiero agradecer a mi familia por siempre apoyarme en todos los desafíos a los que me enfrento. A mis amigos, que han sido una gran fortaleza en todo este proceso.

Gracias a mis queridas profesoras Patricia González y Carolina Baeza, que han confiado en mi trabajo y en mis habilidades, me han apoyado y guiado en mi carrera profesional. Al profesor Ricardo Barra por guiarme en su experiencia y consejos. Al profesor Alfred Rossner, por todo su apoyo en la realización de los primeros ensayos.

Al profesor Mauricio Schoebitz por permitirme la oportunidad de conocer el laboratorio de Microbiología de suelos de la Facultad de Agronomía, del que ahora soy parte.

A las increíbles personas de los laboratorios del centro EULA, gracias por brindarme ayuda y apoyo, realmente ha sido la mejor parte de elegir una tesis de laboratorio.

A todas las personas que he mencionado, gracias por permitir que este proceso sea grato y ahora pueda dedicar parte de mi vida a la investigación.

Esta investigación ha sido financiada gracias al Proyecto VRID\_MULTIDISCIPLINARIO, UdeC Código 2021000385MUL.

## RESUMEN

La contaminación por microplásticos (MPs) y pesticidas se ha convertido en un problema ambiental a nivel mundial, y se han posicionado como los principales contaminantes de interés emergente del suelo. Esta presencia masiva se debe principalmente a las prácticas relacionadas al estilo de vida moderna y la agricultura convencional.

La liberación de estos contaminantes al ambiente es simultánea, por lo que explorar las posibles interacciones entre estos ha sido de gran interés en organismos acuáticos, sin embargo, la investigación para organismos del suelo es limitada.

Considerando que todos los procesos en el suelo están interconectados, una perturbación puede afectar a los distintos organismos que habitan en él. Es necesario evaluar los posibles efectos interactivos de los contaminantes en organismos clave del suelo, como la lombriz común *Lumbricus terrestris* (Oligochaeta, Lumbricidae) que desempeña un rol importante en el ecosistema terrestre.

En esta investigación se expuso a *L. terrestris* a MPs y atrazina (ATZ) con el objetivo de evaluar los efectos a nivel enzimático de la exposición singular y a la combinación de los contaminantes en condiciones de laboratorio. Los individuos fueron expuestos a concentraciones en suelo de 0,5 mg/kg de ATZ y/o 2% p/p de MPs de polietileno de baja densidad (MPBD) mediante un bioensayo de exposición por 42 días. El efecto se determinó a través de la actividad de los biomarcadores enzimáticos Acetilcolinesterasa (AChE) y Carboxilesterasa (CbE) en los distintos tejidos de las lombrices. Los resultados indican un posible efecto de competición entre los contaminantes estudiados evaluados en AChE al estar en coexposición (MPs+ATZ), presentando un menor nivel de inhibición de actividad enzimática en ciertos tejidos específicos de la lombriz.

## 1. INTRODUCCIÓN

La producción de plástico y su uso a gran escala se remonta aproximadamente a 1950 y desde entonces ha sido una herramienta esencial para el desarrollo de la vida humana moderna, es un material muy conveniente de producir debido a su gran versatilidad, bajo costo, higiene, facilidad de procesamiento y alta resistencia (Andrade and Neal, 2009; Cole et al., 2011; Geyer et al., 2017; Lei et al., 2018). Debido a estas características es que los plásticos están presentes en casi todos los sectores de la sociedad, siendo utilizado por una gran variedad de consumidores y aplicaciones industriales como envases, construcción, materiales sanitarios, piezas de automóviles, artículos para el hogar y materiales agrícolas (Goeran et al., 2010; Kim et al., 2020).

El plástico ha sido objeto de una creciente preocupación ambiental (Cole et al., 2011), ya que la durabilidad que lo hace un material tan atractivo lo hace muy resistente a la degradación, por lo que la eliminación de estos residuos es una problemática agravada por su abundante uso y práctica de usar-y-tirar (Barnes et al., 2009). Se calcula que alrededor del 80% de los residuos plásticos mundiales terminan en vertederos donde pueden tardar siglos en descomponerse, y están expuestos a las condiciones ambientales lo cual puede generar los llamados microplásticos (MPs) (Barnes et al., 2009; Geyer et al., 2017)

Los MPs son fragmentos de plástico de tamaño inferior a 5 mm formados a partir de restos plásticos más grandes que han sido degradados de forma física, química y biológica (Arthur et al., 2009; Hanvey et al., 2017; Rillig et al., 2017). Los efectos de los MPs en el ambiente difieren sustancialmente de otros contaminantes, debido a sus características intrínsecas, como movilidad y área superficial (Pathan et al., 2020).

Una de las principales actividades que permiten la entrada de los MPs en el suelo son las prácticas agrícolas, que utilizan acolchado plástico para obtener mejores rendimientos en los cultivos, cosechas más tempranas y mejor calidad de la fruta (Steinmetz et al., 2016). En este contexto de protección de

cultivos, y en consecuencia aumentar la producción y minimizar las perdidas, en la agricultura convencional se utiliza una gran cantidad de pesticidas, que al igual que los MPs, tienen efectos dañinos al medio ambiente.

Su gran presencia en el ambiente convierte a los MPs y pesticidas en los principales contaminantes de interés emergente en el suelo, y considerando que su liberación es simultánea, ha sido de gran interés estudiar sus efectos conjuntos. Se ha reportado que la coexistencia de contaminantes en el ambiente puede producir efectos interactivos entre ellos. Los resultados del estudio de Cheng y colaboradores donde utilizaron la lombriz *Eisenia fetida*, sugiere que la exposición de microplásticos derivados de los mantos agrícolas tienen el potencial de aumentar la toxicidad de la atrazina en el ambiente del suelo a través de la inducción de estrés oxidativo y expresión anormal de genes Hsp70, ANN, TCTP y CRT en *E. fetida* (Cheng et al., 2020). Por otra parte, en el estudio de Dolar y colaboradores se expuso a *Porcellio scaber* a la coexposición entre MPs y el pesticida clorpirifós, donde la mezcla de ambos indujeron cambios que difirieron de las exposiciones individuales; los resultados sugieren que los procesos inmunitarios se modifican ligeramente tras la exposición a MPs y que estos pueden modular significativamente los efectos de otras sustancias químicas coexpuestas (Dolar et al., 2021).

## 1.1 HIPÓTESIS

Teniendo en consideración los efectos interactivos que se han reportado entre los contaminantes que están en coexposición en ciertas especies, se cuestiona la forma en la que estarán interactuando dos de los contaminantes más comunes de los suelos agrícolas de Chile en una especie clave del suelo como las lombrices. Es por esto, que esta investigación buscó responder la siguiente hipótesis: “existen efectos de interacción sinérgica entre los microplásticos y atrazina en *Lumbricus terrestris*.”

## **1.2 OBJETIVOS**

### **1.2.1 Objetivo general**

Evaluar los efectos toxicológicos de la interacción entre microplásticos y atrazina en *Lumbricus terrestris*, a través de los cambios de actividad de los biomarcadores enzimáticos Acetilcolinesterasa (AChE) y Carboxilesterasa (CbE)

### **1.2.2 Objetivos específicos**

1. Caracterizar el material de MPs y su relación con atrazina.
2. Determinar los efectos de respuesta toxicológica de MPs y la atrazina por separado en las *Lumbricus terrestris*.
3. Determinar el efecto tóxico a la co-exposición entre MPs y el herbicida a través del uso de los biomarcadores.
4. Establecer si existe alguna relación causa-efecto que pueda responder a la pregunta de investigación del presente estudio a través del análisis estadístico de los datos obtenidos.

## 2. ANTECEDENTES

### 2.1 Plásticos

El uso del plástico ha sido una herramienta esencial para el desarrollo de la vida humana moderna, debido a su bajo costo, alta resistencia y gran versatilidad (Cole et al., 2011). Los plásticos son polímeros orgánicos y sintéticos, cuyos monómeros provienen del petróleo o del gas (Thompson et al., 2009). Algunos de sus usos son para envases, materiales sanitarios, artículos domésticos y materiales agrícolas (Kim et al., 2020). Algunos de los plásticos más comunes son el poliestireno (PS), el policloruro de vinilo (PVC) y el polietileno (PE), siendo este último el compuesto más común con una producción anual de más de 25 millones de toneladas. El PE de baja densidad es el principal componente de la película de manto en la producción agrícola (Garrido et al., 2019; Zahra et al., 2010).

En 2018 la producción global de plástico alcanzó alrededor de 360 millones de toneladas (Ya et al., 2021) y se estima que la liberación de plástico en el suelo es aproximadamente 4 a 23 veces superior que en los océanos. Debido a esta producción intensiva se calcula que al 2050 se habrán desechado 12 mil millones de toneladas métricas (Mt) en vertederos o en el medio ambiente (Geyer et al., 2017).

Una de las actividades humanas con importante aporte de desechos plásticos al medio ambiente es la agricultura convencional (Sanchez-Hernandez et al., 2021). La aplicación de biosólidos y compost como enmiendas del suelo, así como el uso de películas de plástico para el acolchado del suelo, cubiertas de invernaderos y túneles bajos, tubos de riego por goteo son las principales entradas directas residuos plásticos a suelos agrícolas (Espi et al., 2006; Sanchez-Hernandez et al., 2021; van den Berg et al., 2020). El plástico utilizado en estas prácticas se compone casi en su totalidad de PE o cloruro de polivinilo (PVC), pues son muy estables y no se degradan fácilmente en entornos naturales.

La tasa de recuperación del plástico es menor a 60%, por lo que se depositan grandes cantidades de plástico residual en los suelos agrícolas, resultando en la acumulación de microplásticos en este tipo de suelos (Horton et al., 2017; Steinmetz et al., 2016).

## 2.2 ¿Qué son los microplásticos?

Los MPs son pequeños fragmentos de plásticos formados a partir de la degradación de pedazos más grandes de plástico debido a su exposición a condiciones ambientales, a causa de descuidada disposición, o es producido directamente desde las industrias como un material de tamaño pequeño (Rillig et al., 2017). Existen distintas clasificaciones según tamaño del plástico, según Hanvey, los microplásticos se dividen en: grandes microplásticos (GMPs) con tamaños entre 1-5 mm y pequeños microplásticos (PMPs) de tamaños entre 1  $\mu\text{m}$ -1 mm (Arthur et al., 2009; Hanvey et al., 2017).

Los microplásticos pueden ser categorizados según fuente primaria o secundaria. Las fuentes primarias (o MPs primarios) tienen su tamaño desde el origen y contemplan: partículas de MPs utilizadas en limpiadores faciales para exfoliación, abrasivos de pastas de dientes, preparaciones cosméticas, residuos de producción de las plantas procesadoras de plástico, pinturas y textiles de las aguas residuales domésticas. Los MPs secundarios son partículas que resultan de la abrasión y desgaste de piezas más grandes de plástico, esta degradación puede producirse por factores como la fotodegradación, interacciones mecánicas, químicas o biológicas (Andrade, 2011; Barnes et al., 2009; Bele et al., 2021; Fendall and Sewell, 2009; Garrido et al., 2019; Gregory, 1996; Silva et al., 2018; Zitko and Hanlon, 1991).

Las fuentes de MPs en el compartimiento terrestre proceden principalmente de aportes antropogénicos como vertederos, riego con aguas residuales contaminadas con plásticos y escorrentía en carreteras. Las fuentes naturales están representadas por los aportes de la deposición atmosférica, desastres naturales, tormentas e inundaciones con agua de lagos o ríos contaminados. MPs primarios y secundarios pueden pasar por las plantas de tratamiento de aguas residuales y posteriormente ser transportadas por canales urbanos y ríos

hasta llegar a los cuerpos de agua dulce y marina (Raju et al., 2018; Wagner and Lambert, 2018). La aplicación de residuos orgánicos como los lodos de depuración, acolchado con plásticos, el uso de compost como fertilizantes es la principal fuente de MPs en suelos agrícolas, además se ha demostrado que fertilizantes orgánicos pueden actuar como transportadores para que los MP ingresen a los suelos (Blasing and Amelung, 2018; He et al., 2018; Pathan et al., 2020)

## 2.3 Efectos de los microplásticos

Los MPs se han transformado en un problema ambiental ya que producen efectos tóxicos en el suelo y tras su exposición provoca alteraciones fisiológicas que afectan principalmente los sistemas digestivo e inmunitario de los organismos (Sanchez-Hernandez, 2021; Sharifinia et al., 2020; Trestrail et al., 2020).

Los MPs poseen una superficie rugosa, alta porosidad, movilidad y elevada relación superficie/volumen (Pathan et al., 2020; Zhou et al., 2020b). Además, poseen propiedades de adsorción conferidas por sus estructuras superficiales y grupos funcionales, que permiten una adsorción eficaz de contaminantes peligrosos como antibióticos, bisfenoles, contaminantes orgánicos, pesticidas y patógenos (Dongxing et al., 2019; Liu et al., 2019b; Wu et al., 2020; Zhou et al., 2016; Zhou et al., 2020a). Esta interacción con contaminantes tiene un impacto más amplio en el ambiente, ya que el proceso de adsorción de MPs puede influir en la fotodegradación de los compuestos, lo que en última instancia altera el destino ambiental de los contaminantes (Chen et al., 2020a). Por otra parte, los complejos MPs/contaminante pueden exacerbar sus efectos nocivos en plantas y animales, ya que podrían inducir toxicidad combinadas para los organismos (Tang et al., 2021)

Estudios han demostrado que los contaminantes adsorbidos luego pueden ser desorvidos de los microplásticos en el medio ambiente o dentro de los sistemas digestivos de los organismos, lo que conlleva consecuencias para su tasa de crecimiento, reproducción y supervivencia (Bakir et al., 2014; Huerta Lwanga et al., 2017; Yu et al., 2018; Zhou et al., 2020a), por lo cual los MPs actúan

potencialmente como vectores en el transporte, transformación y la biodisponibilidad de contaminantes presentes en el medio ambiente.

Las propiedades físicas, químicas y morfológicas de los MPs pueden ser modificadas al estar expuestos durante largos periodos de tiempo a las condiciones climáticas, en un proceso llamado envejecimiento. En este proceso puede ocurrir la oxidación superficial fotoinducida, así como la aparición de redes macroscópicas de micro fisuras que provoca una mayor superficie que en los MPs prístinos (Hüffer et al., 2018; Kim et al., 2017; Larché et al., 2012; Mato et al., 2001; Pandey and Singh, 2001). Estos cambios en las propiedades físicas y químicas de la superficie de los materiales de PE envejecidos pueden provocar cambios en el comportamiento de adsorción de los MP con los contaminantes ambientales, por lo cual los efectos resultantes varían entre los estudios con uso de MPs prístinos y envejecidos (Li et al., 2018; Liu et al., 2019a; Liu et al., 2018; Müller et al., 2018).

Se ha identificado que los MPs destruyen la estructura del suelo y tienen repercusiones negativas en la capacidad de retención del agua del suelo (Liu et al., 2014a), además estos destruyen la actividad microbiana del suelo (perturban las comunidades bacterianas), alterando así los diferentes ciclos biogeoquímicos del suelo, transportando compuestos como pesticidas (su comportamiento de sorción puede diferir del de la materia orgánica y de los minerales de los suelos (Teuten et al., 2007)).

Durante el proceso de degradación en el suelo, los monómeros y aditivos de los MPs (retardantes de llama, colorantes, inhibidores de foto degradación, compuestos para aumentar la rigidez o flexibilidad) son fácilmente liberados, pudiendo llegar a los medios acuáticos por lixiviación (Horton et al., 2017). Además, pueden entrar fácilmente en la red alimenticia al ser ingeridos por animales debido a su pequeño tamaño (Zhu et al., 2018). La ingestión de fragmentos de plástico puede causar efectos adversos directos como la obstrucción del canal digestivo, abrasión y destrucción del epitelio, y lisis celular. Dependiendo del tipo, tamaño y forma de los fragmentos, también pueden haber efectos indirectos como el estrés oxidativo, inflamación y alteraciones metabólicas (An et al., 2021; Trestail et al., 2020). Es así como los MPs afectan finalmente la fauna, estructura y funcionamiento del suelo y ecosistemas (Bandopadhyay et al., 2018; Boughattas et al., 2022; Cao et al., 2017; Hodson et al., 2017; Horton et al., 2017).

En cuanto a efectos sobre organismos del suelo, en general MPs de mayor tamaño muestran mayores efectos combinados con otros contaminantes sobre el crecimiento de las lombrices de tierra (Liu et al., 2022). Esto puede deberse a que los microplásticos de mayor tamaño causan daños físicos más graves a las lombrices de tierra, como por ejemplo dañar la piel y los celomocitos de las lombrices de tierra, aumentando así la acumulación de otros contaminantes. En cambio, los microplásticos de menor tamaño se excretan fácilmente (Liu et al., 2022), por lo que causan menos daños a las lombrices de tierra (Liu et al., 2022; Zhang et al., 2022).

En general la coexposición a MPs y otros contaminantes puede causar daños más graves a las lombrices de tierra, como el aumento de la acumulación de contaminantes, inhibición de las tasas de crecimiento, daño oxidativo agravado y cambios en la microbiota intestinal de las lombrices de tierra. Los MPs pueden causar daños físicos a las lombrices y alterar la biodisponibilidad de otros contaminantes favoreciendo su acumulación, sin embargo, en algunos casos la presencia de MPs puede paliar los efectos adversos de otros contaminantes, como la fuerte adsorción de otros contaminantes, lo cual reduce su biodisponibilidad. Hay que tener en consideración que los estudios se han

realizado en condiciones de laboratorio, con periodos de exposición relativamente cortos comparados con el ambiente, y las concentraciones utilizadas de MPs y otros contaminantes son usualmente mayores que las que se encuentran en el ambiente (Zhang et al., 2022).

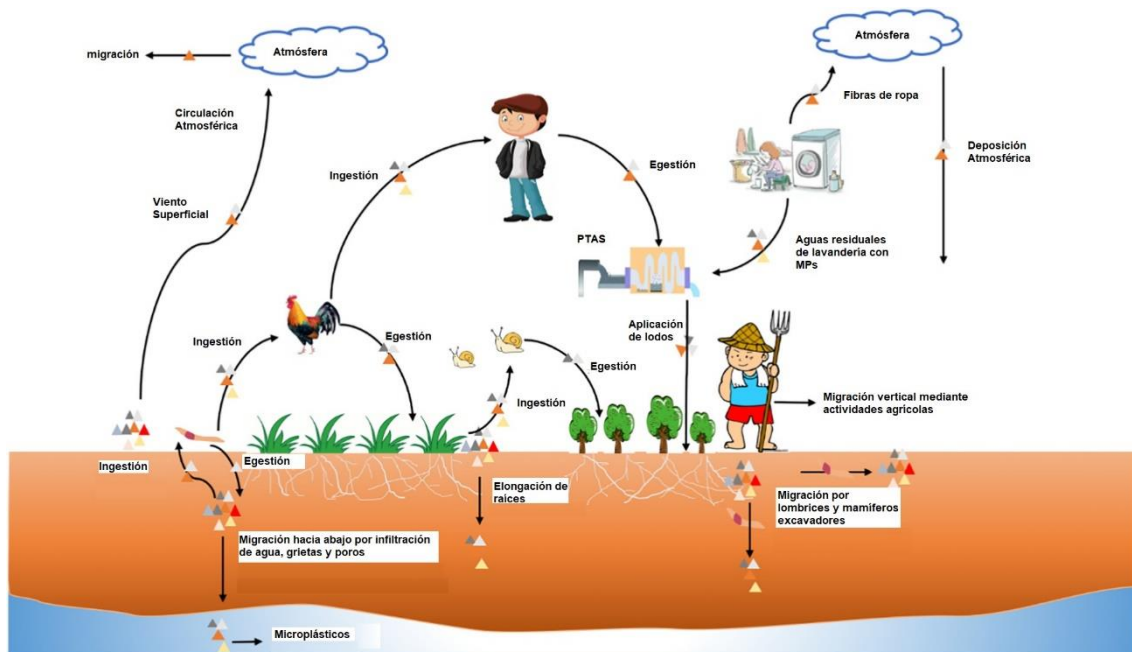


Figura 1: Procesos de migración de los microplásticos en el ambiente (Ya et al., 2021).

## 2.4 Agroquímicos

La mejora en las condiciones de vida ha aumentado la población, y por consiguiente también ha aumentado la demanda de alimento. Para cumplir con esta demanda, la actividad forestal y agropecuaria han utilizado agroquímicos como fertilizantes y pesticidas, estos últimos siendo los que controlan la propagación de malezas, insectos, parásitos, protegiendo a los cultivos de posibles daños. Es por esto que los plaguicidas cumplen un rol importante en proteger la salud pública (Cooper and Dobson, 2007; Muñoz-Quezada et al., 2014).

Los pesticidas son sustancias químicas tóxicas, por lo cual, a pesar de los beneficios que pueden entregar, su uso indiscriminado ha provocado una grave contaminación ambiental, resultando en la reducción de especies de plantas y animales terrestres y acuáticos, ya que se han contaminado con niveles tóxicos

los cuerpos de agua, aire y suelo (Helfrich et al., 2009; Lan et al., 2019; Mahmood et al., 2016).

## 2.5 Efectos de los pesticidas

Los pesticidas pueden unirse a la materia orgánica, a los mantos de PE agrícola (Nerin et al., 1996) o a la fracción mineral arcillosa del suelo (Bailey and White, 1964) lo que dificulta su extracción y caracterización (Calderbank, 1989).

A nivel de población los efectos de los plaguicidas dependen de la exposición y la toxicidad, factores como el ciclo biológico, las características, el momento de aplicación, la estructura de la población y la estructura del paisaje (Schmolke et al., 2010)

El uso de estas sustancias afecta la biota que reside en el suelo y las cuales le confieren las cualidades como la absorción de nutrientes, degradación de la materia orgánica y fertilidad del suelo, producen efectos tóxicos en lombrices de tierra ya que afectan los comportamientos alimenticios y su vialidad.

Los plaguicidas liposolubles ingresan al cuerpo de los animales por biomagnificación y se absorben en los tejidos grasos, por lo que la persistencia de la sustancia en la cadena alimentaria es prolongada (Casabé et al., 2007; Mahmood et al., 2016; Man and Zucong, 2009). Los plaguicidas son emitidos de forma simultánea o secuencial, por lo que el número y la composición de las posibles mezclas son a menudo desconocidas y cambian en el tiempo (Hernandez et al., 2017). Esto puede producir que los efectos sean sinérgicos, es decir, el efecto toxicológico de las sustancias combinadas es mayor que el efecto esperado de la suma de toxicidades de cada una por separada (García Fernández and Navas Ruiz, 2020).

## 2.6 Atrazina

Dentro de los pesticidas más utilizados está la atrazina. La atrazina [2-cloro-4-etilamino-6-isopropilamino-1,3,5-triazina] es un herbicida sintético de triazina utilizado para eliminar las malas hierbas en viveros, praderas, campos de caña de azúcar, bosques y huertos frutales (Song et al., 2009). Es el segundo herbicida más utilizado en todo el mundo con un consumo anual de 70.000-90.000 toneladas, esto debido a su costo relativamente bajo y su alta eficacia en el control de malezas (Kumar et al., 2013; Pathak and Dikshit, 2012).

Debido a su uso prolongado, estabilidad, largo tiempo residual y movilidad la atrazina puede causar grave contaminación al medio ambiente y graves amenazas para la salud humana (Maqbool et al., 2016; Singh et al., 2018). Estudios han reportado que este herbicida puede inducir efectos nocivos en los ecosistemas acuáticos y terrestres, siendo detectada en el suelo, aguas subterráneas y superficiales (Graymore et al., 2001; Khan and Saidak, 1981). Debido a su omnipresencia puede entrar en el cuerpo humano a través de la cadena alimentaria y acumularse, dañando el sistema cardiovascular, alterando el equilibrio hormonal (disruptor endocrino) general y reproductivo e induciendo cáncer y mutaciones (Hincapié et al., 2005; Kucka et al., 2012; Wirbisky et al., 2016). Se reportó que la exposición a largo plazo de ATZ en seres humanos tuvo un efecto negativo en el sistema inmunitario humano (Agopian et al., 2013). El Centro Internacional de Investigaciones sobre el Cáncer (IARC) categorizó la atrazina en la lista de pesticidas carcinogénicos (Kucka et al., 2012; Liu et al., 2014b; Mahler et al., 2017).

La atrazina tiene gran potencial de contaminación de campos agrícolas, aguas subterráneas y superficiales, debido a su vida media de 41-231 días (Karlsson et al., 2016), baja adsorción en los suelos y moderada solubilidad acuosa. Tiene mayor movilidad que otros herbicidas, y se considera que las transformaciones bióticas son una de las principales vías de descomposición de la atrazina en la mayoría de los suelos (Kaufman and Kearney, 1970). Al ser catiónica, la atrazina tiene una alta afinidad molecular por los complejos arcilla-materia orgánica del suelo (Khan, 1978) y su sorción en los suelos se correlaciona positivamente con

el contenido de carbono orgánico (Barriuso et al., 1992; Park et al., 2004). La sorción de la atrazina a la materia orgánica disminuye su biodisponibilidad (Demon et al., 1994; Houot et al., 1998) lo que aumenta su persistencia a pesar de su susceptibilidad a la degradación abiótica y biótica (Radosevich et al., 1997).

La atrazina, como los productos químicos agrícolas, tiene el potencial de alterar la composición de especies, disminuir la diversidad y alterar las redes alimentarias (Lin et al., 2016a; Lin et al., 2016b). Se caracteriza por tener una alta toxicidad a organismos no objetivo, logrando la muerte completa o el retraso en el crecimiento, la translocación, absorción de las raíces o los brotes, alteración del fenotipo, mutación y la resistencia (Alla and Hassan, 2006; Burken and Schnoor, 1997). Las plantas objetivo y no objetivo expuestas a ATZ suelen sufrir estrés oxidativo causado por la generación de especies reactivas de oxígeno (Alla and Hassan, 2006; Burken and Schnoor, 1997; Su and Zhu, 2006).

El principal modo de acción pesticida de las clorotriazinas es inhibir la fotosíntesis tras impedir la transferencia de electrones en el sitio reductor del complejo II de la fotosíntesis en los cloroplastos (Gysin and Knusli, 1960). La atrazina ha sido históricamente reconocida por ser un producto perturbador endocrino que tiene efectos en las vías de señalización del sistema neuroendocrino, sin embargo, es difícil definir estos mecanismos ya que hay muchos factores que desempeñan un papel en los resultados adversos observados, como el momento en que se produce la exposición, su duración y dosis. Son muchas las hormonas neuroendocrinas afectadas que juegan un papel en diferentes aspectos de la reproducción. La atrazina tiene efectos en el desarrollo de los organismos, así como en los organismos adultos maduros (Rayner et al., 2005; Wirbisky and Freeman, 2015). En general se sabe que la exposición a la atrazina afecta al eje hipotálamo-hipófisis-gonadal (HPG). Estudios han demostrado efectos negativos en el sistema reproductivo de ratas (Foradori et al., 2013; Laws et al., 2000) La ruta más común de exposición ambiental a este herbicida es a través de la ingestión de agua contaminada o por adsorción dérmica (Ochoa-Acuña et al., 2009; Rinsky et al., 2012).

La atrazina es estable a pH neutral, tiene una rápida hidrolisis en condiciones muy ácidas o alcalinas (Armstrong et al., 1967). En los suelos, la degradación de la atrazina es principalmente el resultado de la actividad microbiana a través de procesos co-metabólicos que conducen a la formación y acumulación de metabolitos de atrazina (Hickey et al., 1994; Scheunert, 1992), mientras que otros organismos obtienen nutrientes y energía al mineralizar completamente la atrazina a CO<sub>2</sub>.

En 1992 la Unión Europea prohibió la atrazina ya que sus metabolitos tenían el potencial de persistir en los campos y aguas superficiales durante varios años (Bethsass and Colangelo, 2006; Nousiainen et al., 2015). A diferencia, según la declaración de ventas de plaguicidas del año 2019 emitida por el Servicio Agrícola Ganadero (SAG) del Ministerio de Agricultura de Chile, se comercializó un volumen de 92.966 litros de atrazina, siendo el 19° herbicida más vendido de la serie 3.000. Según las instrucciones de uso de los productos autorizados por el SAG y que son formulados con atrazina, las dosis de aplicación varían desde 2,0 L/Ha para cultivos como Maíz y Sorgo a 5,0 L/Ha para plantaciones de Pino, Ecuapiltus y malezas como el Cardo y Manzanillón (atrazina 90 WG autorización N°3.473, atrazina 500 SC autorización N° 3.467).

**Tabla 1:** propiedades de la atrazina

#### Propiedades de la atrazina

|  |           |
|--|-----------|
| <b>Fórmula molecular</b>                 | C8H14CIN5 |
| <b>CAS</b>                               | 1912-24-9 |
| <b>Solubilidad en agua (26°C) [mg/L]</b> | 34,7      |
| <b>Log Kow</b>                           | 2,61      |
| <b>Log Koc</b>                           | 2,36      |
| <b>pKa</b>                               | 1,70      |
| <b>presión de vapor (25°C) [mm Hg]</b>   | 2,89E-07  |
| <b>Vida media [días]</b>                 | 41-231    |

Fuente: (Hüffer et al., 2019; Karlsson et al., 2016)

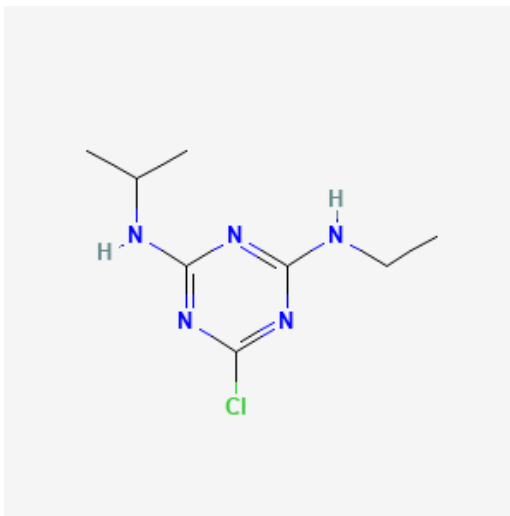


Figura 2: Estructura de la atrazina

## 2.7 Bioindicadores y Biomarcadores

Una forma de evaluar los efectos de los contaminantes (como los MPs y pesticidas) se utilizan bioindicadores. El término bioindicador puede definirse como “Un organismo que brinda información sobre las condiciones ambientales de su hábitat por su presencia o ausencia y su comportamiento (Van Gestel and Van Brummelen, 1996). Las lombrices son consideradas excelentes bioindicadores de la contaminación del suelo (Cortet et al., 1999; Lanno et al., 2004), pues ingieren grandes cantidades de suelo y materia orgánica por lo que están continuamente expuestos a los contaminantes (Morgan et al., 2004; Sanchez-Hernandez, 2006).

Los biomarcadores son cualquier respuesta biológica a nivel subindividual que indica la exposición a uno o más contaminantes y sus efectos tóxicos (Peakall, 1994). Los biomarcadores se utilizan para evaluar los efectos de los contaminantes, con el fin de distinguir la exposición a corto plazo de la exposición crónica, proporcionar una interpretación de las respuestas de los bioindicadores ya que pueden influir los factores fisicoquímicos y biológicos, y para establecer una relación causa-efecto entre los contaminantes y los efectos ecológicos (Hagger et al., 2006).

Sanchez-Hernandez clasifica los biomarcadores en cuatro grupos (Sanchez-Hernandez, 2006):

- Respuestas moleculares/bioquímicas: inducción/inhibición de enzimas, producción de genes mutantes, inducción de proteínas (metalotioneinas, proteínas de estrés), nivel de metabolitos.
- Respuestas fisiológicas: metabolismo, equilibrio hormonal, actividad locomotora, equilibrio hídrico/mineral
- Respuestas citológicas/morfológicas: fragilidad lisosomal, lesiones histopatológicas, índices macroscópicos.
- Respuestas conductuales: evitación, madrigueras, apareamiento, alimentación, migración a la superficie. Los cambios de comportamiento son el resultado de la integración de varios sistemas fisiológicos afectados por los contaminantes.

Los ensayos de toxicidad constituyen un elemento esencial del esquema de la evaluación de la exposición y efectos, y se utilizan para predecir los efectos agudos y/o crónicos de nuevas sustancias químicas antes de su liberación en el medio ambiente o para evaluar el impacto ecológico de una nueva fuente de emisión acuosa o atmosférica.

### 2.7.1 Biomarcadores para microplásticos

La exposición a xenobióticos puede aumentar la concentración de especies reactivas de oxígeno o hidrógeno y/o disminuir la respuesta antioxidante, resultando en el estrés oxidativo. La medición de los niveles de estrés oxidativo es utilizada en estudios sobre los mecanismos de toxicidad ambiental y ecotoxicidad en organismos expuestos a contaminantes (Bartoskova et al., 2013; Faggio et al., 2016; Regoli and Giuliani, 2014). Las enzimas utilizadas para el estudio de los efectos de los microplásticos son las implicadas en el estrés oxidativo: superóxido dismutasa (SOD), catalasa (CAT), glutatión peroxidasa (GSH-Px), glutatión S-transferasa (GST) y malondialdehído (MDA) (Prokić et al., 2019).

## 2.7.2 Biomarcadores para pesticidas

La exposición a productos agroquímicos como los insecticidas organofosforados (OF) se suelen evaluar mediante la determinación de la inhibición de la acetilcolinesterasa en el tejido nervioso (Sultatos, 2006). En la lombriz de tierra la actividad de la acetilcolinesterasa es muy sensible a la inhibición por los OF (Booth et al., 2000) y muestra una recuperación extremadamente lenta cuando es inhibida drásticamente, en comparación a la actividad normal (Aamodt et al., 2007; Rault et al., 2008).

Las colinesterasas (ChE) pertenecen a una familia de enzimas que hidrolizan la acetilcolina en colina y ácido acético. Forman parte del grupo de las esterasas o hidrolasas de los enlaces tipo éster, es decir, los constituidos por la unión de ácidos orgánicos o inorgánicos con alcoholes o tioles de muy diferente naturaleza (SANZ and REPETTO, 1995). En este grupo participan la acetilcolinesterasa (AChE) y butirilcolinesterasa (BuChE), también conocida como pseudocolinesterasa o colinesterasa plasmática (Massoulié et al., 1993).

La acetilcolinesterasa es una enzima clave en el sistema nervioso, ya que participa en la transmisión de los impulsos nerviosos catalizando la hidrólisis del neurotransmisor acetilcolina (Fukuto, 1990). La AChE es el sitio objetivo de la inhibición de los pesticidas organofosforados y carbamatos. En particular, los pesticidas organofosforados inhiben la actividad de la enzima mediante la fosforilación covalente del residuo de serina dentro del grupo del sitio activo. Estos inhiben de forma irreversible la AChE, lo que da lugar a una acumulación excesiva de acetilcolina, que conduce a la hiperactividad y, como resultado a la parálisis del sistema neural y muscular. La consecuencia del bloqueo del metabolismo de la acetilcolina es su acumulación en la hendidura sináptica y la alteración de la transmisión del impulso nervioso. Aunque los insecticidas organofosforados y carbamatos son los más conocidos, otras sustancias químicas también pueden inactivar esta enzima (Lionetto et al., 2011)

Las carboxilesterasas (CbEs) son un grupo de enzimas serina hidrolasas presentes en tejidos de vertebrados e invertebrados, capaces de hidrolizar una amplia variedad de ésteres (Picco et al., 2010), participan en el modo de acción

tóxica y en la desintoxicación de los plaguicidas OF por lo cual son utilizadas como biomarcadores de su exposición (Vejares et al., 2010). Son frecuentemente más sensibles a la inhibición de OF que las colinesterasas (Wheelock et al., 2008). En las lombrices de tierra están presentes múltiples isozimas de CbE (Haites et al., 1972) y muestran sensibilidad tejido-dependiente a los OF (Sanchez-Hernandez et al., 2009; Sanchez-Hernandez and Wheelock, 2009) que son particularmente abundantes en el intestino de las lombrices de tierra (Prentø, 1987).

La toxicidad aguda de los OF se debe a la inhibición de la actividad de la acetilcolinesterasas (EC 3.1.1.7), asimismo el sitio activo de la carboxilesterasa (EC 3.1.1.1) se unen a las moléculas de OF lo que conduce a su inactivación (Sanchez-Hernandez et al., 2018b; Sogorb and Vilanova, 2011).

En particular, las carboxilesterasas detoxifican los pesticidas OF por detoxificación no catalítica, esta detoxificación se produce por fosforilación del sitio activo de la carboxilesterasa por el metabolito oxón de los pesticidas OF (altamente tóxico), formando un complejo enzima-inhibidor estable y en consecuencia inactivando el pesticida. Este mecanismo de detoxificación es eficiente siempre que los OF se bioactiven previamente a sus metabolitos oxónicos (análogos del oxígeno), en esta configuración química los OF muestran una mayor afinidad por los sitios activos de las colinesterasas y carboxilesterasas en comparación con sus químicos originales (Chambers et al., 2010; Wheelock and Nakagawa, 2010). En *Lumbricus terrestris* se utiliza la variación de actividad de carboxilesterasa como biomarcador de exposición a OF en los tejidos digestivos (Sanchez-Hernandez et al., 2018b), musculo de la pared corporal y órganos reproductivos (Vejares et al., 2010)

Los plaguicidas también alteran las enzimas implicadas en el estrés oxidativo como superóxido dismutasa, catalasa y glutatión-S-transferasa las cuales son utilizadas como biomarcadores (Booth et al., 2001; Schreck et al., 2008; Wang et al., 2012).

Los biomarcadores de comportamiento o efecto se utilizan como herramienta complementaria para evaluar los suelos contaminados con agroquímicos

(Marques et al., 2009), sin embargo, estudios han demostrado que no son tan sensibles a los OF en lombrices (García-Santos and Keller-Forrer, 2011; Hodge et al., 2000), debido al mecanismo estequiométrico de detoxificación de OF comparten el mismo grupo de enzimas esterasas que el mecanismo de acción tóxica de los OF. Según morcillo et al 2013, la ausencia de la respuesta de evasión no indica que las concentraciones de plaguicidas OF sean inocuas para las lombrices, y la inhibición de AChE no implica una respuesta de evasión (Morcillo et al., 2013)

Otro biomarcador es la producción de eyecciones (fecas), es un indicador de la actividad de la lombriz, el clorpirifós ha demostrado inducir una disminución significativa de la producción de eyecciones en *Aporrectodea caliginosa* (Capowiez et al., 2010). Los rangos de ingestión son utilizados como un biomarcador, para determinar si son reducidos después de tratamientos a exposición con pesticidas. En cuanto a biomarcadores fisiológicos, está el cambio en la biomasa que puede ser una indicación de la salud general del bioindicador.

Biomarcadores utilizados en lombrices (*Eisenia foetida*) expuestas a herbicidas son la actividad de enzimas antioxidantes (SOD, CAT, GST Y POD), acumulación de especies reactivas de oxígeno y daño al ADN y cambios en la expresión genética (Cheng et al., 2020; Song et al., 2009)

## 2.8 *Lumbricus terrestris*

La lombriz *Lumbricus terrestris* pertenece al grupo de los lumbrícidos anélicos, es decir, viven alternando entre la superficie y la profundidad. Poseen respiración cutánea y se reproduce mediante huevos llamados cocones (Butt et al., 1992). Es un macroinvertebrado considerado especie clave presente en los suelos naturales pues son capaces de llevar a cabo diversas funciones sobre la estructura del suelo y la degradación de la materia orgánica (Edwards and Lofty, 1972). La especie de *L.terrestris*, ha sido estudiada como bioindicador de la

contaminación de suelos. Generalmente se encuentran en suelos alcalinos con pH entre 6.2-10.0 y son muy abundantes en suelos de tipo arcilloso (Mamani Alejo, 2019; Sims and Gerard, 1999). Su sistema nervioso central consiste en un par de ganglios suprafaringeos, poseen receptores conductores y efectores (Hess, 1925).

Es un importante contribuyente al desarrollo de trayectorias de flujo preferencial en los suelos ya que tiende a crear madrigueras verticales que están abiertas en la superficie y pueden extenderse a una profundidad de 3 m (Lee, 1985). La cantidad de suelo que pasa por sus cuerpos anualmente puede equivaler a 6,3 ton de tierra seca por hectárea (Mosleh et al., 2003).

Esta lombriz de tierra anélica ingiere suelo mezclado con materia orgánica y se alimenta de hojarasca y restos vegetales de la superficie del suelo, incorporando la materia orgánica al arrastrarla a su madriguera y creando focos de actividad microbiana (Griffith et al., 2013; Jouquet et al., 2006). Por su forma de alimentación, se plantea que la exposición a plaguicidas tiene lugar principalmente por la ingestión de plantas y suelo contaminado, estas también dependen del apoyo enzimático de los simbiontes microbianos que habitan en su lumen gastrointestinal y los del suelo ingerido para afrontar los procesos digestivos (Drake and Horn, 2007; Sanchez-Hernandez et al., 2018b). Las lombrices de tierra pueden absorber compuestos orgánicos a través de la piel y de la ingestión de partículas del suelo, siendo esta última la principal para cuando el log Kow de los compuestos orgánicos es mayo 5 (Jager et al., 2003; Miao et al., 2018). Luego de la ingestión estos materiales pasan a través del cuerpo de las lombrices y se depositan más profundamente en el perfil del suelo en forma de eyección (Lee, 1985).

Los efectos de *L. terrestris* en las propiedades químicas, físicas y biológicas de los suelos influyen en la persistencia, biodisponibilidad y transporte de los plaguicidas (Gilman and Vardanis, 1974; Stenersen et al., 1974). En suelos de siembra directa con grandes cantidades de residuos de cultivos en la superficie, se encontró que más de dos tercios de los herbicidas aplicados fueron interceptados por los residuos de cultivos y la vegetación viva, por lo que se

deduce que es probable que *L. terrestris* traslade una parte importante de estos herbicidas al suelo enterrando los residuos de los cultivos, o ingiriendo y luego egestando estos materiales en profundidad en forma de excrementos (Farenhorst et al., 2000; Isensee and Sadeghi, 1994)

Las galerías aumentan la aireación, el drenaje del suelo y permite el transporte desde la parte inferior del suelo hacia la superficie. También produce eyecciones y middens (montículos de suelo mineral, eyecciones y material orgánico a la entrada de la madriguera) estimulando así la proliferación microbiana (Edwards, 2004), estas acciones estimulan las enzimas del suelo asociadas a la descomposición de materia orgánica y al ciclo de los nutrientes, mejorando la estructura y propiedades del suelo (Dempsey et al., 2013; Kizilkaya et al., 2011; Pelosi et al., 2014; Tao et al., 2009). A través de las galerías se infiltra agua y contaminantes (Worrall et al., 1997) hacia capas más profundas del suelo a las aguas subterráneas (Tomlin et al., 1993). Cuando hay pesticidas presentes en el suelo las madrigueras disminuyen en volumen afectando la infiltración a nivel de ecosistema (Dittbrenner et al., 2011).

Los microplásticos y los agroquímicos son contaminantes muy comunes en el ecosistema terrestre y su interacción puede influir en sus destinos y efectos sobre los organismos terrestres (Dolar et al., 2021), afectando los comportamientos de *L. terrestris* debido a su exposición continua. Por su forma de alimentación los plaguicidas también pueden alterar los procesos de digestión y procesos de asimilación de nutrientes (Sanchez-Hernandez et al., 2018b). El tegumento y su tracto gastrointestinal son las principales rutas de ingreso de los contaminantes al medio interno de la lombriz (Vijver et al., 2005).

El estudio de Huerta Lwanga demuestra que las lombrices se ven impactadas negativamente ante la presencia de microplásticos, presenta disminución en tasas de crecimiento y aumento de la mortalidad. *L. terrestris* incrementa el transporte de microplásticos desde la superficie hasta capas más profundas del suelo al formar las madrigueras; al estar expuestas a microplásticos la lombriz transporta más materia orgánica a las madrigueras resultando en paredes más densas, por lo que absorben más contaminantes (Endo and Koelmans, 2016;

Koelmans et al., 2016), por lo que los contaminantes pueden estar más disponibles para las plantas y otros organismos (Lwanga et al., 2016).

Sus funciones de formación del suelo y descomposición de la materia orgánica, además de su alta sensibilidad a contaminantes, ha dado paso a que las lombrices de tierra sean consideradas como indicadores del uso de tierra y la fertilidad de la tierra (Paoletti, 1999). Su interacción profunda con el suelo hace que sean afectadas gravemente ante el uso de sustancias tóxicas, por lo cuales las lombrices de tierra han sido utilizadas como bioindicadores convenientes de la contaminación del suelo (Cortet et al., 1999; Lanno et al., 2004).

**Tabla 2:** Efectos tóxicos de los microplásticos en lombrices de tierra (extraído de Ya et al., 2021)

**Efectos tóxicos de los microplásticos en lombrices de tierra**

| Referencia                        | Especie                     | Tipo de MP | Abundancia del MP                  | Tamaño de la partícula de MP | Tiempo de exposición (días) | Efecto   |
|-----------------------------------|-----------------------------|------------|------------------------------------|------------------------------|-----------------------------|--|
| (Chen et al., 2020b)              | <i>Eisenia fetida</i>       | LDPE       | 0.1, 0.25, 0.5, 1.0, 1.5 g/kg      | <400 µm                      | 28                          | MP a una concentración de 1.0 g/kg causó daños en la superficie de <i>Eisenia fetida</i> , desencadenando estrés oxidativo y estimulación de reacciones neurotóxicas |
| (Kwak and An, 2021)               | <i>Eisenia andrei</i>       | PE         | 1000 mg/kg                         | 180-212 µm, 250-300 µm       | 21                          | MP afectaron la actividad de los celomocitos, y hubo daño en los órganos reproductores masculinos (más graves que en hembras)  |
| (Prendergast-Miller et al., 2019) | <i>Lumbricus terrestris</i> | poliéster  | 0, 0.1, 1.0%                       | 361.6 µm                     | 35                          | La ingestión de MP no tuvo efectos fatales y no mostraron evitarlos  |
| (Lwanga et al., 2018)             | <i>Lumbricus terrestris</i> | LDPE       | 7%                                 | < 150 µm                     | 60                          | Las bacterias aisladas del intestino de <i>L. terrestris</i> podían degradar el 60% de los microplásticos y producir nanoplásticos                                   |
| (Rodríguez-Seijo et al., 2018)    | <i>Eisenia fetida</i>       | LDPE       | 62, 125, 250, 500, 1000 mg/kg      | 250-1000 µm                  | 28                          | La exposición a MP provocó cambios en el estrés oxidativo y en el metabolismo energético   |
| (Rodriguez-Seijo et al., 2017)    | <i>Eisenia andrei</i>       | PE         | 0, 62.5, 125, 250, 500, 1000 mg/kg | 250-1000 µm                  | 56                          | No hubo diferencias significativas en el número medio de larvas de lombriz en los tratamientos   |
| (Cao et al., 2017)                | <i>Eisenia fetida</i>       | PS         | 0.25-2%                            | 58 µm                        | 30                          | Concentraciones de 1% y 2% p/p de MP inhibieron el crecimiento y aumentaron la mortalidad  |

|                     |                             |    |                    |         |    |   |
|---------------------|-----------------------------|----|--------------------|---------|----|---|
| Lwanga et al., 2016 | <i>Lumbricus terrestris</i> | PE | 7%, 28%, 45% y 60% | <150 µm | 60 | La mortalidad aumentó en MP 28%, 45% y 60% después de 60 días de exposición y se redujo la tasa de crecimiento. |
|---------------------|-----------------------------|----|--------------------|---------|----|---|

### **3. METODOLOGÍA**

El estudio se llevó a cabo desde agosto de 2022 a abril de 2023 en los laboratorios de suelos de la Facultad de Agronomía y laboratorio de Biomarcadores del Centro EULA de la Universidad de Concepción. Para la realización de los objetivos propuestos se utilizó la siguiente metodología:

#### **3.1 Reactivos y materiales**

Para la realización del estudio se utilizó atrazina (Sigma, CAS:1912-24-9; C8H14CIN5), polietileno (PE), 5,5'-ditiobis-(ácido 2-nitrobenzoico) (DTNB)(Sigma), albúmina de suero bovino (BSA)(Sigma), solución buffer de fosfato de sodio, Acetiltiocolina yodada (AcSCh) (Sigma), reactivo de Biuret (Diprolab), Tritón X-100, SDS, Buffer tris-HCl, acetato de naftilo, Fast Red ITR salt (Sigma), botellones, matraces, tubos de vidrio.

#### **3.2 Suelo**

El suelo utilizado en este estudio fue extraído en agosto del año 2022 del fundo agrícola Santa Carmen, Los Ángeles, Chile. Este predio agrícola posee manejo orgánico (libre de aplicación de pesticidas) desde 8 años previo a la utilización en este estudio. Se recolectaron un total de 160 kg de suelo usando palas de acero inoxidable, mezclado y transportado en recipientes plásticos. El muestreo se realizó de forma aleatoria, donde se recogieron numerosas muestras a una profundidad de 10-15 cm, en los mismos lugares de los que se recolectaron las lombrices. Estas muestras fueron almacenadas en recipientes plásticos y conservadas a temperatura ambiente. Se determinarán algunas propiedades físicas y químicas como clasificación del suelo según granulometría, contenido de humedad, contenido de materia orgánica, temperatura y el pH, debido a que estudios han demostrado que estas características influyen en el crecimiento, salud y supervivencia de lombrices de tierra (Capowiez et al., 2010; Hallam and Hodson, 2020; Lwanga et al., 2016; Perreault and Whalen, 2006). El objetivo de la investigación es evaluar los efectos de MP y los agroquímicos por lo cual se quiere eliminar cualquier otro estresor dentro del estudio.

Para la caracterización de las propiedades fisicoquímicas del suelo se utilizaron 3 muestras. El suelo muestreado contenía raíces.

### 3.2.1 Caracterización propiedades fisicoquímicas del suelo

#### 3.2.1.1 Granulometría

El análisis granulométrico de las muestras de suelo fue realizado con un analizador de partículas por difracción láser (Mastersizer 3000, Malvern Panalytical), para medir el tamaño de partícula y la distribución de tamaño. Para esto se utilizó aproximadamente 2 gramos de muestra con agua destilada para su disolución, se pasó por un tamiz de 2 mm, se agregó una pequeña cantidad de muestra con una pipeta en un vaso precipitado (500 mL) con agua común como dispersante

#### 3.2.1.2 Porcentaje de humedad

Para evaluar la humedad, se utilizó la determinación de humedad gravimétrica, para lo cual se tomaron 3 muestras de suelo en capsulas metálicas, se pesaron cada una de las capsulas por si solas y luego con la muestra húmeda, estas luego fueron puestas al horno durante 24 horas a una temperatura de 105°C. Luego de transcurridas las 24 horas se pesó el recipiente con la muestra seca.

La medición se hará mediante la relación donde la humedad del suelo es la relación expresada en porcentaje entre el peso del agua existente en la masa de suelo y el peso de las partículas sólidas:

$$w (\%) = \frac{P_{agua}}{P_{suelo\ seco}} * 100$$

Donde:

w= humedad gravimétrica del suelo (%)

Pagua= peso del agua existente en la masa de suelo

Psuelo seco= peso de las partículas sólidas

### **3.2.1.3 Materia orgánica**

Para determinar la cantidad de materia orgánica de las muestras de suelo se basó en “Métodos de Análisis recomendados para los suelos Chilenos” (2004) Método 1.1 Preparación de las muestras y Método 7.2 pérdida por calcinación.

La cantidad de materia orgánica se calculará como la diferencia entre el peso inicial y el final dividido por el peso de la muestra inicial multiplicado por 100%.

### **3.2.1.4 pH**

El pH del suelo se determinó mediante el Método 3.1 suspensión y determinación potenciométrica de “Métodos de Análisis recomendados para los suelos Chilenos” (2004).

### **3.2.1.5 Fósforo Total**

El fósforo total se determinó a través de “Espectroscopia de absorción molecular ML Jackson, “análisis Químico de suelos” (1976)

## **3.3 Prueba de adsorción a superficie de MP**

### **3.3.1 Obtención y preparación de los MPs**

Para realizar el estudio se utilizó plástico tipo polietileno (PE) de baja densidad negro, debido a que es de uso común en la agricultura. Este plástico fue limpiado con alcohol 70°, luego fue secado y triturado mecánicamente mediante un homogeneizador ultra turrax® (IKA, Alemania) con agua ultrapura para ser reducidos a partículas de menor tamaño, luego fueron tamizados mediante un tamiz de 2 mm para asegurar que estuvieran en el rango correcto de medida según la definición de MPs, fueron secados a temperatura ambiente y posteriormente almacenados. Para conocer la distribución de tamaño de las partículas, se utilizó el equipo MasterSizer 3000.



Figura 3: Molienda de PE a MPs con homogeneizador ultraturrax.

### 3.3.2 Capacidad de adsorción a superficie de MPs

Para medir la capacidad de adsorción de la superficie de los microplásticos para atrazina se realizó un experimento. La prueba contempló el uso de 10 botellas de vidrio con 100 mL de solución a atrazina concentración 0,5 mg/L con una cantidad definida de microplástico. Las botellas se mantuvieron 14 días en agitación a 40 rpm para ver los posibles cambios de concentración remanente en la solución.

De las 10 botellas, a 6 se le adicionó una muestra de microplástico de 2% p/v (2 g) y se realizaron muestreos en duplicados a los 2, 7 y 14 días. A 2 botellas se le agregó una muestra de microplástico de 5% p/v (5 g) y se muestreó en duplicados a los 7 y 14 días, mientras que las dos botellas restantes correspondientes a control se realizaron muestreo en duplicados a los 2, 7 y 14 días. Finalmente se obtuvieron 16 muestras, las cuales se mantuvieron refrigeradas a 4°C hasta su posterior análisis.

La solución utilizada en el test de adsorción se realizó a partir de una solución stock de atrazina de formulación analítica (Sigma®, >/ 98,0% pureza) de concentración 40,04 mg L<sup>-1</sup>. De la cual se extrajo 12,487 mL y se mezcló con agua para obtener la solución de 0,5 mg/L.

La concentración remanente del agroquímico se determinó por cromatografía líquida de alta resolución (HPLC) y la cantidad de agroquímico adsorbida en los

MPs fue calculada utilizando un balance de materia entre la solución inicial y la final determinada en cada experimento:

$$q_e = \frac{V(C_0 - C_e)}{M}$$

Donde:

$q_e$  = masa de contaminante adsorbida

$V$  = volumen de la solución

$C_0$  = concentración inicial del contaminante en la solución

$C_e$  = concentración del contaminante en el equilibrio en solución

$M$  = masa de microplástico

### 3.4 Diseño Experimental

El estudio está estructurado bajo cuatro condiciones (tratamientos): 1) Control 2) Exposición atrazina 3) Exposición a los microplásticos y 4) exposición a la combinación (MP+ATZ). Este último tiene como objetivo determinar el efecto tóxico de microplásticos en co-exposición en *L. terrestris*.

#### 3.4.1 Organismos y contaminación del suelo

Para llevar a cabo el estudio se realizó un bioensayo de exposición adaptado desde lo establecido por la organización internacional de normalización (ISO 2008), teniendo en consideración los estudios desarrollados por (Araneda et al., 2016; Baeza et al., 2020; Boughattas et al., 2022; Cheng et al., 2020; Lwanga et al., 2016; 2017; Sanchez-Hernandez et al., 2018b; Song et al., 2009).

Se utilizó como bioindicador a *Lumbricus terrestris*, obtenidas del Fundo Agrícola Santa Carmen (Los Ángeles, Chile, -37.47159915939796, -72.49690296508834). Los ejemplares recogidos desde el fundo se encontraban en distintos estados de madurez, por lo cual, se mantuvieron en aclimatación en el laboratorio ( $17^{\circ}\text{C} \pm 6^{\circ}\text{C}$  y oscuridad permanente) en una caja plástica (50 x 37,5 x 29,5 cm) durante 2 meses previo a la realización del bioensayo, en el mismo suelo orgánico que se recolectó del lugar (con más de 10 cm de profundidad). Fueron alimentados una vez por semana con 2 gramos de abono, el cual fue desparramado en la superficie.

Para contaminar el suelo a utilizar en los tratamientos de ATZ y en combinación, se realizó una solución de ATZ a partir de la misma formulación utilizada en la prueba de adsorción. La contaminación se realizó de la siguiente manera: 1 kg de suelo húmedo se extendió homogéneamente en una bandeja de aluminio hasta lograr una altura de 0,5 cm y fueron rociados con 25 mL de la solución de 0,5 mg/L de ATZ (obtenida al extraer 312 µL de la solución stock utilizada para el test de adsorción), resultando una concentración final de 0,5 mg ATZ kg<sup>-1</sup> de suelo húmedo, y una humedad final de 60% como en (Salazar-Ledesma et al., 2018; Sanchez-Hernandez et al., 2018a). Para asegurar la extracción de todo el herbicida de la jeringa utilizada para rociar la solución, esta se enjuagó con 2 mL de agua ultra pura y se roció en el suelo. Luego el suelo fue dispuesto en un recipiente, tapado y agitados por 3 minutos para asegurar la homogeneización completa. Este procedimiento se realizó para los 12 kg de suelo. Luego de contaminado el suelo con ATZ, se dejó estabilizar por 48 horas en vasos precipitados de vidrio (n=6) a 20°C, en este punto termina la manipulación del suelo para el tratamiento de exposición con ATZ (n=6).

Luego de las 24 horas de estabilización del suelo con ATZ, para los tratamientos de exposición combinada (n=3), se extendió los 980 gr de suelo contaminado (S.C) de cada vaso precipitado en la bandeja y se agregó la concentración de MP (PEBD; 2,0% p/p; 20 g de masa seca) y se agitó por 3 minutos para asegurar la homogeneización, siguiendo el ejemplo de (Dolar et al., 2021).

Para los controles se extendió suelo orgánico en bandejas y se roció con 25 mL kg<sup>-1</sup> de agua ultrapura. En el tratamiento de exposición a MP se extendieron 980 gr de suelo orgánico (S.O), se agregó el 2% p/p de MP y se roció con 25 mL kg<sup>-1</sup> de agua ultrapura, se puso en agitación por 3 minutos para homogeneizar y se dejó en estabilización.

Mientras se llevó a cabo el equilibrio del suelo contaminado, se dispusieron las lombrices adultas en placas de Petri, se mantuvieron a 16°C y en oscuridad total sobre un papel húmedo para permitir el vaciado intestinal y así eliminar todos los restos nutricionales del tracto gastrointestinal y luego se registró el peso corporal (t= día 0)

La concentración a utilizar en este estudio se escogió teniendo en consideración las investigaciones de Cheng y colaboradores donde se expuso a *E. foetida* a una concentración de 0,02 mg/kg de ATZ y 0,25% p/p de PEBD (Cheng et al., 2020) y considerando el estudio de Hudu y colaboradores en el que se expuso a *L. terrestris* a concentraciones de 0,05 mg/kg de ATZ en el cual se reportaron muertes (Hudu et al., 2021).



Figura 4: imagen de lombrices al final de las 24 horas de vaciado intestinal.

### 3.4.2 Bioensayo de exposición

Para la realización del bioensayo se seleccionaron los ejemplares en estado de madurez, es decir, los que contaban con un clitelo bien desarrollado, con tamaños y pesos parecidos. Una vez depuradas y posteriormente registrado su peso, se liberaron 5 lombrices a los vasos precipitados de acuerdo con cada tratamiento experimental y luego los contenedores fueron incubados por 42 días a temperatura de  $20\pm5^{\circ}\text{C}$  en oscuridad (Perreault and Whalen, 2006; Shi et al., 2016; Stellin et al., 2018; Zhu et al., 2020).

Un kilogramo del suelo previamente contaminado con microplásticos y atrazina fue añadido a cada vaso precipitado de 1000 mL con orificios en el fondo para permitir aireación para los tratamientos en condiciones de combinación ( $n=3$ ). Para los tratamientos de exposición a microplásticos se añadió 980 g de suelo

con 20 g de MP ( $n=3$ ); para los tratamientos de exposición a ATZ se añadió 1 kg de suelo contaminado previamente con 0,5 mg de ATZ y para los controles se agregó la misma cantidad de agua desionizada que la que se utilizó para contaminar con la solución de atrazina.

Todos los vasos precipitados se dispusieron sobre rejas metálicas para permitir la aireación por la parte baja y también se sellaron con papel aluminio agujereado para evitar que las lombrices se escaparan y también para permitir el intercambio de aire. Las lombrices se alimentaron cada semana, añadiendo 2 g de guano de caballo (orgánico) en la superficie de cada vaso del ensayo. Tras 42 días de incubación, se retiraron las lombrices, se enjuagaron con agua desionizada y se mantuvieron sobre papel filtro húmedo en placas de Petri durante 24 horas para recoger las eyeccciones frescas. Posteriormente se registró el peso de las lombrices luego de la depuración para evaluar el cambio de peso corporal durante el periodo de incubación.



Figura 5: Vasos precipitados con suelo del tratamiento control.

### 3.4.3 Concentración de atrazina en muestras de suelo

Para asegurar que la homogeneización fue exitosa, se extrajeron 3 muestras de suelo de distintos vasos precipitados del tratamiento de atrazina. Se utilizó el método de extracción asistida por ultrasonido, este consistió en tomar una muestra de 5 g del suelo (extraídas del vaso 13, 14 y 18) y un control, se dispusieron en botellas de vidrio con 10 mL de metanol y se pusieron 15 minutos en baño ultrasónico. Luego fueron dispuestas en tubos y puestas a centrifugar 2500 rpm por 7 minutos. El sobrenadante fue puesto en los viales del evaporador Rocket Synergy (Fig. 6), para concentrar las muestras, por 1 hora hasta secar, luego se le agregó 1 mL de metanol, las muestras fueron filtradas y dispuestas en viales para ser analizadas por HPLC.



Figura 6: muestras en viales evaporador Rocket.

### 3.4.4 Lombrices y disección de tejidos

Al final del periodo de exposición las lombrices fueron removidas del suelo, limpiadas cuidadosamente con agua destilada, secada, y dispuestas en placas Petri con papel filtro humedecido por 24 horas para un nuevo vaciado intestinal, en el cual se guardaron las eyecciones para posterior análisis. Luego fueron determinados sus pesos frescos.

Las lombrices fueron dispuestas en tubos Falcon y fueron congeladas a -80°C hasta el momento de la disección. Esta disección se realizó longitudinalmente,

removiendo vesícula seminal/receptáculos seminales (VS), el buche y la molleja (BM), intestino anterior (IA), intestino medio (IM) y músculo de la pared (a la altura del intestino anterior y posterior) (PM).

Los órganos fueron lavados cuidadosamente con agua ultrapura para eliminar partículas de tierra, fueron dispuestos en tubos Eppendorf de 2,5 mL y se mantuvieron en hielo (Sanchez-Hernandez and Wheelock, 2009). Estos tejidos se homogeneizaron con un ultraturrax pequeño en 300 µl (para vesícula seminal/receptáculos seminales) y 250 µl (demás tejidos) de tampón Tris-HCl 25 mM (pH=8.0) frío que contenía 0,1% de Triton X-100. Estos fueron centrifugado a 10000 rpm a 4°C por 30 min (Mikro 220 R, Hettich, Tuttlingen, Alemania). El sobrenadante (fracción post-mitocondrial) fue transferido a otro tubo nuevo y almacenado a -80°C hasta el análisis enzimático.

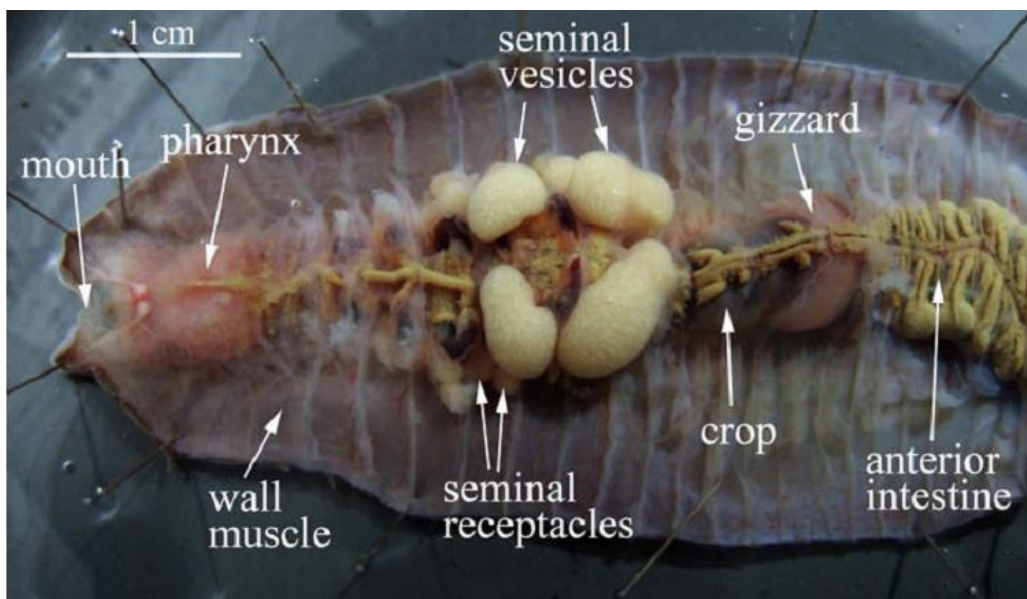


Figura 7: imagen de los órganos de *Lumbricus terrestris* (Sanchez-Hernandez and Wheelock, 2009)

### 3.4.5 Actividad de la acetilcolinesterasa

La actividad enzimática de la acetilcolinesterasa (AChE) fue determinada con el método de Ellman (Ellman et al., 1961) con adaptaciones al formato de microplacas de Wheelock (Wheelock et al., 2005). La reacción enzimática se realizó en microplacas de fondo plano de 96 pocillos. A cada pocillo se añadieron 50 µl de muestra sin diluir y 130 µl de buffer fosfato de sodio (0,1 M a pH=8) que contenía 5,5'-ditiobis-(ácido 2-nitrobenzoico) (DTNB) (Sigma). Después de 5 minutos se le añaden 20 µl de Acetiltiocolina yodada (AcSCh) (Sigma) 60 mM para la reacción. La cinética se leyó durante 10 minutos (intervalos de 1 minuto) a 412 nm y a temperatura ambiente (22°C) en un lector de microplacas. La actividad específica la colinesterasa se expresó como µmol de producto min<sup>-1</sup> mg<sup>-1</sup> de proteína total. La cantidad de proteínas se calculó sobre la base de la curva de calibración con albúmina de suero bovino utilizando el método de Biuret (Dirpolab) (Gornall et al., 1949). (Sanchez-Hernandez et al., 2018b)

### 3.4.6 Actividad de Carboxilesterasa

De la fracción sobrenadante de tejido postmitocondrial almacenada a -80°C, se realizaron diluciones 1:50 con tampón Tris-HCl pH=7,4. La actividad de la carboxilesterasa se realizó determinando la absorbancia del complejo rojo ITR-naftol a 530 nm en un medio de reacción con 200 µL de volumen final (Thompson, 1999, adaptado por Narváez et al., 2016); a continuación, se calculó la actividad enzimática en función del contenido proteico individual de cada muestra. El procedimiento consistió en colocar 10 µL de muestra en la microplaca de fondo plano de 96 platos (TCL, Trueline, Santiago, Chile), añadir 170 µL de solución de Tris-HCl 25 mM con CaCl<sub>2</sub> 1 mM (pH 7,6), y añadir 20 µL de sustrato de acetato de α-naftilo (Sigma) después de un período de incubación de 5 minutos a 25 °C. La formación de naftilos se detuvo después de 15 minutos cuando se añadieron 50 µL de la mezcla 5% Triton X-100 (1,25 mL), 5% SDS (1,25 g), y 20 mg de Fast Red 0,1% (Sigma). La solución se dejó reposar en la oscuridad durante 30 min a temperatura ambiente (20 °C). A continuación, se realizó un análisis espectrofotométrico en un lector de microplacas (Synergy HT, BioTek, Winooski, Vermont, EE.UU.). El contenido proteico de cada muestra de tejido de lombriz se cuantificó por el método de Biuret (Diprolab) (Gornall et al., 1949) utilizando el estándar de albúmina de suero bovino. Este valor se utilizó

para calcular la actividad enzimática específica en  $\mu\text{mol}$  por minuto por milígramo de proteína ( $\mu\text{mol min}^{-1} \text{mg}^{-1}$ ).

### 3.4.7 Análisis estadístico

Para realizar el análisis estadístico de los datos primero se comprobó la homogeneidad de las varianzas con la prueba de Bartlett, se probó la normalidad de los datos con la prueba de Kolmogorov-Smirnov (pruebas de más de 50 datos), y como no cumplía con la distribución se intentó la normalización de los. No fue posible normalizar los datos, por lo cual se decidió continuar con la prueba no paramétrica de Kruskall-Wallis, como una alternativa a la prueba ANOVA, con el objetivo de evaluar si existían diferencias significativas entre los tratamientos para la variable medida (AChE) con un nivel de significancia de 0,05. Como pruebas post-hoc se utilizará la prueba de Wilcoxon-Mann-Whitney. El análisis estadístico y los gráficos fueron realizados mediante el software RStudio.

## 4. RESULTADOS Y DISCUSIÓN

### 1. Suelo

La caracterización fisicoquímica de las muestras de suelo obtenido del fondo agrícola con manejo orgánico se presenta en la tabla 3.

**Tabla 3:** Parámetros del suelo

| Parámetros                   | Unidad | Suelo agrícola  |
|------------------------------|--------|---|
| Granulometría                | -      | Clasificación textural de limo<br>Grueso con media de partícula 28,97 $\mu\text{m}$ |
| Humedad                      | %      | 39  |
| pH                           | -      | 6,33  |
| Materia orgánica total (TOC) | %      | 10,8  |
| Fosforo Total                | mg/kg  | 578   |

## 2. Test de adsorción de ATZ a MP

Los microplásticos obtenidos mecánicamente en laboratorio presentaron una distribución de tamaño entre 0,100 y 2 milímetros (Fig. 8).

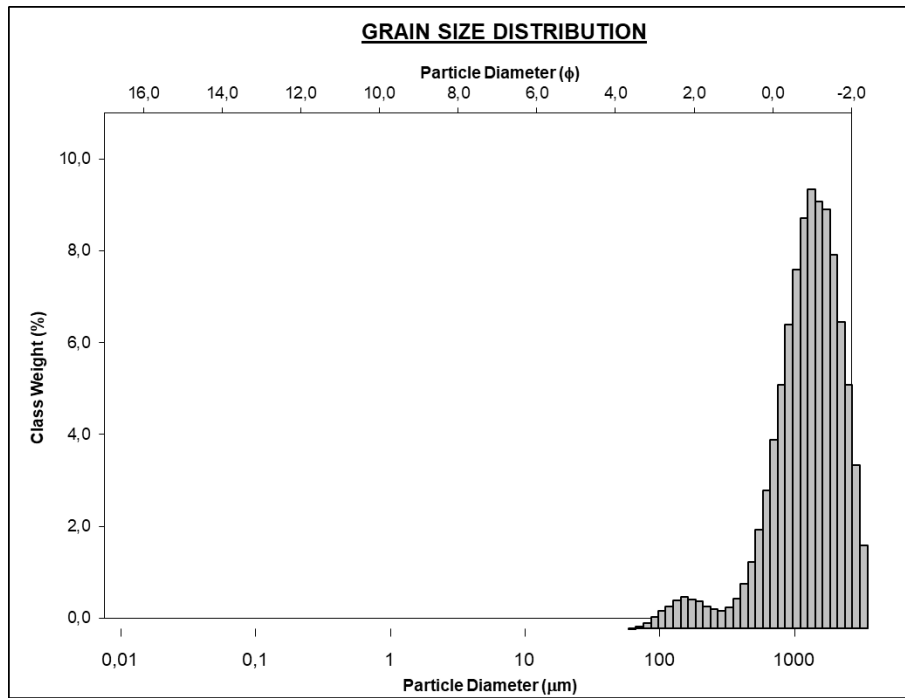


Figura 8: Distribución de tamaño de MPs obtenidos en laboratorio.



Figura 9: Tratamientos del test de adsorción y sus respectivas extracciones (muestras).

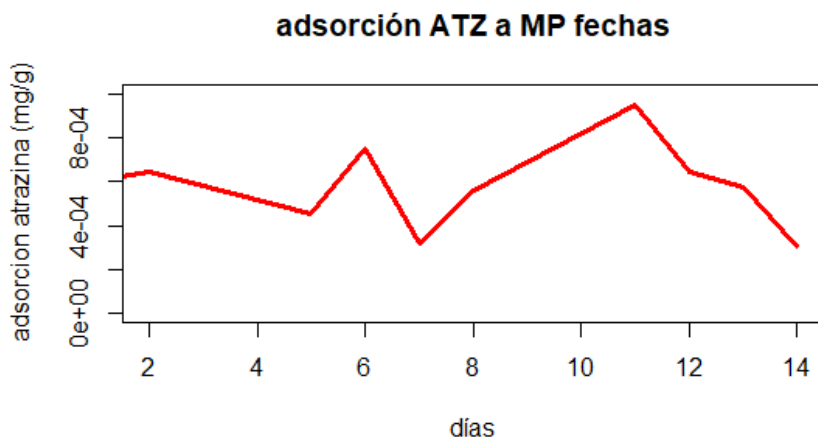


Figura 10: Comportamiento de adsorción de ATZ a la superficie de microplásticos de PE a través del tiempo.

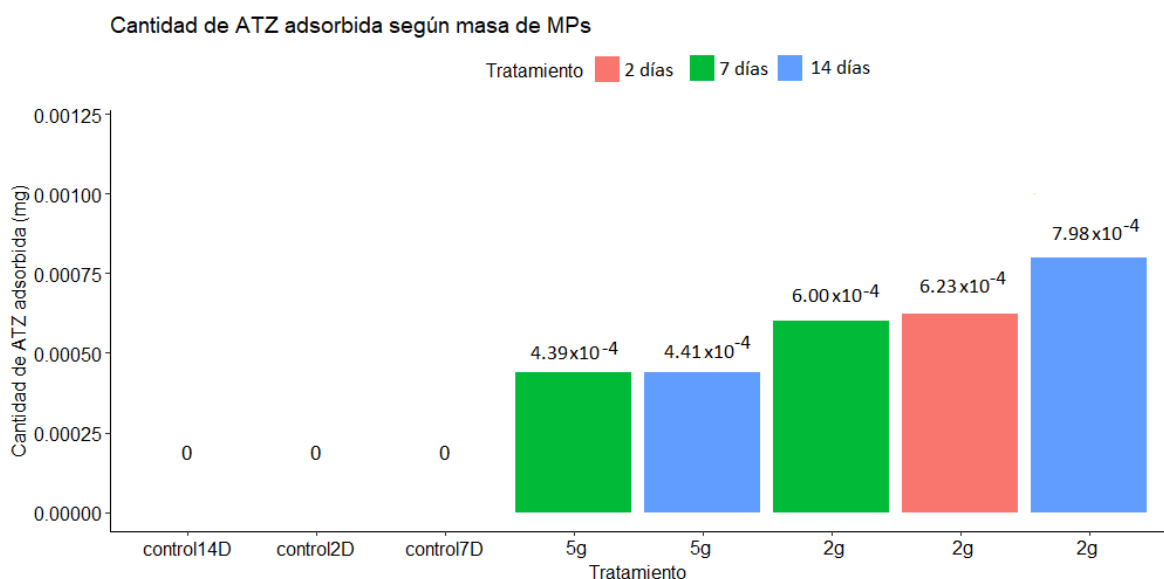


Figura 11: Comportamiento de adsorción de ATZ a la superficie de microplásticos de PE.  
Obtenido con software RStudio.

**Tabla 4:** Cantidad de ATZ adsorbida a MP PE luego de cada extracción (Test de Adsorción). Resultados a partir del balance de materia simple

| Número de muestreo | Tratamiento                   | Cantidad de ATZ adsorbida (mg/g) | Promedio (mg/g) | Desviación estándar |
|--------------------|-------------------------------|----------------------------------|-----------------|---------------------|
| Extracción 1       | 2g MP 2 días                  | 0,00059940                       | 0,0006228       | 3,304E-05           |
| Extracción 2       | 2g MP 2 días<br>(duplicado)   | 0,00064612                       |                 |                     |
| Extracción 5       | 2g MP 1 semana                | 0,00044978                       | 0,0005996       | 0,000211841         |
| Extracción 6       | 2g MP 1 semana<br>(duplicado) | 0,00074936                       |                 |                     |
| Extracción 7       | 5g 1 semana                   | 0,00031946                       | 0,0004392       | 0,00016935          |
| Extracción 8       | 5g 1 semana<br>(duplicado)    | 0,00055896                       |                 |                     |
| Extracción 11      | 2g 2 semanas                  | 0,00094782                       | 0,0007978       | 0,000303985         |
| Extracción 12      | 2g 2 semanas<br>(duplicado)   | 0,00064773                       |                 |                     |
| Extracción 13      | 5g 2 semanas                  | 0,00057503                       | 0,0004408       | 0,00018979          |
| Extracción 14      | 5g 2 semanas                  | 0,00030663                       |                 |                     |

Mediante la prueba de adsorción se evidencia que existe una pequeña cantidad de atrazina que es adsorbida a la superficie de los microplásticos de polietileno utilizados en este estudio. El tratamiento que mostró mayor cantidad de atrazina adsorbida fue el que contenía 2g de MPPE y estuvo 2 semanas en exposición. La diferencia promedio entre la cantidad de ATZ adsorbida para una cantidad de 5 g de MPPE entre 1 y 2 semanas fue muy pequeña (Tabla 4)(Fig. 11).

Se evidenció una reducción de la capacidad de adsorción de ATZ con el aumento de la dosis de MPs de 2 a 5 g, al igual que en el estudio de Wang y colaboradores donde la capacidad de adsorción de todos los pesticidas utilizados se redujo bruscamente con el aumento de la dosis de MP y se mantuvo relativamente estable con un mayor aumento de las dosis de MPs (Wang et al., 2020).

Se sugiere que el tiempo necesario para alcanzar el equilibrio de adsorción es de horas o inclusive minutos, lo que explicaría que no existan grandes diferencias

entre las cantidades adsorbidas entre 2 días, 1 semana y dos semanas. En el estudio de Wang y colaboradores, los pesticidas utilizados (carbendazima, dipterex, diflubenzurón, malatión, difenoconazol) el tiempo necesario para alcanzar el equilibrio de adsorción fue de aproximadamente 120 min (Wang et al., 2020).

Para poder obtener resultados más completos, se debe estudiar la composición química del MPPE, el mecanismo de llenado microporoso, el proceso de adsorción por el cual está controlado (e.g fuerza intermolecular de Van Der Waals), pH (ya que afecta el comportamiento de degradación de la ATZ) y la superficie específica, ya que como los MPs utilizados en este estudio fueron triturados se cree que pudieron existir diferencias entre la superficie utilizada en los distintos tratamientos del test de adsorción (e.g diferencia entre pliegues y protuberancias que faciliten la adsorción del herbicida) (Li et al., 2021; Wang et al., 2020))

### 3. Exposiciones

#### 3.1 Mortalidad

Se observó mortalidad durante los ensayos de toxicidad, al tercer día de exposición se registró una muerte en un vaso precipitado del tratamiento de atrazina (N°18), una muerte en el tratamiento de co-exposición (N°24) y una muerte en el tratamiento control (N°6). Todas las réplicas se realizaron utilizando las mismas concentraciones, periodos de exposición y condiciones de ensayo.

Una vez cumplido el tiempo de exposición del bioensayo, se encontró que en 8 vasos faltaban lombrices, no se encontraron cadáveres en descomposición, por lo que se cree que se escaparon de los recipientes a través de los agujeros de la parte inferior. Debido a esto, se utilizaron 3 réplicas por tratamiento (que tuvieran las lombrices suficientes) para seguir adelante con los análisis enzimáticos



Figura 12: Lombriz muerta en vaso precipitado del tratamiento de atrazina.

Se plantea que la mortalidad registrada puede deberse a la sensibilidad de los organismos a las condiciones de temperatura a la que estuvieron expuestos los vasos en los primeros días ya que la temperatura ambiente fue de aproximadamente 24°C, lo cual es superior a la temperatura óptima de las lombrices ( $15 \pm 2^{\circ}\text{C}$ ).

En estudios con *L. terrestris* expuestas a MPs donde se considera como una variable de estudio la mortalidad, a concentraciones más altas de MP (7%) que la utilizada en este estudio, no fue mortal aún con una exposición más prolongada (60 días) (Lwanga et al., 2016).

### 3.2 Extracción de ATZ del suelo

Para corroborar que los tratamientos que utilizaron ATZ realmente tuvieran presencia del herbicida, se trajeron muestras al azar de distintos vasos precipitados. Se encontró que en cada muestra existía presencia de ATZ, por lo que se infiere que está distribuida homogéneamente dentro de cada vaso (Tabla 5).

**Tabla 5:** Masa de atrazina extraída de diferentes vasos precipitados del bioensayo de exposición.

| Nº de la muestra | Masa de atrazina (mg) |
|------------------|-----------------------|
| Muestra vaso 13  | 0,015                 |
| Muestra vaso 14  | 0,02                  |
| Muestra vaso 18  | 0,05                  |

### 3.3 Lombrices

Como se mencionó anteriormente, se utilizaron sólo 3 réplicas por tratamiento, de las cuales se utilizaron 3 lombrices por cada uno para realizar los ensayos ( $n=36$ ). De cada una de ellas se registró el peso antes y después de ser expuestas a los distintos tratamientos

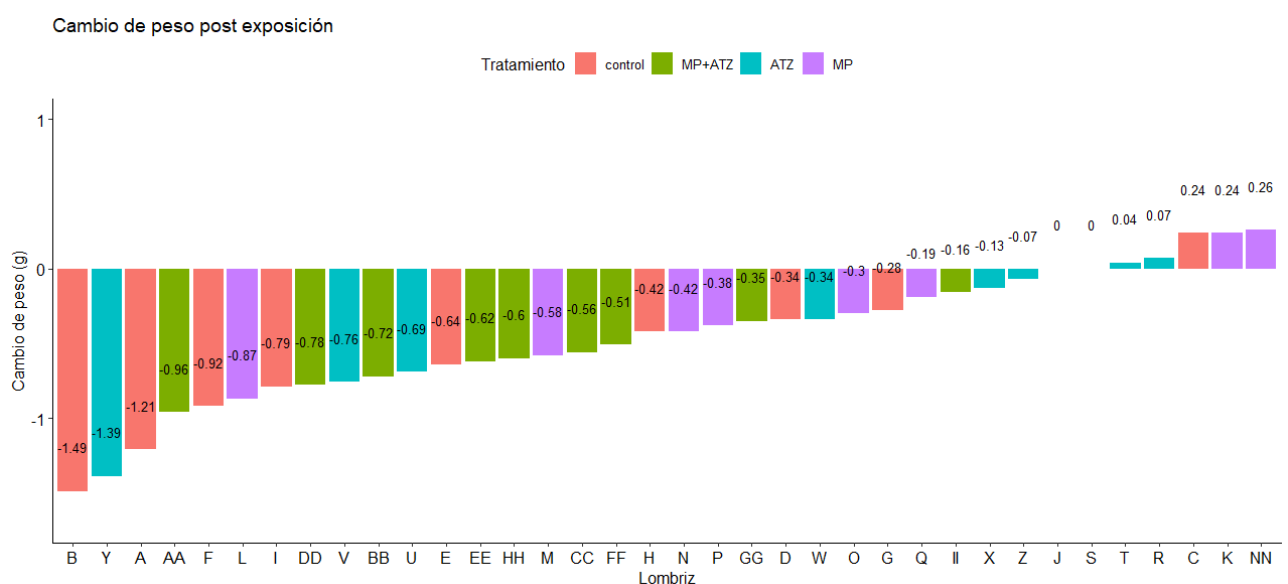


Figura 13: Cambio de peso de cada lombriz según tratamiento luego del bioensayo de exposición.

**Tabla 6:** Cambio de peso en *L. terrestris* según tratamiento de exposición

| Número lombriz                                 | Tratamiento | Peso inicial<br>(g) | Peso final<br>(g) | Cambio de peso (g) |
|--|-------------|---------------------|-------------------|--------------------|
| 1  | Control     | 2,08                | 0,87              | -1,21              |
| 2  | Control     | 2,43                | 0,94              | -1,49              |
| 3  | Control     | 1,58                | 1,82              | 0,24               |
| 4  | Control     | 1,25                | 0,91              | -0,34              |
| 5  | Control     | 1,79                | 1,15              | -0,64              |
| 6  | Control     | 1,5                 | 0,58              | -0,92              |
| 7  | Control     | 1,11                | 0,83              | -0,28              |
| 8  | Control     | 1,34                | 0,92              | -0,42              |
| 9  | Control     | 1,68                | 0,89              | -0,79              |
| <b>Promedio tratamiento control: -0,65 (g)</b> |             |                     |                   |                    |
| 10   | MP          | 1,06                | 1,06              | 0                  |
| 11   | MP          | 0,77                | 1,01              | 0,24               |
| 12   | MP          | 1,66                | 0,79              | -0,87              |
| 13   | MP          | 1,56                | 0,98              | -0,58              |
| 14   | MP          | 1,46                | 1,04              | -0,42              |
| 15   | MP          | 0,9                 | 1,16              | 0,26               |
| 16   | MP          | 1,07                | 0,77              | -0,3               |
| 17   | MP          | 1,3                 | 0,92              | -0,38              |
| 18   | MP          | 1,09                | 0,9               | -0,19              |
| <b>Promedio tratamiento MP: -0,25 (g)</b>      |             |                     |                   |                    |
| 19   | ATZ         | 0,83                | 0,9               | 0,07               |
| 20   | ATZ         | 1,3                 | 1,3               | 0                  |
| 21   | ATZ         | 1,42                | 1,46              | 0,04               |
| 22   | ATZ         | 1,57                | 0,88              | -0,69              |
| 23   | ATZ         | 1,4                 | 0,64              | -0,76              |
| 24   | ATZ         | 1,45                | 1,11              | -0,34              |
| 25   | ATZ         | 1,26                | 1,13              | -0,13              |
| 26   | ATZ         | 2,02                | 0,63              | -1,39              |
| 27   | ATZ         | 1,5                 | 1,43              | -0,07              |

**Tabla 6:** Cambio de peso en *L. terrestris* según tratamiento de exposición  
(continuación)

| Número lombriz                                | Tratamiento | Peso inicial (g) | Peso final (g) | Cambio de peso (g)  |
|---|-------------|------------------|----------------|---------------------|
| <b>Promedio tratamiento ATZ: -0,36 (g)</b>    |             |                  |                |                     |
| 28  | MP+ATZ      | 1,34             | 0,38           | -0,96               |
| 29  | MP+ATZ      | 1,79             | 1,07           | -0,72               |
| 30  | MP+ATZ      | 1,45             | 0,89           | -0,56               |
| 31  | MP+ATZ      | 1,62             | 0,84           | -0,78               |
| 32  | MP+ATZ      | 1,19             | 0,57           | -0,62               |
| 33  | MP+ATZ      | 1,28             | 0,77           | -0,51               |
| 34  | MP+ATZ      | 1,05             | 0,7            | -0,35               |
| 35  | MP+ATZ      | 0,99             | 0,39           | -0,6                |
| 36  | MP+ATZ      | 0,69             | 0,53           | -0,16               |
| <b>Promedio tratamiento MP+ATZ: -0,58 (g)</b> |             |                  |                |                     |
| <b>Promedio general</b>                       |             |                  |                | <b>-0,461666667</b> |
| <b>Desviación estándar</b>                    |             |                  |                | <b>0,435204385</b>  |

En todos los tratamientos se evidenció una reducción del peso de las lombrices, siendo el control el que presentó mayor pérdida de peso promedio (-0,65 g). El tratamiento que presentó menor reducción del peso en promedio fue el tratamiento de exposición a MP (-0,25 g) (Tabla 6).



Figura 14: Lombriz al comienzo del bioensayo (momento del montaje del experimento, 4 noviembre 2022).



Figura 15: Lombriz tres semanas en exposición (25 noviembre 2022).



Figura 16: Lombriz al final del periodo de exposición del bioensayo (15 diciembre 2022, tratamiento de ATZ).

### 3.4 Análisis estadístico del cambio de peso

Para ver si los datos fueron significativamente distintos se realizó un análisis estadístico partiendo por comprobar si los datos se distribuían de forma normal, para lo cual se utilizó el test de Shapiro.

**Tabla 7:** Resultados del test de Shapiro-Wilk. RStudio

#### Shapiro-Wilk normality test

|         |         |
|---------|---------|
| W       | 0.97473 |
| p-value | 0.568   |

Ya que el valor p es mayor a 0,05, no se rechaza la hipótesis nula, por lo tanto, el peso de las lombrices presenta un comportamiento normal. Para saber cómo se comporta el peso según los distintos tratamientos se propone la realización de la prueba ANOVA, por lo cual se procede a comprobar el otro supuesto de la prueba, que exista homogeneidad de varianzas.

**Tabla 8:** Resultados del test de Levene. RStudio

**Levene's Test for Homogeneity of Variance (center = median)**

|         |        |
|---------|--------|
| Df      | 3      |
| F value | 1.1571 |
| Pr (>F) | 0,3413 |

Ya que el valor p es mayor a 0,05, se mantiene la hipótesis nula, existe homogeneidad de varianzas. En este caso se decide realizar la prueba ANOVA para ver si existen diferencias entre las medias de los tratamientos.

**Tabla 9:** Resultados de la prueba ANOVA. RStudio

**ANOVA test**

|                | DF | Sum sq | Mean sq | F value | Pr (>F) |
|----------------|----|--------|---------|---------|---------|
| Cambio de peso | 3  | 0,949  | 0,3165  | 1,783   | 0,17    |
| Residuals      | 32 | 5,680  | 0,1775  |         |         |

Como el valor p es mayor a la significancia, entonces se rechaza la hipótesis nula, no existen diferencias estadísticamente significativas entre los grupos.

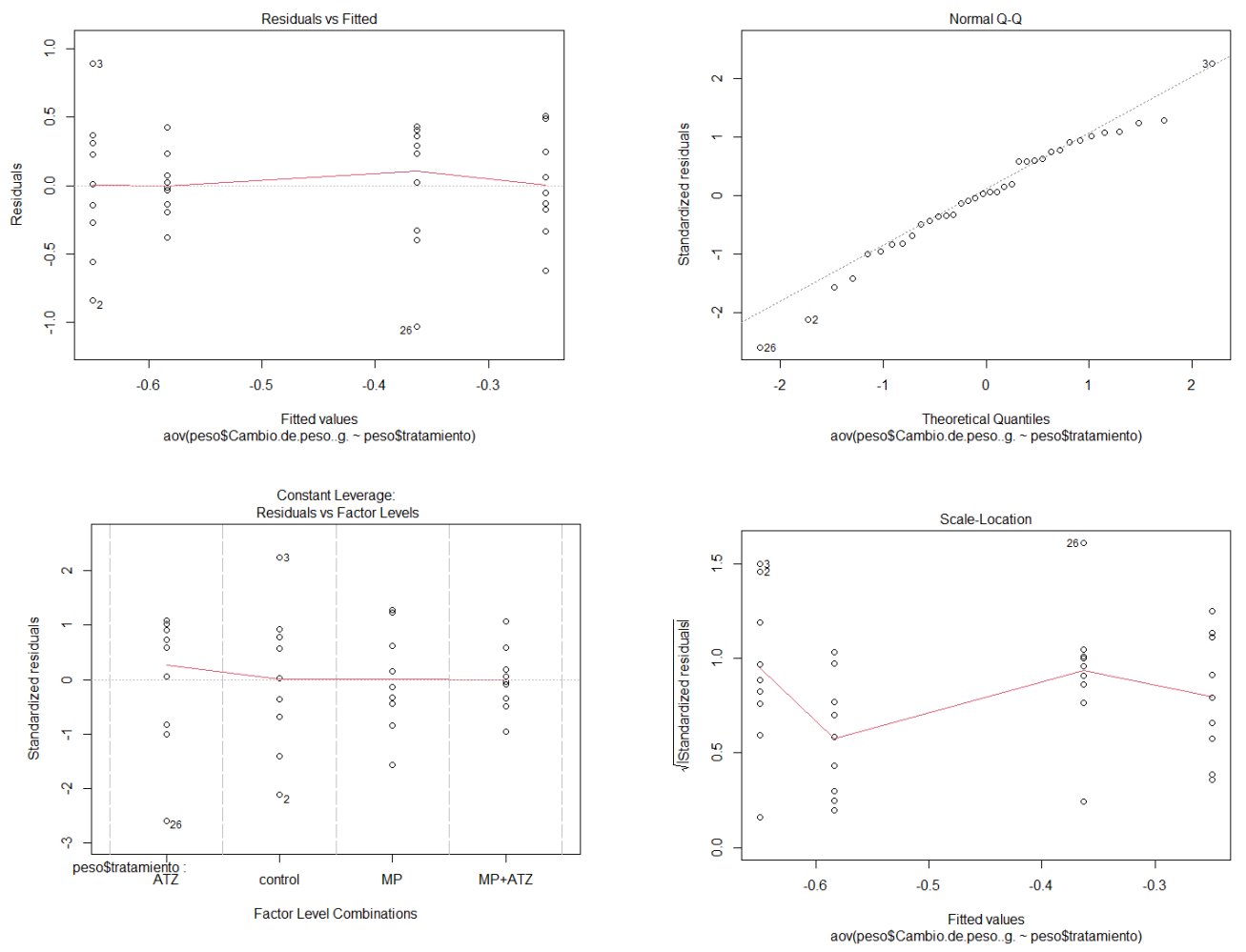


Figura 17: Gráficas de la prueba ANOVA para el cambio de peso de las lombrices.

En este estudio se evidenció una disminución en el peso en todos los tratamientos al igual que en otros estudios (Baeza et al., 2020), esta diferencia no fue estadísticamente significativa, por lo que se deduce que se debe a estrés inherente al cambio de espacio y volumen reducido a comparación del estado de libertad anterior al bioensayo. Adicionalmente, se cree que la comida suministrada no era lo suficientemente variada para suplir todos los requerimientos nutricionales.

### 3.5 Actividad enzimática de AChE

Luego de obtenidos los datos enzimáticos experimentales, se procedió a saber cual era la distribución de los datos, para lo cual se realizó el test de normalidad Kolmogorov-Smirnov.

**Tabla 10:** Resultados del test de normalidad Kolmogorov-Smirnov. RStudio

#### Lilliefors (Kolmogorov-Smirnov) normality test

|         |           |
|---------|-----------|
| D       | 0,2893    |
| p value | < 2,2E-16 |

Los datos de actividad enzimática no contaban con distribución normal, por lo que se utilizó el equivalente no paramétrico del análisis ANOVA, el test de Kruskall-Wallis para definir si existían diferencias entre los distintos tratamientos. Para poder utilizar este test se tienen que cumplir los siguientes supuestos: (1) los grupos deben tener la misma distribución (asimetría hacia el mismo lado), (2) los grupos deben tener la misma varianza (Homocedasticidad)

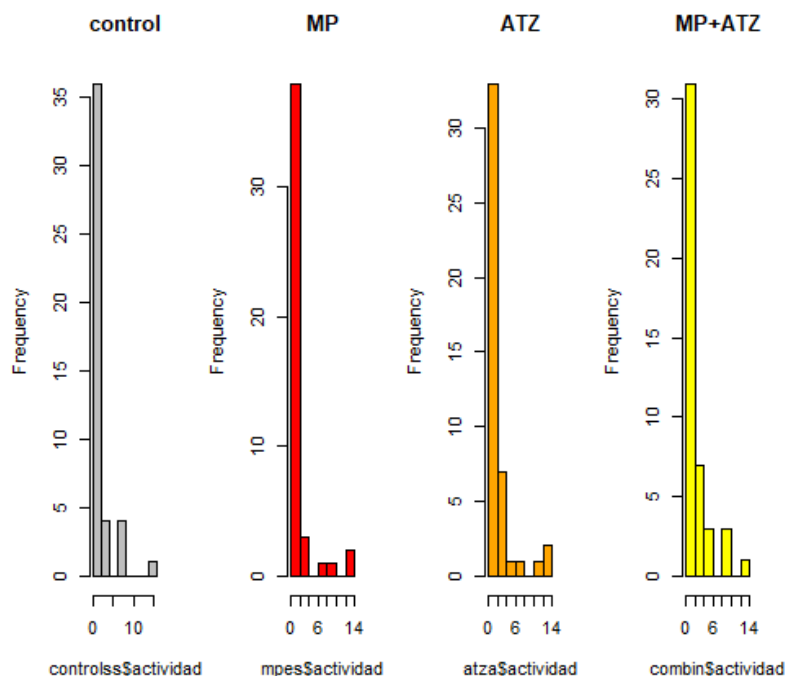


Figura 18: Supuesto de distribución de los datos para uso de test Kruskall-Wallis. RStudio

Los datos cumplen con el supuesto de tener la misma asimetría (Fig. 18), por lo cual se comprueba el supuesto de homocedasticidad a través del test de Levene

el cual entrega un valor-p de 0,768, al ser mayor a  $\alpha=0,05$  se rechaza la hipótesis de que hay más de un grupo con varianza distinta, es decir, existe homogeneidad de varianzas (Tabla 11).

**Tabla 11:** Resultados del test de Levene. RStudio

**Levene's test of homogeneity of variances (center=median)**

|                   |        |
|-------------------|--------|
| <b>Df</b>         | 3      |
| <b>F value</b>    | 0,3793 |
| <b>Pr (&gt;F)</b> | 0,768  |

Según el test de Kruskall-Wallis para ver el comportamiento de los datos de actividad de AChE para los distintos tratamientos, se obtuvo un valor p de 2,397E-05 con un Kruskall-Wallis chi-cuadrado de 24,086. La hipótesis nula es que los grupos independientes tienen la misma tendencia central y vienen de la misma población, la hipótesis alternativa es que al menos uno de los grupos independientes no tiene la misma tendencia central que los otros grupos y vienen de otra población. El valor-p es menor al valor de significancia  $\alpha=0,05$ , por lo cual se rechaza la hipótesis nula y se supone que hay diferencias entre la actividad de AChE de los distintos tratamientos (Tabla 12).

**Tabla 12:** Resultados del test de Kruskall-Wallis. RStudio

**Kruskall-Wallis rank sum test**

|                                    |           |
|------------------------------------|-----------|
| <b>Kruskall-Wallis chi-squared</b> | 24,086    |
| <b>Df</b>                          | 3         |
| <b>p-value</b>                     | 2,397E-05 |

Para definir cuáles son los grupos en los que difiere la actividad de AChE se realiza la prueba post-hoc prueba de Wilcoxon-Mann-Whitney (prueba de suma de rangos Wilcoxon), el cual entrega como resultado que existen diferencias entre los tratamientos de Control-ATZ, MP-ATZ, MP+ATZ-Control y MP+ATZ-MP (Tabla 13).

**Tabla 13:** resultados del test de Wilcoxon. RStudio

**Pairwise comparisons using Wilcoxon rank sum test with  
continuity correction**

|         | ATZ    | Control | MP     |
|---------|--------|---------|--------|
| Control | 0.0034 | -       | -      |
| MP      | 0.0031 | 1.000   | -      |
| MP+ATZ  | 1.0000 | 0.0025  | 0.0013 |

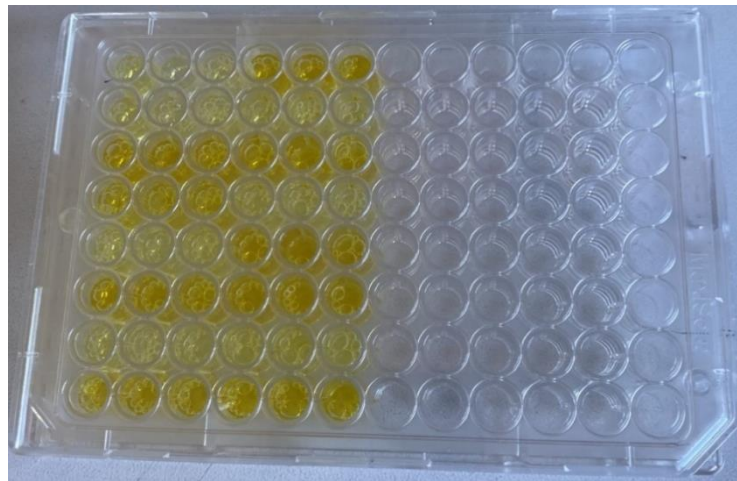


Figura 19: Microplaca con enzimas para medir absorbancia de AChE

### 3.5.1 Actividad AChE según tratamiento

En la figura 20 se muestran las diferencias significativas de la actividad enzimática de AChE según los distintos tratamientos de exposición utilizados en el bioensayo.

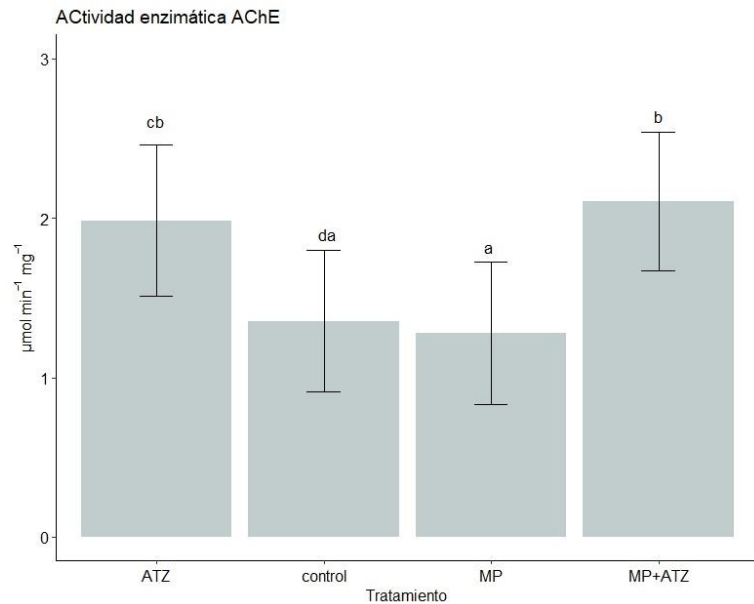


Figura 20: Diferencias significativas para la actividad enzimática de AChE para los distintos tratamientos. Data es promedio  $\pm$  error estándar; letras indican diferencia significativa

### 3.5.2 Actividad AChE según tejido

En la figura 21 se muestra gráficamente las actividades medias de AChE según el tratamiento y tipo de tejido de las lombrices.

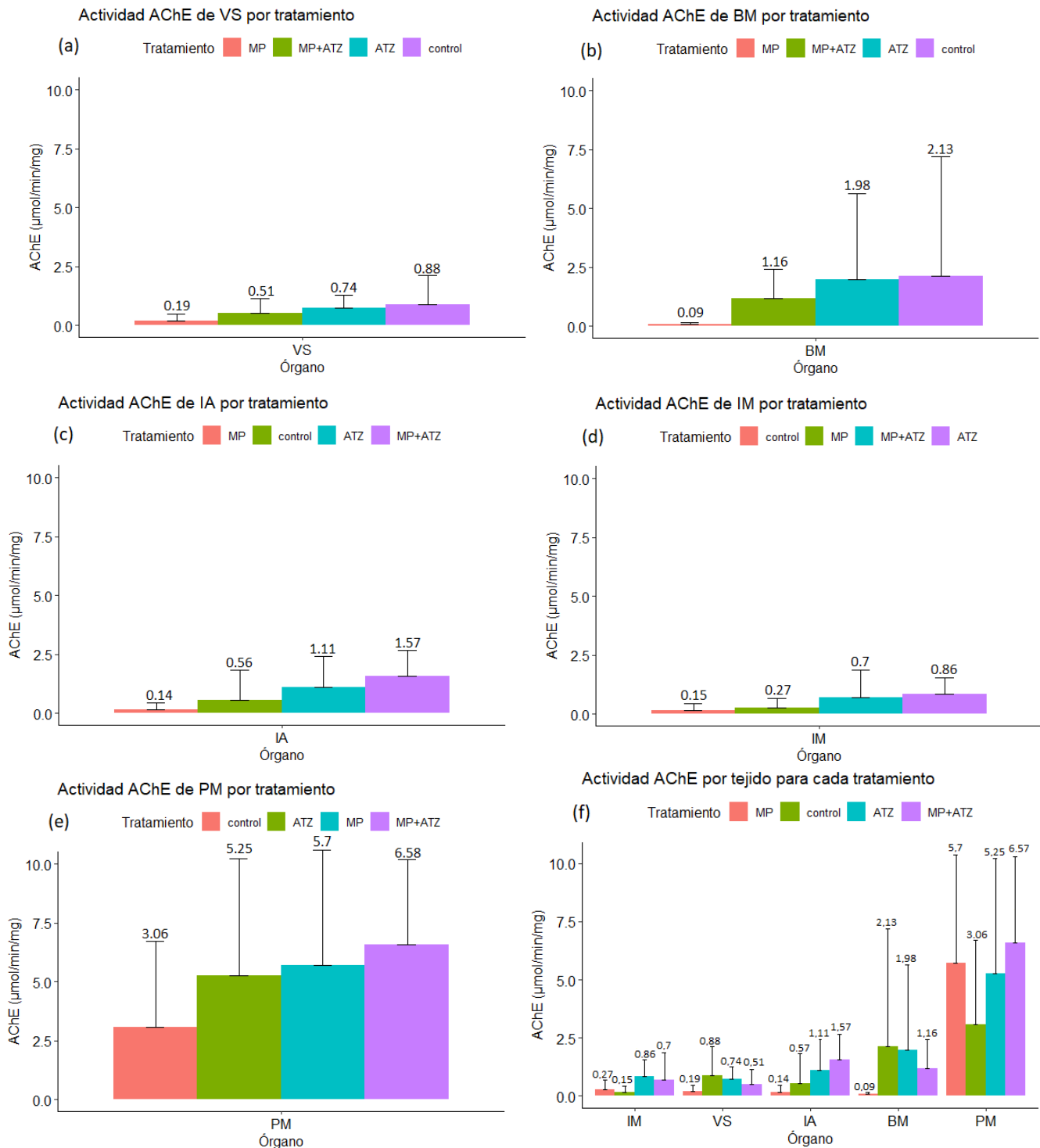


Figura 21: Promedio de la actividad de acetilcolinesterasa (AChE) de *Lumbricus terrestris* según el tejido **a)** vesícula/receptaculos seminales **b)** buche/molleja **c)** intestino anterior **d)** intestino medio **e)** pared muscular según tratamiento y **f)** todos los tejidos según tratamiento. Desviación estándar determinada a partir de los experimentos realizados en triplicado.

**Tabla 14:** Promedio de la actividad enzimática específica de AChE según tejido para los distintos tratamientos

| Órgano    | Tratamiento | Promedio   | Valor<br>máximo | Valor<br>mínimo | Desviación<br>estándar |
|-----------|-------------|------------|-----------------|-----------------|------------------------|
| <b>VS</b> | ATZ         | 0,7360274  | 1,62601872      | 0               | 0,53649907             |
| <b>VS</b> | MP          | 0,18746684 | 0,78361446      | 0               | 0,27844502             |
| <b>VS</b> | MP+ATZ      | 0,51313727 | 1,94424436      | 0               | 0,6195973              |
| <b>VS</b> | control     | 0,88245585 | 3,34120248      | 0               | 1,24471774             |
| <b>BM</b> | ATZ         | 1,9762944  | 11,4778712      | 0,1113976       | 3,6540442              |
| <b>BM</b> | MP          | 0,08666927 | 0,22697894      | 0               | 0,07586967             |
| <b>BM</b> | MP+ATZ      | 1,16430314 | 3,71114299      | 0               | 1,26115738             |
| <b>BM</b> | control     | 2,1262517  | 15,4722894      | 0,07779917      | 5,08009923             |
| <b>IA</b> | ATZ         | 1,11401727 | 4,034922        | 0               | 1,30578984             |
| <b>IA</b> | MP          | 0,14471135 | 0,94736842      | 0               | 0,30345963             |
| <b>IA</b> | MP+ATZ      | 1,5719322  | 3,48764297      | 0,25098039      | 1,10174709             |
| <b>IA</b> | control     | 0,5564533  | 3,89716776      | 0               | 1,26371531             |
| <b>IM</b> | ATZ         | 0,85587253 | 2,17583808      | 0,08538876      | 0,7011893              |
| <b>IM</b> | MP          | 0,2740434  | 1,30082528      | 0,02239831      | 0,39832193             |
| <b>IM</b> | MP+ATZ      | 0,70402169 | 3,76296296      | 0,05544589      | 1,16533117             |
| <b>IM</b> | control     | 0,15344165 | 0,88486677      | 0               | 0,28029482             |
| <b>PM</b> | ATZ         | 5,24867466 | 13,4865052      | 0,00365702      | 4,95110015             |
| <b>PM</b> | MP          | 5,70394842 | 12,3566994      | 0               | 4,66277761             |
| <b>PM</b> | MP+ATZ      | 6,57656099 | 13,5743995      | 0,79546609      | 3,71677318             |
| <b>PM</b> | control     | 3,05837631 | 7,77551098      | 0               | 3,64621391             |

A nivel de tejido, para la actividad de AChE en vasícula y receptáculos seminales (VS) se presenta una inhibición en todos los tratamientos a comparación del control. La actividad del tratamiento de co-exposición ve reducida 42% ( $0,51 \pm 0,62$ ), el tratamiento de ATZ se reduce un 17% ( $0,74 \pm 0,54$ ) y el tratamiento que presenta la mayor inhibición de actividad enzimática es a exposición a MPs con 79% ( $0,19 \pm 0,28$ ) (Fig. 21 a))(Tabla 14).

En cuanto a la actividad de AChE en buche y molleja (BM) se puede observar que esta se ve inhibida en todos los tratamientos a comparación del control. La

actividad del tratamiento de ATZ ( $1,98 \pm 3,65$ ) presenta una reducción del 7%, mientras que el de co-exposición ( $1,16 \pm 1,2$ ) una reducción del 45%. El tratamiento que presentó el mayor nivel de inhibición de la actividad enzimática fue la exposición a MPs ( $0,09 \pm 0,07$ ) con 96% (Fig. 21 b)) (Tabla 14).

En el intestino anterior (IA) se presenta una reducción del 74% en la actividad de AChE tras la exposición a MPs ( $0,14 \pm 0,3$ ) a comparación del control ( $0,56 \pm 1,3$ ) (Fig. 21 c)) (Tabla 14).

La acetilcolinesterasa es una clase de enzima que cataliza la hidrolisis del agente neurotransmisor acetilcolina, cuando la enzima no es capaz de efectuar la hidrolisis de la acetilcolina se provoca una acumulación del neurotransmisor. La reduccion de la actividad de AChE ha sido correlacionada con el nivel de pesticidas OP en el ambiente (Sarkar et al., 2006), pero ademas de estos otros tipos de contaminantes emergentes pueden afectar la AChE (Barron and Woodburn, 1995; Fu et al., 2018; Van Dyk and Pletschke, 2011).

En el tratamiento de exposición a ATZ, se evidencia una reducción de la actividad enzimática de AChE en los órganos de VS y BM, esto se puede relacionar a que este herbicida es un tóxico reproductivo y también es un neurotóxico. No se sabe claramente cuales son los mecanismos tóxicos en el organismo de las lombrices, sin embargo, se cree que puede estar relacionado a alimentación, ya que la inhibición es proporcional al orden en que se encuentra cada órgano por contacto tras la ingesta.

La acetilcolina no ha sido estudiada ampliamente a la exposición a atrazina, sin embargo, se realizó un estudio en pez cebra donde se expuso a atrazina y presentó reducción de la AChE en el cerebro y se vieron cambios en los comportamientos defensivos del pez, lo que puede estar asociado a un problema en la neurotransmisión de acetilcolina, descrito por la reducción de la actividad AChE (Schmidel et al., 2014).

La acetilcolinesterasa es un biomarcador de neurotoxicidad, en el cual se degrada la acetilcolina para remover los efectos neurotóxicos de los contaminantes, sin embargo, hay estudios que demuestran que los microplásticos no tienen efectos neurotóxicos en *Lumbricus terrestris* (Calisi et al., 2011; Rault et al., 2007). Aunque los efectos no sean neurotóxicos en este estudio, se evidencia una disminución

de la actividad de AChE en VS, BM e IA en *L. terrestris* expuestos al tratamiento de MP. Existen estudios en los que, de igual manera, se ha inhibido esta actividad en juveniles de *Pomatoschistus microps*, mussels y gobies (Avio et al., 2015; Chen et al., 2020b; Fonte et al., 2016; Luís et al., 2015).

Se teoriza que los resultados de actividad enzimática de AChE en exposición a MP de este estudio se deban a la forma de alimentación de las lombrices, ya que cuando entra el plástico al sistema pueden generar laceraciones debido a la irregularidad de los bordes y superficie en la boca, por ende, esta teoría tiene sentido considerando que se presenta una disminución de la actividad enzimática de AChE en los primeros órganos que tienen contacto con los MPs (vesícula seminal, buche/molleja e intestino anterior). El comportamiento aletargado que se ha evidenciado en otros estudio podría ser parte del mecanismo de MPs que afecta a las lombrices de tierra (Baeza et al., 2020).

En el estudio de Baeza y colaboradores, se evidencia una disminución de la actividad de AChE en el intestino medio de *L. terrestris* expuestas a 5 y 7% p/p (6,9 y 9,7 g respectivamente de MPs de PEBD) a comparación del control. Considerando estos resultados, se puede deducir que la respuesta enzimática de AChE depende de la especie utilizada, el tejido, fuente y la concentración de MPs a la que estas sean expuestas.

En VS y BM se observa una inhibición de la actividad enzimática de AChE para el tratamiento de MP+ATZ, analizandolo a mayor detalle, la actividad tras la exposición presenta mayor inhibición en el tratamiento de MP+ATZ (42 y 45% de inhibición respectivamente) a comparacion con en el tratamiento de ATZ (17 y 7%), pero no logra el nivel de inhibición del tratamiento de MP (79 y 69% de inhibición respectivamente), lo cual sugiere la existencia de un posible efecto competitivo. Se teoriza que la disponibilidad de ATZ en el suelo se ve reducida debido a la capacidad de adsorción de los MPs, como se demostró en el test de adsorción. Así, existe menos biodisponibilidad de la atrazina a nivel de receptor y que permite que no exista un nivel elevado de inhibición enzimática. Se especula que dependiendo del tamaño de la partícula ingerida esta puede ser retenida dentro por organismo por un mayor o menor periodo que permita desorber o no el herbicida. Se sugiere que partículas de menor tamaño con ATZ adherida pueden

ser excretadas con mayor facilidad y producir menos inhibición enzimática como en el caso de IM y PM.

Es importante descubrir el mecanismo de inhibición de la actividad de AChE tras la exposición a estos contaminantes teniendo en consideración su rol en la transmisión del impulso nervioso, que se traduce en el movimiento de los organismos. Se debe tomar en consideración cómo una eventual reducción del movimiento pueda tener en el rol de mejora de la estructura del suelo que cumple esta especie de lombriz.

### 3.6 Actividad enzimática de CbE

En la figura 22 se muestra la microplaca utilizada para medir la absorbancia de la actividad CbE de los distintos tejidos de las lombrices muestra.

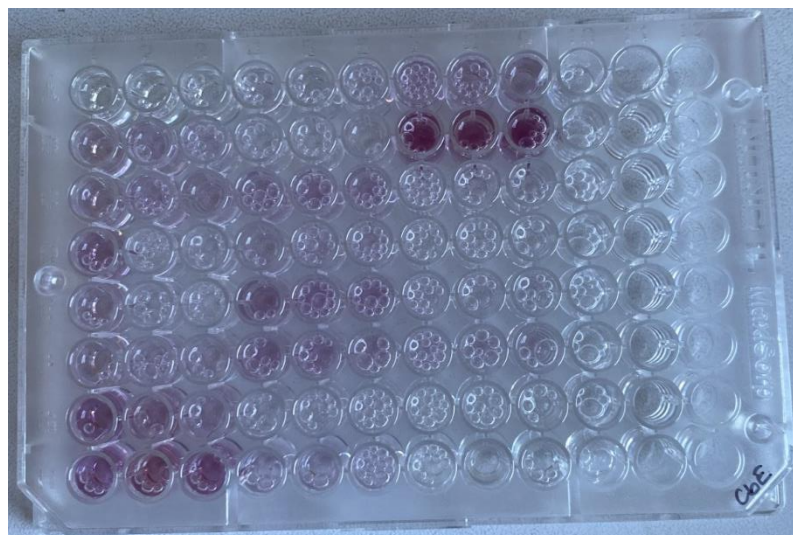


Figura 22: Microplaca con sustratos para medir actividad de CbE

Luego de obtenidos los datos enzimáticos experimentales, se procedió a saber cual era la distribución de los datos, para lo cual se realizó el test de normalidad Kolmogorov-Smirnov.

**Tabla 15:** Resultados del test de normalidad Kolmogorov-Smirnov. RStudio

**Lilliefors (Kolmogorov-Smirnov) normality test**

|                |           |
|----------------|-----------|
| <b>D</b>       | 0,16972   |
| <b>p value</b> | 8,754E-14 |

Los datos no siguen una distribución normal, por lo cual se deben cumplir los supuestos para realizar un ANOVA no paramétrico o con corrección de Welch.

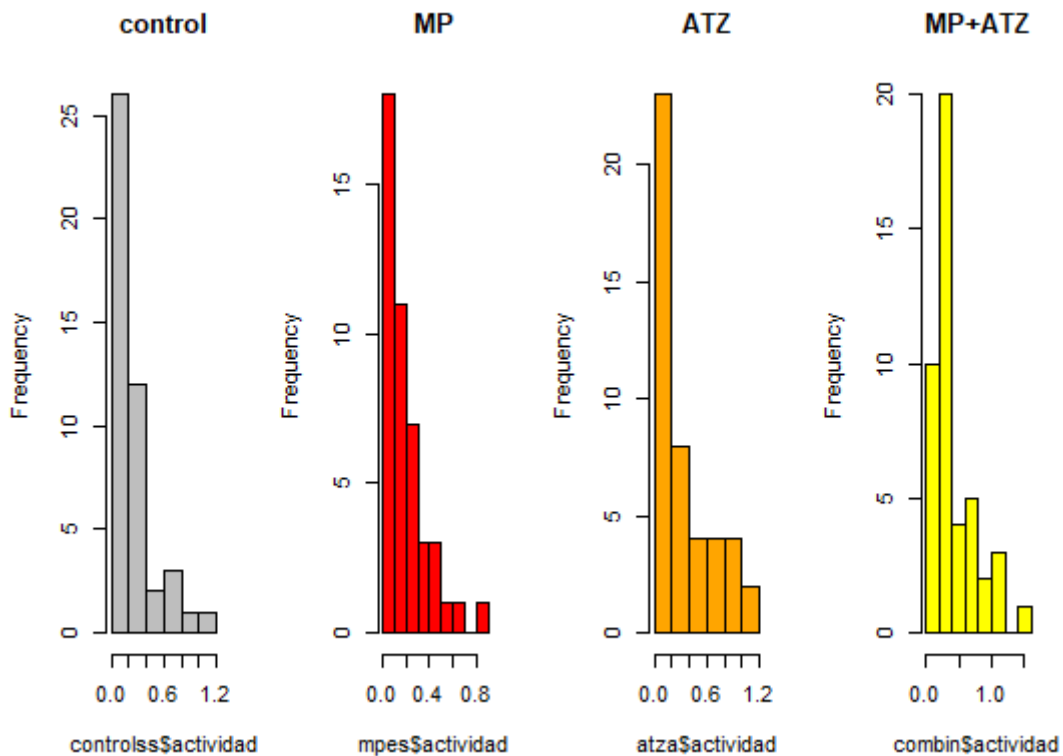


Figura 23: Supuesto de distribución de los datos de CbE para uso de test Kruskall-Wallis.

RStudio

Los datos de actividad enzimática de CbE cumplen con el supuesto de tener la misma asimetría (Fig. 23).

**Tabla 16:** Resultados del test de Levene. RStudio

**Levene test for homogeneity of variances (center=median)**

|                |          |
|----------------|----------|
| <b>Df</b>      | 3        |
| <b>F value</b> | 3.7293   |
| <b>Pr</b>      | 0.01241* |

El valor p es menor al valor de significancia, por lo que se rechaza la hipótesis nula y los datos no presentan varianzas homogéneas (Tabla 16). En este caso se utiliza la prueba ANOVA con corrección de Welch

**Tabla 17:** Resultados del test ANOVA con corrección de Welch. RStudio

#### **ANOVA con corrección de Welch**

|           | N   | Statistic | DFn | DFd  | P        | Method |
|-----------|-----|-----------|-----|------|----------|--------|
| Actividad | 180 | 7,18      | 3   | 95,2 | 0,000214 | Welch  |
| CbE       |     |           |     |      |          | ANOVA  |

El valor p es menor a 0,05, por lo que se rechaza la hipótesis nula de que las actividades de todos los tratamientos son iguales. Se procede a realizar un test que permita saber cuales son los grupos que difieren entre sí (Tabla 17).

**Tabla 18:** Resultados del test de Games-Howell. RStudio

#### **Games-Howell test para comparaciones múltiples**

|               | Group1  | Group2  | p.adj   | p.adj.signif |
|---------------|---------|---------|---------|--------------|
| Actividad CbE | ATZ     | Control | 0.415   | ns           |
| Actividad CbE | ATZ     | MP      | 0.159   | ns           |
| Actividad CbE | ATZ     | MP+ATZ  | 0.288   | ns           |
| Actividad CbE | Control | MP      | 0.941   | ns           |
| Actividad CbE | Control | MP+ATZ  | 0.003   | **           |
| Actividad CbE | MP      | MP+ATZ  | 0.00021 | ***          |

Según el test de Games-Howell, existen diferencias significativas entre los tratamientos Control y MP+ATZ y diferencias muy significativas entre el tratamiento de exposición a MP y el de coexposición (Tabla 18).

### 3.6.1 Actividad CbE según tratamiento

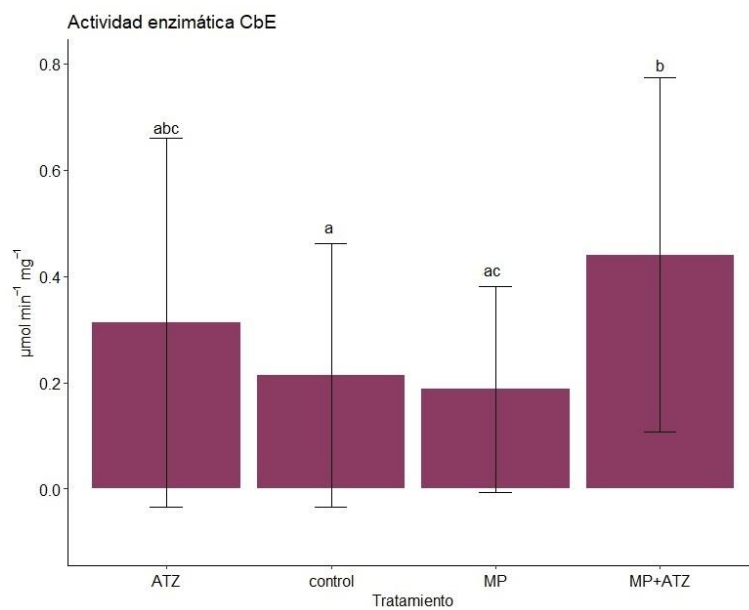


Figura 24: Diferencias significativas de actividad enzimática CbE según tratamiento. Data es promedio  $\pm$  error estándar. Letras indican diferencias significativas.

### 3.6.2 Actividad CbE según tejido

En la figura 25 se muestra gráficamente las actividades medias de CbE según el tratamiento y tipo de tejido de las lombrices.

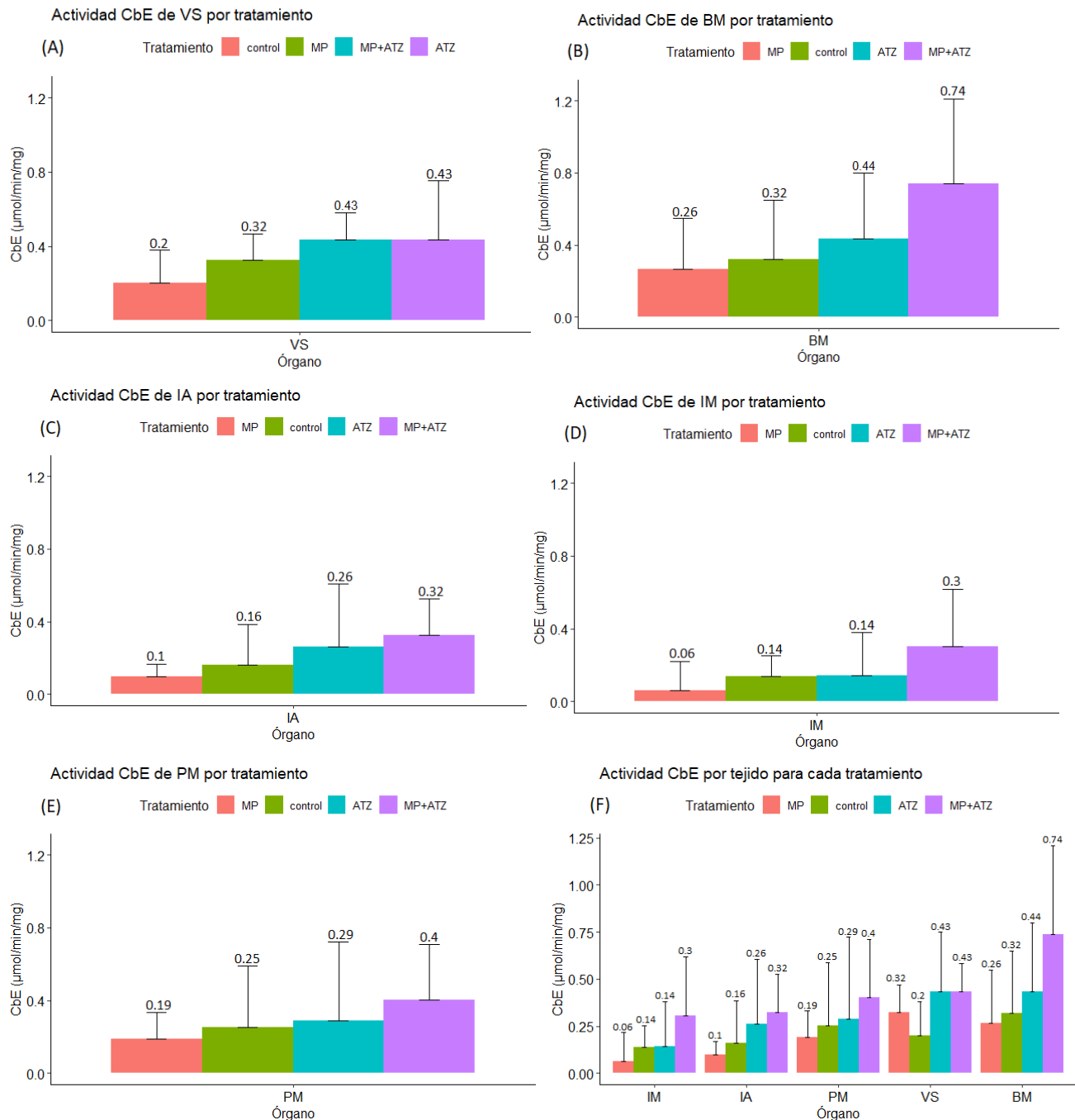


Figura 25: Actividad de la carboxilesterasa (CbE) de *Lumbricus terrestris* según el tejido **A**) vesícula/receptaculos seminales **B**) buche/molleja **C**) intestino anterior **D**) intestino medio **E**) pared muscular según tratamiento y **F**) todos los tejidos según tratamiento. Desviación estándar determinada a partir de los experimentos realizados en triplicado.

**Tabla 19:** Promedio de la actividad enzimática específica de CbE según tejido para los distintos tratamientos

| Órgano | Tratamiento | Promedio   | Valor máximo | Valor mínimo | Desviación estandar |
|--------|-------------|------------|--------------|--------------|---------------------|
| VS     | ATZ         | 0,4333553  | 0,97674947   | 0            | 0,3188889           |
| VS     | MP          | 0,32314737 | 0,63455064   | 0,1488604    | 0,14390742          |
| VS     | MP+ATZ      | 0,43210699 | 0,68804714   | 0,22196125   | 0,14948463          |
| VS     | control     | 0,1996734  | 0,53569204   | 0,00061705   | 0,17847575          |
| BM     | ATZ         | 0,43500632 | 1,05018315   | 0            | 0,36258171          |
| BM     | MP          | 0,26395043 | 0,89893162   | 0            | 0,28411565          |
| BM     | MP+ATZ      | 0,73859913 | 1,57705874   | 0,18576456   | 0,46937236          |
| BM     | control     | 0,31872158 | 0,8360114    | 0            | 0,33050983          |
| IA     | ATZ         | 0,26310262 | 0,87887668   | 0            | 0,34229479          |
| IA     | MP          | 0,09695286 | 0,20668221   | 0            | 0,06957414          |
| IA     | MP+ATZ      | 0,3238413  | 0,79289941   | 0,11025641   | 0,20094757          |
| IA     | control     | 0,16131548 | 0,64472204   | 0            | 0,22285661          |
| IM     | ATZ         | 0,14320756 | 0,69727239   | 0            | 0,23667119          |
| IM     | MP          | 0,06229017 | 0,47944372   | 0            | 0,15667566          |
| IM     | MP+ATZ      | 0,30430923 | 0,90750398   | 0            | 0,31182829          |
| IM     | control     | 0,13756122 | 0,31172474   | 0            | 0,11376762          |
| PM     | ATZ         | 0,28826243 | 1,19789402   | 0            | 0,43378642          |
| PM     | MP          | 0,19012635 | 0,40434872   | 0,03455329   | 0,14294173          |
| PM     | MP+ATZ      | 0,40386317 | 1,05248869   | 0,0962169    | 0,30574565          |
| PM     | control     | 0,25309214 | 1,08649573   | 0            | 0,33538017          |

A nivel de tejido, tras la exposición a MPs ( $0,26 \pm 0,28$ ), la actividad de CbE en buche y molleja (BM) presenta una inhibición del 17% a comparación del control ( $0,32 \pm 0,33$ ) (Fig 25 B) (Tabla 19).

En cuanto al intestino anterior (IA), este tejido presenta disminución de la actividad enzimática de CbE tras la exposición al tratamiento de MPs ( $0,09 \pm 0,07$ ), donde

presenta una inhibición del 40% a comparación del control ( $0,16 \pm 0,22$ ) (Fig 25 C)(Tabla 19).

En el caso del intestino medio (IM), la actividad de CbE presenta una inhibición del 55% en el tratamiento de MPs ( $0,06 \pm 0,16$ ) a comparación del control (Fig 25 D)(Tabla 19).

En cuanto a la pared muscular (PM), la actividad de CbE presenta una inhibición del 25% en el tratamiento de MPs ( $0,19 \pm 0,14$ ) a comparación del control ( $0,25 \pm 0,34$ ) (Fig 25 E)(Tabla 19).

En el presente estudio se presentan valores de actividad de CbE mayores en BM que en el tejido de intestino medio, anterior, vesícula seminal y en pared muscular, al igual que en otros estudios (Araneda et al., 2016; Sanchez-Hernandez et al., 2009). De igual manera se evidencia una disminución de la actividad de CbE en el tejido de IA y de IM lo que podría deberse a la función digestiva del intestino (Brown and Doube, 2004).

Los datos demuestran una sensibilidad dependiente del tejido y según tratamiento, en IM, IA, PM y BM existe una inhibición de la actividad de CbE en presencia de microplásticos. Al igual que en la actividad de AChE, se teoriza que esta disminución de actividad enzimática de CbE se deba al posible daño a los órganos causado por los bordes irregulares de las partículas plásticas tras su ingestión.

Es importante investigar el mecanismo de acción inhibitorio de la enzima, debido al importante rol que cumple en la detoxificación de pesticidas, la implicancia que esto supone en el comportamiento y supervivencia de *L. terrestris*, y eventualmente su afectación en el rol que cumplen en el ecosistema como especie clave.

### 3.7 Correlaciones

En la figura 26 se muestra gráficamente la correlación entre las actividades enzimáticas de AChE y CbE de las lombrices expuestas al los distintos tratamientos.

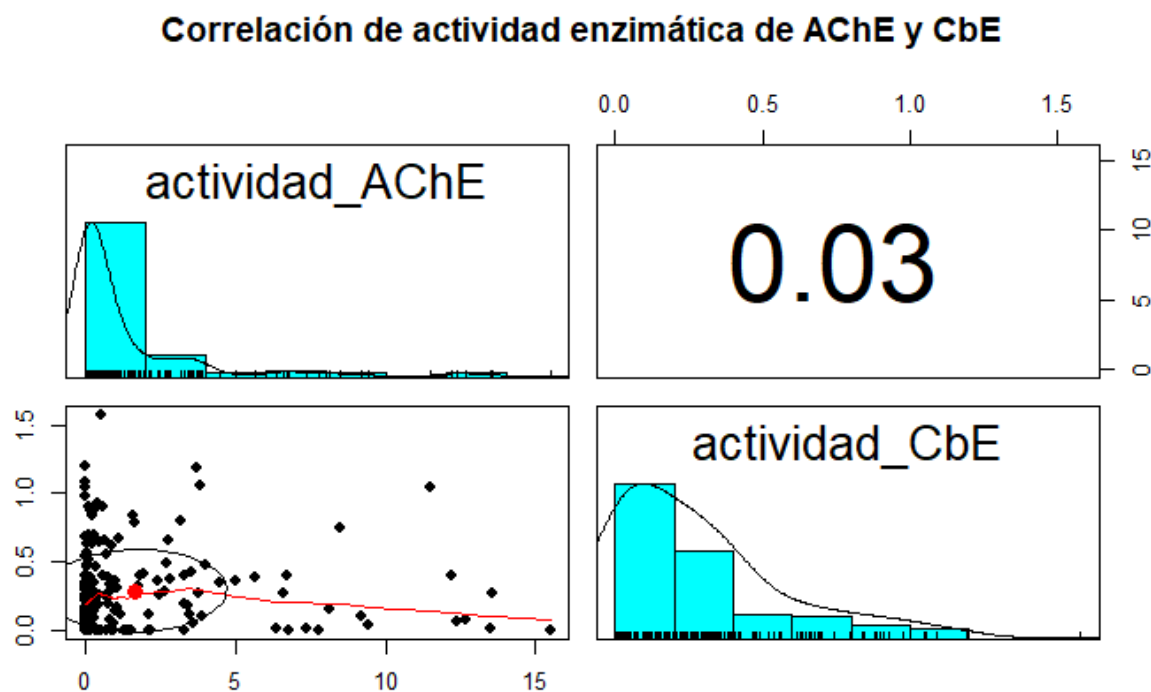


Figura 26: Gráfico de correlación entre actividad enzimática de AChE y CbE. RStudio

Se realizó un análisis de correlación mediante el método de Spearman para datos no paramétricos, para saber si existía una correlación entre las actividades de AChE y CbE. Según el resultado del test no existe una correlación estadísticamente significativa entre las variables (Fig. 26)(Tabla 20).

**Tabla 20:** Resultados de correlación rho de Spearman. RStudio

**Spearman's rank correlation rho**

|                |            |
|----------------|------------|
| <b>S</b>       | 939763     |
| <b>p-value</b> | 0,6588     |
| <b>rho</b>     | 0,03313533 |

## 5. CONCLUSIONES

El uso de bioindicadores son una herramienta importante en la ecotoxicología, ya que pueden otorgar información sobre el estado ambiental a través de sus respuestas. Para el desarrollo de este estudio se utilizó como bioindicador a la especie de lombriz *Lumbricus terrestris* debido a su importancia ecológica y agronómica, ya que posee un rol clave en el ecosistema terrestre. El objetivo fue evaluar los posibles efectos de la interacción que pudiesen existir entre los contaminantes más comunes en los suelos agrícolas: los microplásticos y pesticidas.

En este estudio, se demostró la capacidad de adsorción de ATZ a la superficie de los MPs de PE utilizados para la investigación.

La exposición de la lombriz común a la combinación entre MPs y ATZ (tratamiento de coexposición MPs+ATZ) demostró menores efectos de inhibición de la actividad enzimática de AChE. Esto podría indicar un posible efecto de competencia entre ambos contaminantes según el tipo de tejido, para el cual se teoriza que puede deberse a una reducción de la biodisponibilidad de la atrazina debido a la capacidad de adsorción de los MPs. Esta teoría se soporta según los resultados obtenidos en el test de adsorción.

Adicionalmente, la exposición singular a MPs desencadena una disminución tejido-dependiente de la actividad de AChE y CbE en las lombrices, la cual se atribuye a un daño a estos órganos como consecuencia de la ingestión de las partículas plásticas.

Finalmente, no existe suficiente información para aseverar que la coexposición a MPs y ATZ resulte en una interacción sinérgica en *L. terrestris*, sin embargo, los resultados de este estudio sugieren un comportamiento de efecto de competición ante la coexposición a MPs y ATZ en esta especie de lombriz. Se recomienda identificar los mecanismos de acción de este posible efecto de competencia.

A partir de los resultados obtenidos se sugiere utilizar un mayor número de muestra para disminuir la variabilidad de datos y obtener resultados concisos. Se recomienda explorar esta interacción toxicológica con una batería de biomarcadores como respuestas conductuales y de estrés oxidativo (GST, SOD, MDA, CAT), con mayor cantidad de individuos muestra y diferenciar los efectos

según los tamaños de los MPs. Además, a través de la literatura científica revisada se detectó la necesidad de realizar más experimentos con concentraciones acordes a las presentes en el ambiente, para tener claridad del riesgo que supone el uso excesivo de estos compuestos al medio terrestre. Es importante recalcar que la hipótesis planteada en esta investigación se rechaza, ya que los resultados indicarían que, en vez de existir un efecto sinérgico, sería un efecto de competencia, del cual se deben identificar los mecanismos de acción.

## OBJETIVOS DE DESARROLLO SOSTENIBLE

Los objetivos de Desarrollo Sostenible (ODS) fueron adoptados por las Naciones Unidas en 2015 como forma de llamado universal para poner fin a la pobreza, proteger el planeta y garantizar que para el 2030 todas las personas disfruten de paz y prosperidad. Los 17 ODS están interrelacionados ya que la acción en un área afectará los resultados de otras áreas.

En el marco de los objetivos de desarrollo sostenible, esta investigación tiene relación directa en los objetivos que tienen relación con la producción agrícola, pues las actividades de este rubro incluyen el uso de distintas formas de plástico y el uso de pesticidas.

### Objetivo 15: Vida de ecosistemas terrestres

Los microorganismos e invertebrados son clave para los servicios de los ecosistemas, pero sus contribuciones son poco conocidas y raramente reconocidas

15.3 Rehabilitar las tierras y suelos degradados

15.5 Adoptar medidas para reducir la degradación de los hábitats naturales y detener la perdida de la diversidad biológica.

Esta investigación pretende dar foco al rol de los invertebrados como especie clave en los servicios ecosistémicos y la importancia que tienen en el ecosistema.

### Objetivo 2: Hambre Cero

Se necesita llevar a cabo un cambio profundo en el sistema agroalimentario mundial si se quiere alimentar a más de 820 millones de personas que padecen hambre, el aumento de la productividad agrícola y la producción alimentaria sostenible son cruciales para ayudar a aliviar los riesgos del hambre.

En las metas del objetivo:

2.3 para 2030, duplicar la productividad agrícola.

2.4 para 2030, asegurar la sostenibilidad de los sistemas de producción de alimentos y aplicar prácticas agrícolas resilientes que aumenten la productividad y producción.

Esta investigación pretende exponer la insostenibilidad que significa el uso de plástico de polietileno como herramienta en los sistemas de producción de alimentos, e invita a concentrar los esfuerzos en buscar alternativas a su uso.

**Objetivo 12: Garantizar modalidades de consumo y producción sostenibles**

El consumo y la producción sostenibles consisten en hacer más y mejor con menos, además de desvincular el crecimiento económico de la degradación medioambiental, aumentar la eficiencia de recursos y promover estilos de vida sostenibles.

En las metas del objetivo se tiene incidencia en:

12.4 lograr la gestión ecológicamente racional de los productos químicos y de todos los desechos a lo largo de su ciclo de vida.

12.5 reducir considerablemente la generación de desechos mediante actividades de prevención, reducción, reciclado y reutilización.

12.8 asegurar que las personas de todo el mundo tengan información y los conocimientos pertinentes para el desarrollo sostenible y los estilos de vida en armonía con la naturaleza.

Esta investigación pretende extender los resultados científicos de los efectos que suponen las prácticas de producción en la lombriz como un bioindicador del estado de salud del ambiente.

## 6. REFERENCIAS BIBLIOGRÁFICAS

- Aamodt, S., Konestabo, H.S., Sverdrup, L.E., Gudbrandsen, M., Reinecke, S.A., Reinecke, A.J. and Stenersen, J. 2007. Recovery of cholinesterase activity in the earthworm Eisenia fetida Savigny following exposure to chlorpyrifos. *Environmental Toxicology and Chemistry: An International Journal* 26(9), 1963-1967.
- Agopian, A.J., Cai, Y., Langlois, P.H., Canfield, M.A. and Lupo, P.J. 2013. Maternal residential atrazine exposure and risk for choanal atresia and stenosis in offspring. *The Journal of pediatrics* 162(3), 581-586.
- Alla, M.N. and Hassan, N. 2006. Changes of antioxidants levels in two maize lines following atrazine treatments. *Plant physiology and biochemistry* 44(4), 202-210.
- An, D., Na, J., Song, J. and Jung, J. 2021. Size-dependent chronic toxicity of fragmented polyethylene microplastics to *Daphnia magna*. *Chemosphere* 271, 129591.
- Andrade, A.L. 2011. Microplastics in the marine environment. *Marine pollution bulletin* 62(8), 1596-1605.
- Andrade, A.L. and Neal, M.A. 2009. Applications and societal benefits of plastics. *Philosophical Transactions of the Royal Society B: Biological Sciences* 364(1526), 1977-1984.
- Araneda, A.D., Undurraga, P., Lopez, D., Saez, K. and Barra, R. 2016. Use of earthworms as a pesticide exposure indicator in soils under conventional and organic management. *Chilean Journal of Agricultural Research* 76(3), 356-362.
- Armstrong, D., Chesters, G. and Harris, R. 1967. Atrazine hydrolysis in soil. *Soil Science Society of America Journal* 31(1), 61-66.
- Arthur, C., Baker, J.E. and Bamford, H.A. 2009. Proceedings of the International Research Workshop on the Occurrence, Effects, and Fate of Microplastic Marine Debris, September 9-11, 2008, University of Washington Tacoma, Tacoma, WA, USA.
- Avio, C.G., Gorbi, S., Milan, M., Benedetti, M., Fattorini, D., d'Errico, G., Pauletto, M., Bargelloni, L. and Regoli, F. 2015. Pollutants bioavailability and toxicological risk from microplastics to marine mussels. *Environmental pollution* 198, 211-222.
- Baeza, C., Cifuentes, C., Gonzalez, P., Araneda, A. and Barra, R. 2020. Experimental Exposure of *Lumbricus terrestris* to Microplastics. *Water Air and Soil Pollution* 231(6), 10.
- Bailey, G.W. and White, J.L. 1964. Soil-pesticide relationships, adsorption and desorption of organic pesticides by soil colloids, with implications concerning pesticide bioactivity. *Journal of Agricultural and Food Chemistry* 12(4), 324-332.
- Bakir, A., Rowland, S.J. and Thompson, R.C. 2014. Enhanced desorption of persistent organic pollutants from microplastics under simulated physiological conditions. *Environmental Pollution* 185, 16-23.
- Bandopadhyay, S., Martin-Closas, L., Pelacho, A.M. and DeBruyn, J.M. 2018. Biodegradable plastic mulch films: impacts on soil microbial communities and ecosystem functions. *Frontiers in Microbiology* 9, 819.
- Barnes, D.K., Galgani, F., Thompson, R.C. and Barlaz, M. 2009. Accumulation and fragmentation of plastic debris in global environments. *Philosophical transactions of the royal society B: biological sciences* 364(1526), 1985-1998.
- Barriuso, E., Koskinen, W. and Sorenson, B. 1992. Modification of atrazine desorption during field incubation experiments. *Science of the total environment* 123, 333-344.
- Barron, M.G. and Woodburn, K.B. 1995. Ecotoxicology of chlorpyrifos. *Reviews of Environmental Contamination and Toxicology: Continuation of Residue Reviews*, 1-93.
- Bartoskova, M., Dobsikova, R., Stancova, V., Zivna, D., Blahova, J., Marsalek, P., Zelnickova, L., Bartos, M., Di Tocco, F.C. and Faggio, C. 2013. Evaluation of ibuprofen toxicity for zebrafish (*Danio rerio*) targeting on selected biomarkers of oxidative stress. *Neuroendocrinology Letters* 34(1), 102-108.
- Bele, T.G.D., Neves, T.F., Cristale, J., Prediger, P., Constapel, M. and Dantas, R.F. 2021. Oxidation of microplastics by O<sub>3</sub> and O<sub>3</sub>/H<sub>2</sub>O<sub>2</sub>: Surface modification and adsorption capacity. *Journal of Water Process Engineering* 41.

- Bethsass, J. and Colangelo, A. 2006. European Union bans atrazine, while the United States negotiates continued use. *International journal of occupational and environmental health* 12(3), 260-267.
- Blasing, M. and Amelung, W. 2018. Plastics in soil: Analytical methods and possible sources. *Science of the Total Environment* 612, 422-435.
- Booth, L.H., Heppelthwaite, V.J., Webster, R. and O'Halloran, K. 2001. Lysosomal neutral red retention time as a biomarker of organophosphate exposure in the earthworm *Aporrectodea caliginosa*: Laboratory and semi-field experiments. *Biomarkers* 6(1), 77-82.
- Booth, L.H., Hodge, S. and O'Halloran, K. 2000. Use of cholinesterase in *Aporrectodea caliginosa* (Oligochaeta; Lumbricidae) to detect organophosphate contamination: comparison of laboratory tests, mesocosms, and field studies. *Environmental Toxicology and Chemistry: An International Journal* 19(2), 417-422.
- Boughattas, I., Zitouni, N., Hattab, S., Mkhinini, M., Missawi, O., Helaoui, S., Mokni, M., Bousserrhine, N. and Banni, M. 2022. Interactive effects of environmental microplastics and 2, 4-dichlorophenoxyacetic acid (2, 4-D) on the earthworm *Eisenia andrei*. *Journal of Hazardous Materials* 424, 127578.
- Brown, G.G. and Doube, B.M. (2004) *Earthworm ecology*, pp. 213-239, CRC Press.
- Burken, J.G. and Schnoor, J.L. 1997. Uptake and metabolism of atrazine by poplar trees. *Environmental Science & Technology* 31(5), 1399-1406.
- Butt, K.R., Frederickson, J. and Morris, R.M. 1992. The intensive production of *Lumbricus terrestris* L. for soil amelioration. *Soil Biology and Biochemistry* 24(12), 1321-1325.
- Calderbank, A. 1989. The occurrence and significance of bound pesticide residues in soil. *Reviews of environmental contamination and toxicology*, 71-103.
- Calisi, A., Lionetto, M.G. and Schettino, T. 2011. Biomarker response in the earthworm *Lumbricus terrestris* exposed to chemical pollutants. *Science of the Total Environment* 409(20), 4456-4464.
- Cao, D., Wang, X., Luo, X., Liu, G. and Zheng, H. 2017 Effects of polystyrene microplastics on the fitness of earthworms in an agricultural soil, p. 012148, IOP Publishing.
- Capowiez, Y., Dittbrenner, N., Rault, M., Triebskorn, R., Hedde, M. and Mazzia, C. 2010. Earthworm cast production as a new behavioural biomarker for toxicity testing. *Environmental Pollution* 158(2), 388-393.
- Casabé, N., Piola, L., Fuchs, J., Oneto, M.L., Pamparato, L., Basack, S., Giménez, R., Massaro, R., Papa, J.C. and Kesten, E. 2007. Ecotoxicological assessment of the effects of glyphosate and chlorpyrifos in an Argentine soya field. *Journal of Soils and Sediments* 7(4), 232-239.
- Chambers, J.E., Meek, E.C. and Chambers, H.W. (2010) *Hayes' Handbook of Pesticide Toxicology*, pp. 1399-1407, Elsevier.
- Chen, C., Chen, L., Li, Y., Fu, W., Shi, X., Duan, J. and Zhang, W. 2020a. Impacts of microplastics on organotins' photodegradation in aquatic environments. *Environmental Pollution* 267, 115686.
- Chen, Y., Liu, X., Leng, Y. and Wang, J. 2020b. Defense responses in earthworms (*Eisenia fetida*) exposed to low-density polyethylene microplastics in soils. *Ecotoxicology and environmental safety* 187, 109788.
- Cheng, Y., Zhu, L., Song, W., Jiang, C., Li, B., Du, Z., Wang, J., Wang, J., Li, D. and Zhang, K. 2020. Combined effects of mulch film-derived microplastics and atrazine on oxidative stress and gene expression in earthworm (*Eisenia fetida*). *Science of the Total Environment* 746, 141280.
- Cole, M., Lindeque, P., Halsband, C. and Galloway, T.S. 2011. Microplastics as contaminants in the marine environment: A review. *Marine Pollution Bulletin* 62(12), 2588-2597.
- Cooper, J. and Dobson, H. 2007. The benefits of pesticides to mankind and the environment. *Crop Protection* 26(9), 1337-1348.
- Cortet, J., Gomot-De Vauflery, A., Poinsot-Balaguer, N., Gomot, L., Texier, C. and Cluzeau, D. 1999. The use of invertebrate soil fauna in monitoring pollutant effects. *European Journal of Soil Biology* 35(3), 115-134.
- Demon, M., Schiavon, M., Portal, J.-M. and Munier-Lamy, C. 1994. Seasonal dynamics of atrazine in three soils under outdoor conditions. *Chemosphere* 28(3), 453-466.

- Dempsey, M.A., Fisk, M.C., Yavitt, J.B., Fahey, T.J. and Balser, T.C. 2013. Exotic earthworms alter soil microbial community composition and function. *Soil Biology and Biochemistry* 67, 263-270.
- Dittbrenner, N., Schmitt, H., Capowiez, Y. and Triebeskorn, R. 2011. Sensitivity of *Eisenia fetida* in comparison to *Aporrectodea caliginosa* and *Lumbricus terrestris* after imidacloprid exposure. Body mass change and histopathology. *Journal of Soils and Sediments* 11(6), 1000.
- Dolar, A., Selonen, S., van Gestel, C.A.M., Perc, V., Drobne, D. and Kokalj, A.J. 2021. Microplastics, chlorpyrifos and their mixtures modulate immune processes in the terrestrial crustacean *Porcellio scaber*. *Science of the Total Environment* 772.
- Dongxing, Z., Yucui, N., Congmin, J., Liyan, L., Xiaoli, P. and Xu, C. 2019. Correlation of the oxidative stress indices and Cd exposure using a mathematical model in the earthworm, *Eisenia fetida*. *Chemosphere* 216, 157-167.
- Drake, H.L. and Horn, M.A. 2007. As the worm turns: the earthworm gut as a transient habitat for soil microbial biomes. *Annu. Rev. Microbiol.* 61, 169-189.
- Edwards, C. and Lofty, J. 1972. *Biology of earthworms*.—283 pp. Chapman& Hall, London.
- Edwards, C.A. 2004. The importance of earthworms as key representatives of the soil fauna. *Earthworm ecology* 2, 3-11.
- Ellman, G.L., Courtney, K.D., Andres Jr, V. and Featherstone, R.M. 1961. A new and rapid colorimetric determination of acetylcholinesterase activity. *Biochemical pharmacology* 7(2), 88-95.
- Endo, S. and Koelmans, A.A. (2016) Hazardous chemicals associated with plastics in the marine environment, pp. 185-204, Springer.
- Espi, E., Salmeron, A., Fontecha, A., García, Y. and Real, A. 2006. PLastic films for agricultural applications. *Journal of Plastic Film & Sheeting* 22(2), 85-102.
- Faggio, C., Pagano, M., Alampi, R., Vazzana, I. and Felice, M.R. 2016. Cytotoxicity, haemolympatic parameters, and oxidative stress following exposure to sub-lethal concentrations of quaternium-15 in *Mytilus galloprovincialis*. *Aquatic Toxicology* 180, 258-265.
- Farenhorst, A., Topp, E., Bowman, B. and Tomlin, A. 2000. Earthworms and the dissipation and distribution of atrazine in the soil profile. *Soil Biology and Biochemistry* 32(1), 23-33.
- Fendall, L.S. and Sewell, M.A. 2009. Contributing to marine pollution by washing your face: microplastics in facial cleansers. *Marine pollution bulletin* 58(8), 1225-1228.
- Fonte, E., Ferreira, P. and Guilhermino, L. 2016. Temperature rise and microplastics interact with the toxicity of the antibiotic cefalexin to juveniles of the common goby (*Pomatoschistus microps*): post-exposure predatory behaviour, acetylcholinesterase activity and lipid peroxidation. *Aquatic toxicology* 180, 173-185.
- Foradori, C.D., Zimmerman, A.D., Hinds, L.R., Zuloaga, K.L., Breckenridge, C.B. and Handa, R.J. 2013. Atrazine inhibits pulsatile gonadotropin-releasing hormone (GnRH) release without altering GnRH messenger RNA or protein levels in the female rat. *Biology of reproduction* 88(1), 9, 1-7.
- Fu, H., Xia, Y., Chen, Y., Xu, T., Xu, L., Guo, Z., Xu, H., Xie, H.Q. and Zhao, B. 2018. Acetylcholinesterase is a potential biomarker for a broad spectrum of organic environmental pollutants. *Environmental science & technology* 52(15), 8065-8074.
- Fukuto, T.R. 1990. Mechanism of action of organophosphorus and carbamate insecticides. *Environmental health perspectives* 87, 245-254.
- García-Santos, G. and Keller-Forrer, K. 2011. Avoidance behaviour of *Eisenia fetida* to carbofuran, chlorpyrifos, mancozeb and metamidophos in natural soils from the highlands of Colombia. *Chemosphere* 84(5), 651-656.
- García Fernández, A.J. and Navas Ruiz, I. 2020. Biomarcadores en Toxicología y Ecotoxicología.
- Garrido, S., Linares, M., Campillo, J.A. and Albentosa, M. 2019. Effect of microplastics on the toxicity of chlorpyrifos to the microalgae *Isochrysis galbana*, clone t-ISO. *Ecotoxicology and environmental safety* 173, 103-109.
- Geyer, R., Jambeck, J.R. and Law, K.L. 2017. Production, use, and fate of all plastics ever made. *Science advances* 3(7), e1700782.
- Gilman, A.P. and Vardanis, A. 1974. Carbofuran. Comparative toxicity and metabolism in the worms *Lumbricus terrestris* and *Eisenia foetida*. *Journal of agricultural and food chemistry* 22(4), 625-628.

- Goeran, L., Hubert, R., Gert, R., Birgit, S.-K., Peter, G., Jean-Philippe, P. and Hermann, S. 2010. Considerations on a definition of nanomaterial for regulatory purposes.
- Gornall, A.G., Bardawill, C.J. and David, M.M. 1949. Determination of serum proteins by means of the biuret reaction. *Journal of biological chemistry* 177(2), 751-766.
- Graymore, M., Stagnitti, F. and Allinson, G. 2001. Impacts of atrazine in aquatic ecosystems. *Environment International* 26(7-8), 483-495.
- Gregory, M.R. 1996. Plastic 'scrubbers' in hand cleansers: a further (and minor) source for marine pollution identified. *Marine pollution bulletin* 32(12), 867-871.
- Griffith, B., Türke, M., Weisser, W.W. and Eisenhauer, N. 2013. Herbivore behavior in the anecic earthworm species *Lumbricus terrestris* L.? *European Journal of Soil Biology* 55, 62-65.
- Gysin, H. and Knusli, E. 1960. Chemistry and herbicidal properties of triazine derivatives. *Adv. in Pest Control Res.* 3, 289-353.
- Hagger, J.A., Jones, M.B., Leonard, D.P., Owen, R. and Galloway, T.S. 2006. Biomarkers and integrated environmental risk assessment: are there more questions than answers? *Integrated Environmental Assessment and Management: An International Journal* 2(4), 312-329.
- Haites, N., Don, M. and Masters, C. 1972. Heterogeneity and molecular weight inter-relationships of the esterase isoenzymes of several invertebrate species. *Comparative Biochemistry and Physiology* (2), 303-322.
- Hallam, J. and Hodson, M.E. 2020. Impact of different earthworm ecotypes on water stable aggregates and soil water holding capacity. *Biology and Fertility of Soils* 56(5), 607-617.
- Hanvey, J.S., Lewis, P.J., Lavers, J.L., Crosbie, N.D., Pozo, K. and Clarke, B.O. 2017. A review of analytical techniques for quantifying microplastics in sediments. *Analytical Methods* 9(9), 1369-1383.
- He, D.F., Luo, Y.M., Lu, S.B., Liu, M.T., Song, Y. and Lei, L.L. 2018. Microplastics in soils: Analytical methods, pollution characteristics and ecological risks. *Trac-Trends in Analytical Chemistry* 109, 163-172.
- Helfrich, L.A., Weigmann, D.L., Hipkins, P.A. and Stinson, E.R. 2009. Pesticides and aquatic animals: a guide to reducing impacts on aquatic systems.
- Hernandez, A.F., Gil, F. and Lacasana, M. 2017. Toxicological interactions of pesticide mixtures: an update. *Archives of Toxicology* 91(10), 3211-3223.
- Hess, W.N. 1925. Nervous system of the earthworm, *Lumbricus terrestris* L. *Journal of Morphology* 40(2), 235-259.
- Hickey, W., Fuster, D. and Lamar, R. 1994. Transformation of atrazine in soil by *Phanerochaete chrysosporium*. *Soil Biology and Biochemistry* 26(12), 1665-1671.
- Hincapié, M., Maldonado, M., Oller, I., Gernjak, W., Sánchez-Pérez, J., Ballesteros, M. and Malato, S. 2005. Solar photocatalytic degradation and detoxification of EU priority substances. *Catalysis Today* 101(3-4), 203-210.
- Hodge, S., Webster, K., Booth, L., Hepplethwaite, V. and O'HALLORAN, K. 2000. Non-avoidance of organophosphate insecticides by the earthworm *Aporrectodea caliginosa* (Lumbricidae). *Soil biology & biochemistry* 32(3), 425-428.
- Hodson, M.E., Duffus-Hodson, C.A., Clark, A., Prendergast-Miller, M.T. and Thorpe, K.L. 2017. Plastic Bag Derived-Microplastics as a Vector for Metal Exposure in Terrestrial Invertebrates. *Environmental Science & Technology* 51(8), 4714-4721.
- Horton, A.A., Walton, A., Spurgeon, D.J., Lahive, E. and Svendsen, C. 2017. Microplastics in freshwater and terrestrial environments: Evaluating the current understanding to identify the knowledge gaps and future research priorities. *Science of the Total Environment* 586, 127-141.
- Houot, S., Barriuso, E. and Bergheaud, V. 1998. Modifications to atrazine degradation pathways in a loamy soil after addition of organic amendments. *Soil Biology and Biochemistry* 30(14), 2147-2157.
- Hudu, M., Issifu, A. and Zarouk, I.A. 2021. AN ASSESSMENT OF THE EFFECTS OF HERBICIDES ON THE POPULATION DENSITY OF EARTHWORMS (*LUMBRICUS TERRESTRIS*) IN SOIL.
- Huerta Lwanga, E., Mendoza Vega, J., Ku Quej, V., Chi, J.d.I.A., Sanchez del Cid, L., Chi, C., Escalona Segura, G., Gertsen, H., Salánki, T. and van der Ploeg, M. 2017. Field evidence for transfer of plastic debris along a terrestrial food chain. *Scientific Reports* 7(1), 1-7.

- Hüffer, T., Metzelder, F., Sigmund, G., Slawek, S., Schmidt, T.C. and Hofmann, T. 2019. Polyethylene microplastics influence the transport of organic contaminants in soil. *Science of the Total Environment* 657, 242-247.
- Hüffer, T., Weniger, A.-K. and Hofmann, T. 2018. Sorption of organic compounds by aged polystyrene microplastic particles. *Environmental Pollution* 236, 218-225.
- Isensee, A.R. and Sadeghi, A.M. 1994. Effects of tillage and rainfall on atrazine residue levels in soil. *Weed Science* 42(3), 462-467.
- Jager, T., Fleuren, R.H., Hogendoorn, E.A. and De Korte, G. 2003. Elucidating the routes of exposure for organic chemicals in the earthworm, *Eisenia andrei* (Oligochaeta). *Environmental science & technology* 37(15), 3399-3404.
- Jouquet, P., Dauber, J., Lagerlöf, J., Lavelle, P. and Lepage, M. 2006. Soil invertebrates as ecosystem engineers: intended and accidental effects on soil and feedback loops. *Applied soil ecology* 32(2), 153-164.
- Karlsson, A.S., Weihermüller, L., Tappe, W., Mukherjee, S. and Spielvogel, S. 2016. Field scale bosalid residues and dissipation half-life estimation in a sandy soil. *Chemosphere* 145, 163-173.
- Kaufman, D. and Kearney, P. 1970. Microbial degradation of s-triazine herbicides. Single Pesticide Volume: The Triazine Herbicides, 235-265.
- Khan, S. (1978) Developments in soil science, pp. 137-171, Elsevier.
- Khan, S.U. and Saidak, W.J. 1981. RESIDUES OF ATRAZINE AND ITS METABOLITES AFTER PROLONGED USAGE. *Weed Research* 21(1), 9-12.
- Kim, D., Chae, Y. and An, Y.-J. 2017. Mixture toxicity of nickel and microplastics with different functional groups on *Daphnia magna*. *Environmental science & technology* 51(21), 12852-12858.
- Kim, Y.N., Yoon, J.H. and Kim, K.H. 2020. Microplastic contamination in soil environment - a review. *Soil Science Annual* 71(4), 300-308.
- Kizilkaya, R., Karaca, A., Turgay, O.C. and Cetin, S.C. (2011) Biology of earthworms, pp. 141-158, Springer.
- Koelmans, A.A., Bakir, A., Burton, G.A. and Janssen, C.R. 2016. Microplastic as a vector for chemicals in the aquatic environment: critical review and model-supported reinterpretation of empirical studies. *Environmental science & technology* 50(7), 3315-3326.
- Kucka, M., Pogrnic-Majkic, K., Fa, S., Stojilkovic, S.S. and Kovacevic, R. 2012. Atrazine acts as an endocrine disrupter by inhibiting cAMP-specific phosphodiesterase-4. *Toxicology and Applied Pharmacology* 265(1), 19-26.
- Kumar, V., Upadhyay, N., Singh, S., Singh, J. and Kaur, P. 2013. Thin-layer chromatography: comparative estimation of soil's atrazine. *Current World Environment* 8(3), 469.
- Kwak, J.I. and An, Y.-J. 2021. Microplastic digestion generates fragmented nanoplastics in soils and damages earthworm spermatogenesis and coelomocyte viability. *Journal of Hazardous Materials* 402, 124034.
- Lan, J., Jia, J., Liu, A., Yu, Z. and Zhao, Z. 2019. Pollution levels of banned and non-banned pesticides in surface sediments from the East China Sea. *Marine pollution bulletin* 139, 332-338.
- Lanno, R., Wells, J., Conder, J., Bradham, K. and Basta, N. 2004. The bioavailability of chemicals in soil for earthworms. *Ecotoxicology and environmental safety* 57(1), 39-47.
- Larché, J.-F., Bussière, P.-O., Therias, S. and Gardette, J.-L. 2012. Photooxidation of polymers: Relating material properties to chemical changes. *Polymer Degradation and Stability* 97(1), 25-34.
- Laws, S.C., Ferrell, J.M., Stoker, T.E., Schmid, J. and Cooper, R.L. 2000. The effects of atrazine on female Wistar rats: an evaluation of the protocol for assessing pubertal development and thyroid function. *Toxicological sciences* 58(2), 366-376.
- Lee, K.E. (1985) Earthworms: their ecology and relationships with soils and land use, Academic Press Inc.
- Lei, L., Liu, M., Song, Y., Lu, S., Hu, J., Cao, C., Xie, B., Shi, H. and He, D. 2018. Polystyrene (nano) microplastics cause size-dependent neurotoxicity, oxidative damage and other adverse effects in *Caenorhabditis elegans*. *Environmental Science: Nano* 5(8), 2009-2020.
- Li, H., Wang, F., Li, J., Deng, S. and Zhang, S. 2021. Adsorption of three pesticides on polyethylene microplastics in aqueous solutions: Kinetics, isotherms, thermodynamics, and molecular dynamics simulation. *Chemosphere* 264, 128556.

- Li, J., Zhang, K. and Zhang, H. 2018. Adsorption of antibiotics on microplastics. *Environmental Pollution* 237, 460-467.
- Lin, J., Li, H.-X., Qin, L., Du, Z.-H., Xia, J. and Li, J.-L. 2016a. A novel mechanism underlies atrazine toxicity in quails (*Coturnix Coturnix coturnix*): triggering ionic disorder via disruption of ATPases. *Oncotarget* 7(51), 83880.
- Lin, J., Li, H.-X., Xia, J., Li, X.-N., Jiang, X.-Q., Zhu, S.-Y., Ge, J. and Li, J.-L. 2016b. The chemopreventive potential of lycopene against atrazine-induced cardiotoxicity: modulation of ionic homeostasis. *Scientific reports* 6(1), 1-12.
- Lionetto, M., Caricato, R., Calisi, A. and Schettino, T. 2011. Acetylcholinesterase inhibition as a relevant biomarker in environmental biomonitoring: new insights and perspectives. *Ecotoxicology around the globe*, 87-115.
- Liu, E., He, W. and Yan, C. 2014a. 'White revolution' to 'white pollution'—agricultural plastic film mulch in China. *Environmental Research Letters* 9(9), 091001.
- Liu, G., Zhu, Z., Yang, Y., Sun, Y., Yu, F. and Ma, J. 2019a. Sorption behavior and mechanism of hydrophilic organic chemicals to virgin and aged microplastics in freshwater and seawater. *Environmental Pollution* 246, 26-33.
- Liu, M., Lu, S., Song, Y., Lei, L., Hu, J., Lv, W., Zhou, W., Cao, C., Shi, H. and Yang, X. 2018. Microplastic and mesoplastic pollution in farmland soils in suburbs of Shanghai, China. *Environmental Pollution* 242, 855-862.
- Liu, X., Li, W.-J., Li, L., Yang, Y., Mao, L.-G. and Peng, Z. 2014b. A label-free electrochemical immunosensor based on gold nanoparticles for direct detection of atrazine. *Sensors and Actuators B: Chemical* 191, 408-414.
- Liu, X., Shi, H., Xie, B., Dionysiou, D.D. and Zhao, Y. 2019b. Microplastics as both a sink and a source of bisphenol A in the marine environment. *Environmental Science & Technology* 53(17), 10188-10196.
- Liu, Y., Xu, G. and Yu, Y. 2022. Effects of polystyrene microplastics on accumulation of pyrene by earthworms. *Chemosphere* 296, 134059.
- Luís, L.G., Ferreira, P., Fonte, E., Oliveira, M. and Guilhermino, L. 2015. Does the presence of microplastics influence the acute toxicity of chromium (VI) to early juveniles of the common goby (*Pomatoschistus microps*)? A study with juveniles from two wild estuarine populations. *Aquatic Toxicology* 164, 163-174.
- Lwanga, E.H., Gertsen, H., Gooren, H., Peters, P., Salanki, T., van der Ploeg, M., Besseling, E., Koelmans, A.A. and Geissen, V. 2016. Microplastics in the Terrestrial Ecosystem: Implications for *Lumbricus terrestris* (Oligochaeta, Lumbricidae). *Environmental Science & Technology* 50(5), 2685-2691.
- Lwanga, E.H., Gertsen, H., Gooren, H., Peters, P., Salanki, T., van der Ploeg, M., Besseling, E., Koelmans, A.A. and Geissen, V. 2017. Incorporation of microplastics from litter into burrows of *Lumbricus terrestris*. *Environmental Pollution* 220, 523-531.
- Lwanga, E.H., Thapa, B., Yang, X.M., Gertsen, H., Salanki, T., Geissen, V. and Garbeva, P. 2018. Decay of low-density polyethylene by bacteria extracted from earthworm's guts: A potential for soil restoration. *Science of the Total Environment* 624, 753-757.
- Mahler, B.J., Van Metre, P.C., Burley, T.E., Loftin, K.A., Meyer, M.T. and Nowell, L.H. 2017. Similarities and differences in occurrence and temporal fluctuations in glyphosate and atrazine in small Midwestern streams (USA) during the 2013 growing season. *Science of the Total Environment* 579, 149-158.
- Mahmood, I., Imadi, S.R., Shazadi, K., Gul, A. and Hakeem, K.R. (2016) Plant, soil and microbes, pp. 253-269, Springer.
- Mamani Alejo, M. 2019. El uso de *Lumbricus terrestris* como bioindicador de suelos contaminados.
- Man, L. and Zucong, C. 2009. Effects of chlorothalonil and carbendazim on nitrification and denitrification in soils. *Journal of Environmental Sciences* 21(4), 458-467.
- Maqbool, F., Mostafalou, S., Bahadar, H. and Abdollahi, M. 2016. Review of endocrine disorders associated with environmental toxicants and possible involved mechanisms. *Life sciences* 145, 265-273.

- Marques, C., Pereira, R. and Gonçalves, F. 2009. Using earthworm avoidance behaviour to assess the toxicity of formulated herbicides and their active ingredients on natural soils. *Journal of Soils and Sediments* 9(2), 137-147.
- Massoulié, J., Pezzementi, L., Bon, S., Krejci, E. and Vallette, F.-M. 1993. Molecular and cellular biology of cholinesterases. *Progress in neurobiology* 41(1), 31-91.
- Mato, Y., Isobe, T., Takada, H., Kanehiro, H., Otake, C. and Kaminuma, T. 2001. Plastic resin pellets as a transport medium for toxic chemicals in the marine environment. *Environmental science & technology* 35(2), 318-324.
- Miao, J., Chen, X., Xu, T., Yin, D., Hu, X. and Sheng, G.D. 2018. Bioaccumulation, distribution and elimination of lindane in *Eisenia foetida*: the aging effect. *Chemosphere* 190, 350-357.
- Morcillo, S.M., Yela, J.L., Capowiez, Y., Mazzia, C., Rault, M. and Sanchez-Hernandez, J.C. 2013. Avoidance behaviour response and esterase inhibition in the earthworm, *Lumbricus terrestris*, after exposure to chlorpyrifos. *Ecotoxicology* 22(4), 597-607.
- Morgan, A., Stürzenbaum, S., Winters, C., Grime, G., Aziz, N.A.A. and Kille, P. 2004. Differential metallothionein expression in earthworm (*Lumbricus rubellus*) tissues. *Ecotoxicology and Environmental Safety* 57(1), 11-19.
- Mosleh, Y.Y., Paris-Palacios, S., Couderchet, M. and Vernet, G. 2003. Effects of the herbicide isoproturon on survival, growth rate, and protein content of mature earthworms (*Lumbricus terrestris* L.) and its fate in the soil. *Applied Soil Ecology* 23(1), 69-77.
- Müller, A., Becker, R., Dorgerloh, U., Simon, F.-G. and Braun, U. 2018. The effect of polymer aging on the uptake of fuel aromatics and ethers by microplastics. *Environmental Pollution* 240, 639-646.
- Muñoz-Quezada, M.T., Lucero, B., Iglesias, V. and Muñoz, M.P. 2014. Vías de exposición a plaguicidas en escolares de la Provincia de Talca, Chile. *Gaceta sanitaria* 28(3), 190-195.
- Nerin, C., Tornés, A., Domeno, C. and Cacho, J. 1996. Absorption of pesticides on plastic films used as agricultural soil covers. *Journal of Agricultural and Food Chemistry* 44(12), 4009-4014.
- Nousiainen, A.O., Björklöf, K., Sagarkar, S., Nielsen, J.L., Kapley, A. and Jørgensen, K.S. 2015. Bioremediation strategies for removal of residual atrazine in the boreal groundwater zone. *Applied microbiology and biotechnology* 99(23), 10249-10259.
- Ochoa-Acuña, H., Frankenberger, J., Hahn, L. and Carbajo, C. 2009. Drinking-water herbicide exposure in Indiana and prevalence of small-for-gestational-age and preterm delivery. *Environmental health perspectives* 117(10), 1619-1624.
- Pandey, P.C. and Singh, G. 2001. Tetraphenylborate doped polyaniline based novel pH sensor and solid-state urea biosensor. *Talanta* 55(4), 773-782.
- Paoletti, M.G. 1999. The role of earthworms for assessment of sustainability and as bioindicators. *Agriculture, Ecosystems & Environment* 74(1-3), 137-155.
- Park, J.-H., Feng, Y., Cho, S.Y., Voice, T.C. and Boyd, S.A. 2004. Sorbed atrazine shifts into non-desorbable sites of soil organic matter during aging. *Water Research* 38(18), 3881-3892.
- Pathak, R.K. and Dikshit, A.K. 2012. Effect of various environmental parameters on biosorptive removal of atrazine from WaterEnvironment. *International journal of environmental science and development* 3(3), 289.
- Pathan, S.I., Arfaioli, P., Bardelli, T., Ceccherini, M.T., Nannipieri, P. and Pietramellara, G. 2020. Soil Pollution from Micro- and Nanoplastics Debris: A Hidden and Unknown Biohazard. *Sustainability* 12(18), 7255.
- Peakall, D.B. 1994. The role of biomarkers in environmental assessment (1). Introduction. *Ecotoxicology* 3(3), 157-160.
- Pelosi, C., Barot, S., Capowiez, Y., Hedde, M. and Vandenbulcke, F. 2014. Pesticides and earthworms. A review. *Agronomy for Sustainable Development* 34(1), 199-228.
- Perreault, J.M. and Whalen, J.K. 2006. Earthworm burrowing in laboratory microcosms as influenced by soil temperature and moisture. *Pedobiologia* 50(5), 397-403.
- Picco, E.J., Boggio, J.C. and Rodríguez, C. 2010. CLORPIRIFÓS: EFECTOS SOBRE LAS ESTERASAS Y REPERCUSIÓN TOXICOLÓGICA SOBRE LOS SERES VIVOS. Panorama actual del medicamento 34(336), 679.

- Prendergast-Miller, M.T., Katsiamides, A., Abbass, M., Sturzenbaum, S.R., Thorpe, K.L. and Hodson, M.E. 2019. Polyester-derived microfibre impacts on the soil-dwelling earthworm *Lumbricus terrestris*. *Environmental Pollution* 251, 453-459.
- Prentø, P. 1987. Distribution of 20 enzymes in the midgut region of the earthworm, *Lumbricus terrestris* L., with particular emphasis on the physiological role of the chloragog tissue. *Comparative Biochemistry and Physiology Part A: Physiology* 87(1), 135-142.
- Prokić, M.D., Radovanović, T.B., Gavrić, J.P. and Faggio, C. 2019. Ecotoxicological effects of microplastics: Examination of biomarkers, current state and future perspectives. *TrAC Trends in analytical chemistry* 111, 37-46.
- Radosevich, M., Traina, S.J. and Tuovinen, O.H. 1997. Atrazine mineralization in laboratory-aged soil microcosms inoculated with s-triazine-degrading bacteria, Wiley Online Library.
- Raju, S., Carbery, M., Kuttykattil, A., Senathirajah, K., Subashchandrabose, S., Evans, G. and Thavamani, P. 2018. Transport and fate of microplastics in wastewater treatment plants: implications to environmental health. *Reviews in Environmental Science and Bio/Technology* 17(4), 637-653.
- Rault, M., Collange, B., Mazzia, C. and Capowiez, Y. 2008. Dynamics of acetylcholinesterase activity recovery in two earthworm species following exposure to ethyl-parathion. *Soil biology and biochemistry* 40(12), 3086-3091.
- Rault, M., Mazzia, C. and Capowiez, Y. 2007. Tissue distribution and characterization of cholinesterase activity in six earthworm species. *Comparative Biochemistry and Physiology Part B: Biochemistry and Molecular Biology* 147(2), 340-346.
- Rayner, J.L., Enoch, R.R. and Fenton, S.E. 2005. Adverse effects of prenatal exposure to atrazine during a critical period of mammary gland growth. *Toxicological Sciences* 87(1), 255-266.
- Regoli, F. and Giuliani, M.E. 2014. Oxidative pathways of chemical toxicity and oxidative stress biomarkers in marine organisms. *Marine environmental research* 93, 106-117.
- Rillig, M.C., Ziersch, L. and Hempel, S. 2017. Microplastic transport in soil by earthworms. *Scientific Reports* 7.
- Rinsky, J.L., Hopenhayn, C., Golla, V., Browning, S. and Bush, H.M. 2012. Atrazine exposure in public drinking water and preterm birth. *Public health reports* 127(1), 72-80.
- Rodríguez-Seijo, A., da Costa, J.P., Rocha-Santos, T., Duarte, A.C. and Pereira, R. 2018. Oxidative stress, energy metabolism and molecular responses of earthworms (*Eisenia fetida*) exposed to low-density polyethylene microplastics. *Environmental Science and Pollution Research* 25(33), 33599-33610.
- Rodriguez-Seijo, A., Lourenco, J., Rocha-Santos, T.A.P., da Costa, J., Duarte, A.C., Vala, H. and Pereira, R. 2017. Histopathological and molecular effects of microplastics in *Eisenia andrei* Bouche. *Environmental Pollution* 220, 495-503.
- Salazar-Ledesma, M., Prado, B., Zamora, O. and Siebe, C. 2018. Mobility of atrazine in soils of a wastewater irrigated maize field. *Agriculture, ecosystems & environment* 255, 73-83.
- Sanchez-Hernandez, J. 2006. Earthworm biomarkers in ecological risk assessment. *Reviews of environmental contamination and toxicology*, 85-126.
- Sanchez-Hernandez, J.C. 2021. A toxicological perspective of plastic biodegradation by insect larvae. *Comparative Biochemistry and Physiology Part C: Toxicology & Pharmacology* 248, 109117.
- Sanchez-Hernandez, J.C., del Pino, J.N., Capowiez, Y., Mazzia, C. and Rault, M. 2018a. Soil enzyme dynamics in chlorpyrifos-treated soils under the influence of earthworms. *Science of the Total Environment* 612, 1407-1416.
- Sanchez-Hernandez, J.C., Mazzia, C., Capowiez, Y. and Rault, M. 2009. Carboxylesterase activity in earthworm gut contents: Potential (eco) toxicological implications. *Comparative Biochemistry and Physiology C-Toxicology & Pharmacology* 150(4), 503-511.
- Sanchez-Hernandez, J.C., Ríos, J.M. and Attademo, A.M. 2018b. Response of digestive enzymes and esterases of ecotoxicological concern in earthworms exposed to chlorpyrifos-treated soils. *Ecotoxicology* 27(7), 890-899.
- Sanchez-Hernandez, J.C., Ro, K.S., Szogi, A.A., Chang, S. and Park, B. 2021. Earthworms increase the potential for enzymatic bio-activation of biochars made from co-pyrolyzing animal manures and plastic wastes. *Journal of Hazardous Materials* 408, 124405.

- Sanchez-Hernandez, J.C. and Wheelock, C.E. 2009. Tissue distribution, isozyme abundance and sensitivity to chlorpyrifos-oxon of carboxylesterases in the earthworm *Lumbricus terrestris*. Environmental Pollution 157(1), 264-272.
- SANZ, P. and REPETTO, M. 1995. Implicaciones toxicológicas. Toxicología avanzada, 117.
- Sarkar, A., Ray, D., Shrivastava, A.N. and Sarker, S. 2006. Molecular biomarkers: their significance and application in marine pollution monitoring. Ecotoxicology 15, 333-340.
- Scheunert, I. 1992. Transformation and degradation of pesticides in soil. Chemistry of Plant Protection (Germany, FR).
- Schmidel, A.J., Assmann, K.L., Werlang, C.C., Bertoncello, K.T., Francescon, F., Rambo, C.L., Beltrame, G.M., Calegari, D., Batista, C.B. and Blaser, R.E. 2014. Subchronic atrazine exposure changes defensive behaviour profile and disrupts brain acetylcholinesterase activity of zebrafish. Neurotoxicology and teratology 44, 62-69.
- Schmolke, A., Thorbek, P., Chapman, P. and Grimm, V. 2010. Ecological models and pesticide risk assessment: current modeling practice. Environmental Toxicology and Chemistry: An International Journal 29(4), 1006-1012.
- Schreck, E., Geret, F., Gontier, L. and Treilhou, M. 2008. Neurotoxic effect and metabolic responses induced by a mixture of six pesticides on the earthworm *Aporrectodea caliginosa nocturna*. Chemosphere 71(10), 1832-1839.
- Servicio Agricola y Ganadero (SAG). 2019. Declaración de ventas de plaguicidas de uso agrícola año 2019. [en línea] [https://www.sag.gob.cl/sites/default/files/declaracion\\_de\\_ventas\\_de\\_plaguicidas\\_ano\\_2019\\_0.pdf](https://www.sag.gob.cl/sites/default/files/declaracion_de_ventas_de_plaguicidas_ano_2019_0.pdf) f. [Consulta: 26 octubre de 2023].
- Sharifinia, M., Bahmanbeigloo, Z.A., Keshavarzifard, M., Khanjani, M.H. and Lyons, B.P. 2020. Microplastic pollution as a grand challenge in marine research: a closer look at their adverse impacts on the immune and reproductive systems. Ecotoxicology and Environmental Safety 204, 111109.
- Shi, Y., Zhang, Q., Huang, D., Zheng, X. and Shi, Y. 2016. Survival, growth, detoxifying and antioxidative responses of earthworms (*Eisenia fetida*) exposed to soils with industrial DDT contamination. Pesticide biochemistry and physiology 128, 22-29.
- Silva, A.B., Bastos, A.S., Justino, C.I., da Costa, J.P., Duarte, A.C. and Rocha-Santos, T.A. 2018. Microplastics in the environment: Challenges in analytical chemistry-A review. Analytica chimica acta 1017, 1-19.
- Sims, R.W. and Gerard, B.M. (1999) Earthworms: Notes for the identification of British species, Linnean Society of London and the Estuarine and Coastal Sciences Association.
- Singh, S., Kumar, V., Chauhan, A., Datta, S., Wani, A.B., Singh, N. and Singh, J. 2018. Toxicity, degradation and analysis of the herbicide atrazine. Environmental chemistry letters 16(1), 211-237.
- Sogorb, M.A. and Vilanova, E. 2011. Detoxication of anticholinesterase pesticides. Anticholinesterase Pesticides Hoboken, New Jersey, 121-132.
- Song, Y., Zhu, L., Wang, J., Wang, J., Liu, W. and Xie, H. 2009. DNA damage and effects on antioxidative enzymes in earthworm (*Eisenia foetida*) induced by atrazine. Soil Biology and Biochemistry 41(5), 905-909.
- Steinmetz, Z., Wollmann, C., Schaefer, M., Buchmann, C., David, J., Tröger, J., Muñoz, K., Frör, O. and Schaumann, G.E. 2016. Plastic mulching in agriculture. Trading short-term agronomic benefits for long-term soil degradation? Science of the total environment 550, 690-705.
- Stellin, F., Gavinelli, F., Stevanato, P., Concheri, G., Squartini, A. and Paoletti, M.G. 2018. Effects of different concentrations of glyphosate (Roundup 360<sup>®</sup>) on earthworms (*Octodrilus complanatus*, *Lumbricus terrestris* and *Aporrectodea caliginosa*) in vineyards in the North-East of Italy. Applied soil ecology 123, 802-808.
- Stenersen, J., Gilman, A. and Vardanis, A. 1974. Carbofuran: Its Toxicity to and Metabolism by Earthworm. Journal of Agricultural and Food Chemistry 22(2), 342-342.
- Su, Y.-H. and Zhu, Y.-G. 2006. Bioconcentration of atrazine and chlorophenols into roots and shoots of rice seedlings. Environmental Pollution 139(1), 32-39.
- Sultatos, L.G. (2006) Toxicology of organophosphate & carbamate compounds, pp. 209-218, Elsevier.

- Tang, Y., Liu, Y., Chen, Y., Zhang, W., Zhao, J., He, S., Yang, C., Zhang, T., Tang, C. and Zhang, C. 2021. A review: Research progress on microplastic pollutants in aquatic environments. *Science of The Total Environment* 766, 142572.
- Tao, J., Griffiths, B., Zhang, S., Chen, X., Liu, M., Hu, F. and Li, H. 2009. Effects of earthworms on soil enzyme activity in an organic residue amended rice–wheat rotation agro-ecosystem. *Applied Soil Ecology* 42(3), 221-226.
- Teuten, E.L., Rowland, S.J., Galloway, T.S. and Thompson, R.C. 2007. Potential for plastics to transport hydrophobic contaminants. *Environmental science & technology* 41(22), 7759-7764.
- Thompson, R.C., Swan, S.H., Moore, C.J. and Vom Saal, F.S. 2009 Our plastic age, pp. 1973-1976, The Royal Society Publishing.
- Tomlin, A., Protz, R., Martin, R., McCabe, D. and Lagace, R. (1993) Soil structure/soil biota interrelationships, pp. 89-103, Elsevier.
- Trestrail, C., Nugegoda, D. and Shimeta, J. 2020. Invertebrate responses to microplastic ingestion: Reviewing the role of the antioxidant system. *Science of The Total Environment* 734, 138559.
- van den Berg, P., Huerta-Lwanga, E., Corradini, F. and Geissen, V. 2020. Sewage sludge application as a vehicle for microplastics in eastern Spanish agricultural soils. *Environmental Pollution* 261, 114198.
- Van Dyk, J.S. and Pletschke, B. 2011. Review on the use of enzymes for the detection of organochlorine, organophosphate and carbamate pesticides in the environment. *Chemosphere* 82(3), 291-307.
- Van Gestel, C. and Van Brummelen, T. 1996. Incorporation of the biomarker concept in ecotoxicology calls for a redefinition of terms. *Ecotoxicology* 5(4), 217-225.
- Vejares, S.G., Sabat, P. and Sanchez-Hernandez, J.C. 2010. Tissue-specific inhibition and recovery of esterase activities in *Lumbricus terrestris* experimentally exposed to chlorpyrifos. *Comparative Biochemistry and Physiology C-Toxicology & Pharmacology* 151(3), 351-359.
- Vijver, M.G., Wolterbeek, H.T., Vink, J.P. and van Gestel, C.A. 2005. Surface adsorption of metals onto the earthworm *Lumbricus rubellus* and the isopod *Porcellio scaber* is negligible compared to absorption in the body. *Science of the Total Environment* 340(1-3), 271-280.
- Wagner, M. and Lambert, S. (2018) Freshwater microplastics: emerging environmental contaminants?, Springer Nature.
- Wang, J.-h., Zhu, L.-s., Liu, W., Wang, J. and Xie, H. 2012. Biochemical responses of earthworm (*Eisenia foetida*) to the pesticides chlorpyrifos and fenvalerate. *Toxicology Mechanisms and Methods* 22(3), 236-241.
- Wang, T., Yu, C., Chu, Q., Wang, F., Lan, T. and Wang, J. 2020. Adsorption behavior and mechanism of five pesticides on microplastics from agricultural polyethylene films. *Chemosphere* 244, 125491.
- Wheelock, C.E., Eder, K.J., Werner, I., Huang, H., Jones, P.D., Brammell, B.F., Elskus, A.A. and Hammock, B.D. 2005. Individual variability in esterase activity and CYP1A levels in Chinook salmon (*Oncorhynchus tshawytscha*) exposed to esfenvalerate and chlorpyrifos. *Aquatic Toxicology* 74(2), 172-192.
- Wheelock, C.E. and Nakagawa, Y. 2010. Carboxylesterases—from function to the field: an overview of carboxylesterase biochemistry, structure–activity relationship, and use in environmental field monitoring. *Journal of Pesticide Science*, 1007140146-1007140146.
- Wheelock, C.E., Phillips, B.M., Anderson, B.S., Miller, J.L., Miller, M.J. and Hammock, B.D. 2008. Applications of carboxylesterase activity in environmental monitoring and toxicity identification evaluations (TIEs). *Reviews of environmental contamination and toxicology*, 117-178.
- Wirbisky, S.E. and Freeman, J.L. 2015. Atrazine exposure and reproductive dysfunction through the hypothalamus-pituitary-gonadal (HPG) axis. *Toxics* 3(4), 414-450.
- Wirbisky, S.E., Weber, G.J., Schlotman, K.E., Sepúlveda, M.S. and Freeman, J.L. 2016. Embryonic atrazine exposure alters zebrafish and human miRNAs associated with angiogenesis, cancer, and neurodevelopment. *Food and Chemical Toxicology* 98, 25-33.
- Worrall, F., Parker, A., Rae, J. and Johnson, A. 1997. The role of earthworm burrows in pesticide transport from ploughlands. *Toxicological & Environmental Chemistry* 61(1-4), 211-222.
- Wu, P., Tang, Y., Jin, H., Song, Y., Liu, Y. and Cai, Z. 2020. Consequential fate of bisphenol-attached PVC microplastics in water and simulated intestinal fluids. *Environmental Science and Ecotechnology* 2, 100027.

- Ya, H.B., Jiang, B., Xing, Y., Zhang, T., Lv, M.J. and Wang, X. 2021. Recent advances on ecological effects of microplastics on soil environment. *Science of the Total Environment* 798.
- Yu, X., Ladewig, S., Bao, S., Toline, C.A., Whitmire, S. and Chow, A.T. 2018. Occurrence and distribution of microplastics at selected coastal sites along the southeastern United States. *Science of the Total Environment* 613, 298-305.
- Zahra, S., Abbas, S.S., Mahsa, M.-T. and Mohsen, N. 2010. Biodegradation of low-density polyethylene (LDPE) by isolated fungi in solid waste medium. *Waste management* 30(3), 396-401.
- Zhang, M., Zhang, Y., Wang, W., Cui, W., Wang, L., Sun, H. and Liu, C. 2022. Combined effects of microplastics and other contaminants on earthworms: A critical review. *Applied Soil Ecology* 180, 104626.
- Zhou, D., Ning, Y., Wang, B., Wang, G., Su, Y., Li, L. and Wang, Y. 2016. Study on the influential factors of Cd<sup>2+</sup> on the earthworm *Eisenia fetida* in oxidative stress based on factor analysis approach. *Chemosphere* 157, 181-189.
- Zhou, R., Lu, G., Yan, Z., Jiang, R., Bao, X. and Lu, P. 2020a. A review of the influences of microplastics on toxicity and transgenerational effects of pharmaceutical and personal care products in aquatic environment. *Science of the Total Environment* 732, 139222.
- Zhou, Y., Liu, X. and Wang, J. 2020b. Ecotoxicological effects of microplastics and cadmium on the earthworm *Eisenia foetida*. *Journal of hazardous materials* 392, 122273.
- Zhu, D., Chen, Q.L., An, X.L., Yang, X.R., Christie, P., Ke, X., Wu, L.H. and Zhu, Y.G. 2018. Exposure of soil collembolans to microplastics perturbs their gut microbiota and alters their isotopic composition. *Soil Biology & Biochemistry* 116, 302-310.
- Zhu, L., Li, B., Wu, R., Li, W., Wang, J., Wang, J., Du, Z., Juhasz, A. and Zhu, L. 2020. Acute toxicity, oxidative stress and DNA damage of chlorpyrifos to earthworms (*Eisenia fetida*): The difference between artificial and natural soils. *Chemosphere* 255, 126982.
- Zitko, V. and Hanlon, M. 1991. Another source of pollution by plastics: skin cleaners with plastic scrubbers. *Marine pollution bulletin* 22(1), 41-42.

## 7. ANEXOS

Anexo 1: tablas relacionadas a la cuantificación de atrazina adsorbida a los MPs

| Botella                   | Volumen (L) | Peso real de MP | Volumen extraído | Volumen final (L) |
|---------------------------|-------------|-----------------|------------------|-------------------|
| 1 (2g, 2 días)            | 0,1         | 2,002           | 0,002            | 0,098             |
| 2 (2g, 2 días, dup)       | 0,1         | 2,012           | 0,002            | 0,098             |
| 3 (2g, 1 sem)             | 0,1         | 2,001           | 0,002            | 0,098             |
| 4 (2g, 1 sem, dup)        | 0,1         | 2,0017          | 0,002            | 0,098             |
| 5 (2g, 2 sem)             | 0,1         | 2,0046          | 0,002            | 0,098             |
| 6 (2g, 2 sem, dup)        | 0,1         | 2,007           | 0,002            | 0,098             |
| 7 (5g, 1 sem y 2 sem)     | 0,1         | 5,0084          | 0,004            | 0,096             |
| 8 (5g, 1 sem y 2 sem dup) | 0,1         | 5,0093          | 0,004            | 0,096             |
| 9 (control)               | 0,1         | -               | 0,006            | 0,094             |
| 10 (control) dup          | 0,1         | -               | 0,0055           | 0,0945            |

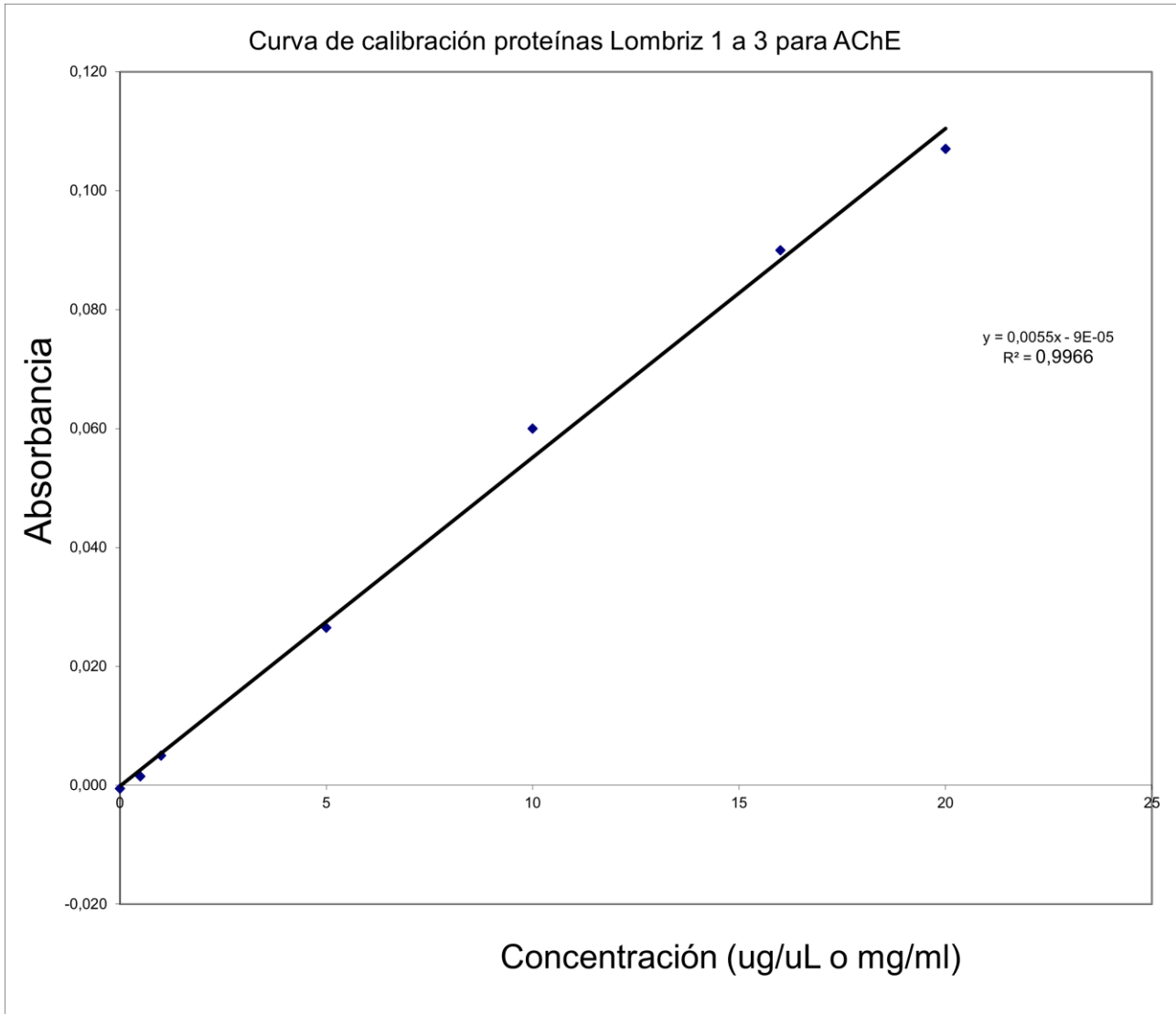
| Botella                   | Cantidad de atrazina remanente en solución |            |            |
|---------------------------|--|------------|------------|
|                           | 02-12-2022                                 | 07-12-2022 | 14-12-2022 |
| 1 (2g, 2 días)            | 0,482                                      |            |            |
| 2 (2g, 2 días, dup)       | 0,486                                      |            |            |
| 3 (2g, 1 sem)             |  | 0,485      |            |
| 4 (2g, 1 sem, dup)        |  | 0,484      |            |
| 5 (2g, 2 sem)             |  |            | 0,489      |
| 6 (2g, 2 sem, dup)        |  |            | 0,482      |
| 7 (5g, 1 sem y 2 sem)     |  | 0,478      | 0,478      |
| 8 (5g, 1 sem y 2 sem dup) |  | 0,471      | 0,479      |
| 9 (control)               | 0,494                                      | 0,494      | 0,508      |
| 10 (control) dup          | 0,499                                      | 0,499      | 0,495      |

Anexo 2: Curvas de calibración, tablas con datos de absorbancias y cálculo de actividad enzimática de AChE para los distintos órganos (VS, BM, IA, IM, PM) disecados de *L. terrestris* (n=36).

### Curva Calibración proteínas

| Concentración | Abs-1 | Abs-2 | Promedio | Abs-blank | concentración | absorbancia |
|---------------|-------|-------|----------|-----------|---------------|-------------|
| 0             | 0,06  | 0,057 | 0,059    | -0,001    | 0             | -0,001      |
| 0,5           | 0,06  | 0,061 | 0,061    | 0,002     | 0,5           | 0,002       |

|               |       |       |       |       |    |       |
|---------------|-------|-------|-------|-------|----|-------|
| <b>1</b>      | 0,065 | 0,063 | 0,064 | 0,005 | 1  | 0,005 |
| <b>5</b>      | 0,092 | 0,079 | 0,086 | 0,027 | 5  | 0,027 |
| <b>10</b>     | 0,117 | 0,121 | 0,119 | 0,060 | 10 | 0,060 |
| <b>16</b>     | 0,152 | 0,146 | 0,149 | 0,090 | 16 | 0,090 |
| <b>20</b>     | 0,167 | 0,165 | 0,166 | 0,107 | 20 | 0,107 |
| <b>BLANCO</b> | 0,06  | 0,058 | 0,059 |       |    |       |



| Lombriz N°1 a 3 | INICIAL-FINAL (delta abs) | ABS*MIN (primer paso) | PROTEINAS   |            |             |            |            |            | UI/mg proteína         |
|-----------------|---------------------------|-----------------------|-------------|------------|-------------|------------|------------|------------|------------------------|
| BLK 1           | 0,022                     | 0,001833333           |             |            |             |            |            |            |                        |
| BLK 2           | 0,023                     | 0,001916667           |             |            |             |            |            |            |                        |
| BLK 3           | 0,009                     | 0,00075               | 0,0015      | 0,00065085 |             |            |            |            |                        |
| SPL1 1          | 0,06                      | 0,005                 |             |            |             |            |            |            |                        |
| SPL1 2          | 0,081                     | 0,00675               |             |            |             |            |            |            |                        |
| SPL1 3          | -0,248                    | -0,02066667           | -0,00297222 | 0,0153488  | -0,00447222 | -0,03      | 0,01481818 | 269,93865  | -0,00710133 0,71013272 |
| SPL2 1          | 1,232                     | 0,102666667           |             |            |             |            |            |            |                        |
| SPL2 2          | 1,142                     | 0,095166667           |             |            |             |            |            |            |                        |
| SPL2 3          | 0,822                     | 0,0685                | 0,08877778  | 0,017957   | 0,08727778  | 0,51       | 0,01327273 | 301,369863 | 0,15472289 15,4722894  |
| SPL3 1          | 0,073                     | 0,006083333           |             |            |             |            |            |            |                        |
| SPL3 2          | -0,012                    | -0,001                |             |            |             |            |            |            |                        |
| SPL3 3          | 0,046                     | 0,003833333           | 0,00297222  | 0,00361933 | 0,00147222  | 0,00866013 | 0,01145455 | 349,206349 | 0,00302417 0,30241726  |
| SPL4 1          | 0,057                     | 0,00475               |             |            |             |            |            |            |                        |
| SPL4 2          | 0,117                     | 0,00975               |             |            |             |            |            |            |                        |
| SPL4 3          | 0,04                      | 0,003333333           | 0,00594444  | 0,00337097 | 0,00444444  | 0,02614379 | 0,01181818 | 338,461538 | 0,00884867 0,88486677  |

|         |        |             |            |            |            |            |            |            |            |             |            |   |            |
|---------|--------|-------------|------------|------------|------------|------------|------------|------------|------------|-------------|------------|---|------------|
| SPL5 1  | 0,586  | 0,048833333 |            |            |            |            |            |            |            |             |            |   |            |
| SPL5 2  | 0,571  | 0,047583333 |            |            |            |            |            |            |            |             |            |   |            |
| SPL5 3  | 0,53   | 0,044166667 | 0,04686111 | 0,00241571 | 0,04536111 | 0,26683007 | 0,01572727 | 254,33526  | 0,06786429 | 6,78642941  |            |   |            |
| SPL6 1  | -0,108 | -0,009      |            |            |            |            |            |            |            |             |            |   |            |
| SPL6 2  | 0,068  | 0,005666667 |            |            |            |            |            |            |            |             |            |   |            |
| SPL6 3  | 0,307  | 0,025583333 | 0,00741667 | 0,01735796 | 0,00591667 | 0,03480392 | 0,01581818 | 252,873563 | 0,00880099 | 0,88009917  |            |   |            |
| SPL7 1  | 0,59   | 0,049166667 |            |            |            |            |            |            |            |             |            |   |            |
| SPL7 2  | 0,464  | 0,038666667 |            |            |            |            |            |            |            |             |            |   |            |
| SPL7 3  | -0,039 | -0,00325    | 0,02819444 | 0,02773314 | 0,02669444 | 0,00314052 | 0,01309091 | 305,555556 | 0,0009596  | 0,09596042  |            |   |            |
| SPL8 1  | 1,332  | 0,111       |            |            |            |            |            |            |            |             |            |   |            |
| SPL8 2  | 0,87   | 0,0725      |            |            |            |            |            |            |            |             |            |   |            |
| SPL8 3  | 1,471  | 0,122583333 | 0,10202778 | 0,02621947 | 0,10052778 | 0,0118268  | 0,07390909 | 54,1205412 | 0,00064007 | 0,06400727  |            |   |            |
| SPL9 1  | 0,774  | 0,0645      |            |            |            |            |            |            |            |             |            |   |            |
| SPL9 2  | 0,7    | 0,058333333 |            |            |            |            |            |            |            |             |            |   |            |
| SPL9 3  | 0,788  | 0,065666667 | 0,06283333 | 0,00394053 | 0,06133333 | 0,00721569 | 0,04272727 | 93,6170213 | 0,00067551 | 0,06755111  |            |   |            |
| SPL10 1 | 0,738  | 0,0615      |            |            |            |            |            |            |            |             |            |   |            |
| SPL10 2 | 0,525  | 0,04375     |            |            |            |            |            |            |            |             |            |   |            |
| SPL10 3 | 0,662  | 0,055166667 | 0,05347222 | 0,0089955  | 0,05197222 | 0,30571895 | 0,01572727 | 254,33526  | 0,07775511 | 7,77551098  |            |   |            |
| SPL11 1 | 0,894  | 0,0745      |            |            |            |            |            |            |            |             |            |   |            |
| SPL11 2 | 0,797  | 0,066416667 |            |            |            |            |            |            |            |             |            |   |            |
| SPL11 3 | 1,119  | 0,09325     | 0,07805556 | 0,01376548 | 0,07655556 | 0,00900654 | 0,027      | 148,148148 | 0,0013343  | 0,13343016  |            |   |            |
| SPL12 1 | 0,868  | 0,072333333 |            |            |            |            |            |            |            |             |            |   |            |
| SPL12 2 | 0,258  | 0,0215      |            |            |            |            |            |            |            |             |            |   |            |
| SPL12 3 | 0,224  | 0,018666667 | 0,0375     | 0,0301998  | 0,036      | 0,00423529 | 0,01590909 | 251,428571 | 0,00106487 | 0,10648739  |            |   |            |
| SPL13 1 | 0,493  | 0,041083333 |            |            |            |            |            |            |            |             |            |   |            |
| SPL13 2 | 0,46   | 0,038333333 |            |            |            |            |            |            |            |             |            |   |            |
| SPL13 3 | 0,463  | 0,038583333 | 0,03933333 | 0,00152069 | 0,03783333 | 0,00445098 | 0,05454545 | 73,3333333 | 0,00032641 | 0,03264052  |            |   |            |
| SPL14 1 | 0,209  | 0,017416667 |            |            |            |            |            |            |            |             |            |   |            |
| SPL14 2 | -0,297 | -0,02475    |            |            |            |            |            |            |            |             |            |   |            |
| SPL14 3 | 0,084  | 0,007       | -          | 0,02196435 | -          | -          | 0,03463636 | 115,485564 | -          | -0,01094471 |            |   |            |
|         |        |             | 0,00011111 |            | 0,00161111 | 0,00947712 |            |            |            |             |            |   |            |
| SPL15 1 | -0,112 | -0,00933333 |            |            |            |            |            |            |            |             |            |   |            |
| SPL15 2 | -0,728 | -0,06066667 |            |            |            |            |            |            |            |             |            |   |            |
| SPL15 3 | -0,028 | -0,00233333 | -          | 0,03185093 | -          | 0,02561111 | 0,00301307 | 0,02127273 | 188,034188 | -           | 0,00056656 | - | 0,05665605 |
|         |        |             | 0,02411111 |            |            |            |            |            |            |             |            |   |            |

| Lombriz N°4 a 9 | INICIAL-FINAL | ABS*MIN      |             |             |             |             |            | PROTEINAS  |            | UI/mg proteína |
|-----------------|---------------|--------------|-------------|-------------|-------------|-------------|------------|------------|------------|----------------|
| BLK 1           | 0,142         | 0,011833333  |             |             |             |             |            |            |            |                |
| BLK 2           | 0,031         | 0,002583333  |             |             |             |             |            |            |            |                |
| BLK 3           | 0,031         | 0,002583333  | 0,005666667 | 0,00534049  |             |             |            |            |            |                |
| SPL1 1          | -0,098        | -            | 0,008166667 |             |             |             |            |            |            |                |
| SPL1 2          | -0,141        | -0,01175     |             |             |             |             |            |            |            |                |
| SPL1 3          | -0,013        | -            | 0,001083333 | -0,007      | 0,005428193 | -           | -0,07      | 0,02028846 | 197,156398 | -              |
| SPL2 1          | 0,259         | 0,021583333  |             |             |             |             |            |            |            | 0,01469008     |
| SPL2 2          | 0,544         | 0,045333333  |             |             |             |             |            |            |            | -1,46900846    |
| SPL2 3          | 0,595         | 0,049583333  | 0,03883333  | 0,015089317 | 0,03316667  | 0,00        | 0,01423077 | 281,081081 | 0,00109677 | 0,10967674     |
| SPL3 1          | -0,028        | -            | 0,002333333 |             |             |             |            |            |            |                |
| SPL3 2          | 0,005         | 0,000416667  |             |             |             |             |            |            |            |                |
| SPL3 3          | -0,03         | -0,0025      | -           | 0,00147222  | 0,001637947 | -           | 0,00713889 | -          | 0,01269231 | 315,151515     |
| SPL4 1          | 0,303         | 0,02525      |             |             |             |             |            |            | -          | 0,00026469     |
| SPL4 2          | 0,464         | 0,038666667  |             |             |             |             |            |            |            | -0,02646861    |
| SPL4 3          | 0,44          | 0,036666667  | 0,03352778  | 0,007238177 | 0,02786111  | 0,00327778  | 0,01980769 | 201,941748 | 0,00066192 | 0,06619202     |
| SPL5 1          | -0,051        | -0,00425     |             |             |             |             |            |            |            |                |
| SPL5 2          | 0,024         | 0,002        |             |             |             |             |            |            |            |                |
| SPL5 3          | 0,002         | 0,000166667  | -           | 0,00069444  | 0,003212749 | -           | 0,00636111 | -          | 0,02567308 | 155,805243     |
| SPL6 1          | -0,023        | -            | 0,001916667 |             |             |             |            |            | -          | 0,01165993     |
| SPL6 2          | 0,022         | 0,001833333  |             |             |             |             |            |            |            |                |
| SPL6 3          | 0,07          | 0,005833333  | 0,00191667  | 0,003875672 | -0,00375    | -           | 0,00044118 | 0,02134615 | 187,387387 | -8,2671E-05    |
| SPL7 1          | -0,187        | -            | 0,015583333 |             |             |             |            |            |            |                |
| SPL7 2          | 1,037         | 0,086416667  |             |             |             |             |            |            |            |                |
| SPL7 3          | 1,088         | 0,090666667  | 0,05383333  | 0,060154142 | 0,04816667  | 0,005666667 | 0,01461538 | 273,684211 | 0,00155088 | 0,15508772     |
| SPL8 1          | -0,098        | -            | 0,008166667 |             |             |             |            |            |            |                |
| SPL8 2          | -0,242        | -            | 0,020166667 |             |             |             |            |            |            |                |
| SPL8 3          | -0,001        | -8,33333E-05 | -           | 0,00947222  | 0,010105119 | -           | 0,01513889 | -          | 0,01423077 | 281,081081     |
| SPL9 1          | 0,543         | 0,04525      |             |             |             |             |            |            | -          | 0,00050062     |
| SPL9 2          | 0,872         | 0,072666667  |             |             |             |             |            |            |            |                |
| SPL9 3          | 0,74          | 0,061666667  | 0,05986111  | 0,013797225 | 0,05419444  | 0,00637582  | 0,01307692 | 305,882353 | 0,00195025 | 0,19502499     |
| SPL10 1         | 1,233         | 0,10275      |             |             |             |             |            |            |            |                |
| SPL10 2         | 0,932         | 0,077666667  |             |             |             |             |            |            |            |                |
| SPL10 3         | 1,135         | 0,094583333  | 0,091666667 | 0,012793499 | 0,086       | 0,05088235  | 0,03173077 | 126,060606 | 0,06377184 | 6,3771836      |
| SPL11 1         | 0,078         | 0,0065       |             |             |             |             |            |            |            |                |
| SPL11 2         | 0,04          | 0,003333333  |             |             |             |             |            |            |            |                |
| SPL11 3         | 0,062         | 0,005166667  | 0,005       | 0,001589899 | -           | -           | 0,00392157 | 0,01980769 | 201,941748 | -              |
| SPL12 1         | 0,693         | 0,05775      |             |             |             |             |            |            | -          | 0,007919284    |
| SPL12 2         | 0,763         | 0,063583333  |             |             |             |             |            |            |            |                |
| SPL12 3         | 0,419         | 0,034916667  | 0,05208333  | 0,015150174 | 0,04641667  | 0,00546078  | 0,02278846 | 175,527426 | 0,00095852 | 0,09585174     |
| SPL13 1         | 0,753         | 0,06275      |             |             |             |             |            |            |            |                |
| SPL13 2         | 1,163         | 0,096916667  |             |             |             |             |            |            |            |                |
| SPL13 3         | 1,157         | 0,096416667  | 0,08536111  | 0,019583392 | 0,07969444  | 0,00937582  | 0,02355769 | 169,795918 | 0,00159198 | 0,15919755     |
| SPL14 1         | 0,172         | 0,014333333  |             |             |             |             |            |            |            |                |
| SPL14 2         | -0,012        | -0,001       |             |             |             |             |            |            |            |                |
| SPL14 3         | 0,005         | 0,000416667  | 0,00458333  | 0,008473406 | -           | 0,00108333  | -          | 0,01375    | 290,909091 | -3,7077E-05    |
|                 |               |              |             |             |             |             |            |            |            | -0,00370766    |

|         |        |              |            |             |             |             |            |            |             |             |
|---------|--------|--------------|------------|-------------|-------------|-------------|------------|------------|-------------|-------------|
| SPL15 1 | 0,272  | 0,022666667  |            |             |             |             |            |            |             |             |
| SPL15 2 | 0,014  | 0,001166667  |            |             |             |             |            |            |             |             |
| SPL15 3 | -0,023 | -0,001916667 | 0,00730556 | 0,013392145 | 0,00163889  | 0,00019281  | 0,05201923 | 76,8946396 | 1,4826E-05  | 0,00148261  |
| SPL16 1 | 0,161  | 0,013416667  |            |             |             |             |            |            |             |             |
| SPL16 2 | 0,204  | 0,017        |            |             |             |             |            |            |             |             |
| SPL16 3 | 0,159  | 0,01325      | 0,01455556 | 0,002118591 | 0,00888889  | 0,05228758  | 0,01932692 | 206,965174 | 0,01082171  | 1,08217085  |
| SPL17 1 | 1,026  | 0,0855       |            |             |             |             |            |            |             |             |
| SPL17 2 | 1,534  | 0,127833333  |            |             |             |             |            |            |             |             |
| SPL17 3 | 0,999  | 0,08325      | 0,09886111 | 0,025115889 | 0,09319444  | 0,01096405  | 0,01663462 | 240,462428 | 0,00263644  | 0,26364426  |
| SPL18 1 | 0,188  | 0,015666667  |            |             |             |             |            |            |             |             |
| SPL18 2 | 0,183  | 0,01525      |            |             |             |             |            |            |             |             |
| SPL18 3 | 0,111  | 0,00925      | 0,01338889 | 0,003590432 | 0,00772222  | 0,04542484  | 0,03634615 | 110,05291  | 0,00499914  | 0,49991355  |
| SPL19 1 | 0,824  | 0,068666667  |            |             |             |             |            |            |             |             |
| SPL19 2 | 1,049  | 0,087416667  |            |             |             |             |            |            |             |             |
| SPL19 3 | 0,535  | 0,044583333  | 0,06688889 | 0,021471935 | 0,06122222  | 0,00720261  | 0,04125    | 96,969697  | 0,00069844  | 0,06984353  |
| SPL20 1 | 0,285  | 0,02375      |            |             |             |             |            |            |             |             |
| SPL20 2 | 1,02   | 0,085        |            |             |             |             |            |            |             |             |
| SPL20 3 | 1,098  | 0,0915       | 0,06675    | 0,037380643 | 0,06108333  | 0,35931373  | 0,02182692 | 183,259912 | 0,0658478   | 6,58478017  |
| SPL21 1 | 0,463  | 0,038583333  |            |             |             |             |            |            |             |             |
| SPL21 2 | 0,236  | 0,019666667  |            |             |             |             |            |            |             |             |
| SPL21 3 | 0,091  | 0,007583333  | 0,02194444 | 0,015625019 | 0,01627778  | 0,09575163  | 0,01528846 | 261,63522  | 0,025052    | 2,50519998  |
| SPL22 1 | 0,776  | 0,064666667  |            |             |             |             |            |            |             |             |
| SPL22 2 | 0,886  | 0,073833333  |            |             |             |             |            |            |             |             |
| SPL22 3 | 1,06   | 0,088333333  | 0,07561111 | 0,01193307  | 0,06994444  | 0,00822876  | 0,04230769 | 94,5454545 | 0,00077799  | 0,07779917  |
| SPL23 1 | 0,312  | 0,026        |            |             |             |             |            |            |             |             |
| SPL23 2 | 0,378  | 0,0315       |            |             |             |             |            |            |             |             |
| SPL23 3 | 0,288  | 0,024        | 0,02716667 | 0,003883727 | 0,0215      | 0,12647059  | 0,01298077 | 308,148148 | 0,03897168  | 3,89716776  |
| SPL24 1 | 0,956  | 0,079666667  |            |             |             |             |            |            |             |             |
| SPL24 2 | 0,805  | 0,067083333  |            |             |             |             |            |            |             |             |
| SPL24 3 | 0,312  | 0,026        | 0,05758333 | 0,028066266 | 0,05191667  | 0,00610784  | 0,08576923 | 46,6367713 | 0,00028485  | 0,02848501  |
| SPL25 1 | -0,019 | -0,001583333 |            |             |             |             |            |            |             |             |
| SPL25 2 | 0,188  | 0,015666667  |            |             |             |             |            |            |             |             |
| SPL25 3 | -0,022 | -0,001833333 | 0,00408333 | 0,01003224  | -0,00158333 | -0,00018627 | 0,04923077 | 81,25      | -1,5135E-05 | -0,00151348 |
| SPL26 1 | 0,573  | 0,04775      |            |             |             |             |            |            |             |             |
| SPL26 2 | 0,248  | 0,020666667  |            |             |             |             |            |            |             |             |
| SPL26 3 | 0,371  | 0,030916667  | 0,03311111 | 0,013674371 | 0,02744444  | 0,16143791  | 0,01932692 | 206,965174 | 0,03341202  | 3,34120248  |
| SPL27 1 | 0,298  | 0,024833333  |            |             |             |             |            |            |             |             |
| SPL27 2 | 0,371  | 0,030916667  |            |             |             |             |            |            |             |             |
| SPL27 3 | 0,148  | 0,012333333  | 0,02269444 | 0,009474503 | 0,01702778  | 0,1001634   | 0,01451923 | 275,496689 | 0,02759468  | 2,75946847  |
| SPL28 1 | 0,683  | 0,056916667  |            |             |             |             |            |            |             |             |
| SPL28 2 | 0,768  | 0,064        |            |             |             |             |            |            |             |             |
| SPL28 3 | 0,871  | 0,072583333  | 0,0645     | 0,007845292 | 0,05883333  | 0,00692157  | 0,0525     | 76,1904762 | 0,00052736  | 0,05273576  |
| SPL29 1 | 1,262  | 0,105166667  |            |             |             |             |            |            |             |             |
| SPL29 2 | 1,203  | 0,10025      |            |             |             |             |            |            |             |             |
| SPL29 3 | 0,998  | 0,083166667  | 0,09619444 | 0,011547106 | 0,09052778  | 0,01065033  | 0,06173077 | 64,7975078 | 0,00069011  | 0,06901146  |
| SPL30 1 | 0,046  | 0,003833333  |            |             |             |             |            |            |             |             |
| SPL30 2 | -0,104 | -0,008666667 |            |             |             |             |            |            |             |             |
| SPL30 3 | -0,02  | -0,001666667 | 0,00216667 | 0,006264982 | -0,00783333 | -0,00092157 | 0,03788462 | 105,583756 | -9,7303E-05 | -0,00973027 |

| Lombrices N°16 a 21 | INICIAL-FINAL | ABS*MIN      | PROTEINAS   |            |             |             |            | UI/mg proteína |             |
|---------------------|---------------|--------------|-------------|------------|-------------|-------------|------------|----------------|-------------|
| BLK 1               | 0,025         | 0,002083333  |             |            |             |             |            |                |             |
| BLK 2               | 0,027         | 0,00225      |             |            |             |             |            |                |             |
| BLK 3               | -0,017        | -0,001416667 | 0,00097222  | 0,00207052 |             |             |            |                |             |
| SPL1 1              | 0,086         | 0,007166667  |             |            |             |             |            |                |             |
| SPL1 2              | -0,098        | -0,008166667 |             |            |             |             |            |                |             |
| SPL1 3              | -0,059        | -0,004916667 | -0,00197222 | 0,00807961 | -0,00294444 | -0,02       | 0,02521277 | 158,649789     | -0,00274786 |
| SPL2 1              | 0,963         | 0,08025      |             |            |             |             |            |                | 0,27478558  |
| SPL2 2              | 1,001         | 0,083416667  |             |            |             |             |            |                |             |
| SPL2 3              | 0,731         | 0,060916667  | 0,07486111  | 0,0121796  | 0,07388889  | 0,01        | 0,01531915 | 261,111111     | 0,00226979  |
| SPL3 1              | 0,156         | 0,013        |             |            |             |             |            |                |             |
| SPL3 2              | -0,021        | -0,00175     |             |            |             |             |            |                |             |
| SPL3 3              | -0,298        | -0,02483333  | -0,00452778 | 0,01906901 | -0,0055     | -0,03235294 | 0,0137234  | 291,472868     | -0,00943    |
| SPL4 1              | 0,889         | 0,074083333  |             |            |             |             |            |                | 0,94300046  |
| SPL4 2              | 1,059         | 0,08825      |             |            |             |             |            |                |             |
| SPL4 3              | 1,019         | 0,084916667  | 0,082416667 | 0,00740683 | 0,08144444  | 0,0095817   | 0,04106383 | 97,4093264     | 0,00093335  |
| SPL5 1              | 0,865         | 0,072083333  |             |            |             |             |            |                |             |
| SPL5 2              | 1,216         | 0,101333333  |             |            |             |             |            |                |             |
| SPL5 3              | 1,172         | 0,097666667  | 0,09036111  | 0,01593484 | 0,08938889  | 0,52581699  | 0,01702128 | 235            | 0,12356699  |
| SPL6 1              | 0,25          | 0,020833333  |             |            |             |             |            |                |             |
| SPL6 2              | 0,086         | 0,007166667  |             |            |             |             |            |                |             |
| SPL6 3              | -0,303        | -0,02525     | 0,000916667 | 0,02366887 | -5,5556E-05 | -0,0003268  | 0,02106383 | 189,89899      | -6,2058E-05 |
| SPL7 1              | 0,405         | 0,03375      |             |            |             |             |            |                | 0,00620585  |
| SPL7 2              | 0,493         | 0,041083333  |             |            |             |             |            |                |             |
| SPL7 3              | 0,709         | 0,059083333  | 0,04463889  | 0,01303556 | 0,043666667 | 0,00513725  | 0,01542553 | 81,0344828     | 0,00041629  |
|                     |               |              |             |            |             |             |            |                | 0,04162948  |

|         |        |              |             |            |            |            |            |            |            |            |
|---------|--------|--------------|-------------|------------|------------|------------|------------|------------|------------|------------|
| SPL8 1  | -0,03  | -0,0025      |             |            |            |            |            |            |            |            |
| SPL8 2  | 0,72   | 0,06         |             |            |            |            |            |            |            |            |
| SPL8 3  | 0,417  | 0,03475      | 0,03075     | 0,03144141 | 0,02977778 | 0,00350327 | 0,01468085 | 85,1449275 | 0,00029829 | 0,02982855 |
| SPL9 1  | 0,515  | 0,042916667  |             |            |            |            |            |            |            |            |
| SPL9 2  | 0,281  | 0,023416667  |             |            |            |            |            |            |            |            |
| SPL9 3  | 0,174  | 0,0145       | 0,02694444  | 0,01453309 | 0,02597222 | 0,15277778 | 0,01468085 | 85,1449275 | 0,01300825 | 1,30082528 |
| SPL10 1 | 1,293  | 0,10775      |             |            |            |            |            |            |            |            |
| SPL10 2 | 0,922  | 0,076833333  |             |            |            |            |            |            |            |            |
| SPL10 3 | 0,675  | 0,05625      | 0,08027778  | 0,0259222  | 0,07930556 | 0,46650327 | 0,01755319 | 71,2121212 | 0,03322069 | 3,32206873 |
| SPL11 1 | 0,067  | 0,005583333  |             |            |            |            |            |            |            |            |
| SPL11 2 | -0,042 | -0,0035      |             |            |            |            |            |            |            |            |
| SPL11 3 | -0,036 | -0,003       | -           | 0,00510605 | -          | 0,00127778 | 0,00751634 | 0,02510638 | 49,7881356 | -          |
|         |        |              | 0,00030556  |            |            |            |            |            | 0,00037422 | 0,03742245 |
| SPL12 1 | 0,348  | 0,029        |             |            |            |            |            |            |            |            |
| SPL12 2 | 0,215  | 0,017916667  |             |            |            |            |            |            |            |            |
| SPL12 3 | 0,325  | 0,027083333  | 0,024666667 | 0,0059237  | 0,02369444 | 0,00278758 | 0,01531915 | 81,5972222 | 0,00022746 | 0,02274589 |
| SPL13 1 | 0,625  | 0,052083333  |             |            |            |            |            |            |            |            |
| SPL13 2 | 1,24   | 0,103333333  |             |            |            |            |            |            |            |            |
| SPL13 3 | 0,513  | 0,04275      | 0,06605556  | 0,03261905 | 0,06508333 | 0,00765686 | 0,01351064 | 92,519685  | 0,00070841 | 0,07084105 |
| SPL14 1 | -0,025 | -0,00208333  |             |            |            |            |            |            |            |            |
| SPL14 2 | 0,141  | 0,01175      |             |            |            |            |            |            |            |            |
| SPL14 3 | 0,047  | 0,003916667  | 0,00452778  | 0,00693688 | 0,00355556 | 0,02091503 | 0,01393617 | 89,6946565 | 0,00187597 | 0,18759667 |
| SPL15 1 | 0,521  | 0,043416667  |             |            |            |            |            |            |            |            |
| SPL15 2 | 0,885  | 0,07375      |             |            |            |            |            |            |            |            |
| SPL15 3 | 0,555  | 0,04625      | 0,05447222  | 0,01675504 | 0,0535     | 0,62941176 | 0,06468085 | 19,3256579 | 0,0121638  | 1,21637964 |
| SPL16 1 | 0,058  | 0,004833333  |             |            |            |            |            |            |            |            |
| SPL16 2 | -0,024 | -0,002       |             |            |            |            |            |            |            |            |
| SPL16 3 | 0,077  | 0,006416667  | 0,00308333  | 0,00447291 | 0,00211111 | 0,00024837 | 0,02776596 | 180,076628 | 4,4725E-05 | 0,00447249 |
| SPL17 1 | 0,924  | 0,077        |             |            |            |            |            |            |            |            |
| SPL17 2 | 0,137  | 0,011416667  |             |            |            |            |            |            |            |            |
| SPL17 3 | 0,6    | 0,05         | 0,04613889  | 0,03296171 | 0,04516667 | 0,00531373 | 0,01680851 | 237,974684 | 0,00126453 | 0,12645321 |
| SPL18 1 | 0,172  | 0,014333333  |             |            |            |            |            |            |            |            |
| SPL18 2 | 0,203  | 0,016916667  |             |            |            |            |            |            |            |            |
| SPL18 3 | -0,348 | -0,029       | 0,00075     | 0,02579661 | -          | 0,00022222 | 0,00130719 | 0,01542553 | 259,310345 | -          |
|         |        |              |             |            |            |            |            | 0,00033897 | -          | 0,03389678 |
| SPL19 1 | 0,218  | 0,018166667  |             |            |            |            |            |            |            |            |
| SPL19 2 | 0,069  | 0,00575      |             |            |            |            |            |            |            |            |
| SPL19 3 | 0,171  | 0,01425      | 0,01272222  | 0,00634775 | 0,01175    | 0,06911765 | 0,01819149 | 219,883041 | 0,0151978  | 1,51977984 |
| SPL20 1 | 0,753  | 0,06275      |             |            |            |            |            |            |            |            |
| SPL20 2 | 1,296  | 0,108        |             |            |            |            |            |            |            |            |
| SPL20 3 | 1,268  | 0,105666667  | 0,09213889  | 0,02547825 | 0,09116667 | 0,53627451 | 0,01691489 | 236,477987 | 0,12681712 | 12,6817117 |
| SPL21 1 | 0,125  | 0,010416667  |             |            |            |            |            |            |            |            |
| SPL21 2 | 0,103  | 0,008583333  |             |            |            |            |            |            |            |            |
| SPL21 3 | 0,15   | 0,0125       | 0,0105      | 0,00195966 | 0,00952778 | 0,05604575 | 0,01723404 | 290,123457 | 0,01626019 | 1,62601872 |
| SPL22 1 | 0,792  | 0,066        |             |            |            |            |            |            |            |            |
| SPL22 2 | 1,074  | 0,0895       |             |            |            |            |            |            |            |            |
| SPL22 3 | 0,839  | 0,069916667  | 0,07513889  | 0,01259032 | 0,07416667 | 0,00872549 | 0,01712766 | 233,540373 | 0,00203775 | 0,20377542 |
| SPL23 1 | -0,102 | -0,0085      |             |            |            |            |            |            |            |            |
| SPL23 2 | -0,078 | -0,0065      |             |            |            |            |            |            |            |            |
| SPL23 3 | -0,076 | -0,00633333  | -           | 0,0012057  | -          | 0,00808333 | -          | 0,01978723 | 202,150538 | -          |
|         |        |              | 0,00711111  |            |            | 0,00380392 |            |            | 0,00076896 | -          |
| SPL24 1 | 0,192  | 0,016        |             |            |            |            |            |            |            |            |
| SPL24 2 | 0,116  | 0,009666667  |             |            |            |            |            |            |            |            |
| SPL24 3 | 0,201  | 0,01675      | 0,01413889  | 0,00389117 | 0,01316667 | 0,07745098 | 0,02202128 | 181,642512 | 0,01406839 | 1,40683906 |
| SPL25 1 | -0,042 | -0,0035      |             |            |            |            |            |            |            |            |
| SPL25 2 | -0,024 | -0,002       |             |            |            |            |            |            |            |            |
| SPL25 3 | 0,373  | 0,031083333  | 0,00852778  | 0,01954808 | 0,00755556 | 0,00088889 | 0,01659574 | 241,025641 | 0,00021425 | 0,0214245  |
| SPL26 1 | 0,303  | 0,02525      |             |            |            |            |            |            |            |            |
| SPL26 2 | -0,321 | -0,02675     |             |            |            |            |            |            |            |            |
| SPL26 3 | 0,003  | 0,00025      | -           | 0,02600641 | -          | 0,00138889 | -          | 0,02180851 | 183,414634 | -          |
|         |        |              | 0,00041667  |            |            | 0,00816993 |            |            | 0,00149849 | -          |
| SPL27 1 | 0,448  | 0,037333333  |             |            |            |            |            |            |            |            |
| SPL27 2 | 0,632  | 0,052666667  |             |            |            |            |            |            |            |            |
| SPL27 3 | 0,469  | 0,039083333  | 0,04302778  | 0,00839326 | 0,04205556 | 0,00494771 | 0,01776596 | 225,149701 | 0,00111398 | 0,1113976  |
| SPL28 1 | 0,043  | 0,003583333  |             |            |            |            |            |            |            |            |
| SPL28 2 | -0,028 | -0,002333333 |             |            |            |            |            |            |            |            |
| SPL28 3 | 0,066  | 0,0055       | 0,00225     | 0,00408333 | 0,00127778 | 0,00751634 | 0,01489362 | 268,571429 | 0,00201867 | 0,20186741 |
| SPL29 1 | 0,574  | 0,047833333  |             |            |            |            |            |            |            |            |
| SPL29 2 | 1,197  | 0,09975      |             |            |            |            |            |            |            |            |
| SPL29 3 | 1,273  | 0,106083333  | 0,08455556  | 0,03195965 | 0,08358333 | 0,00983333 | 0,04606383 | 86,8360277 | 0,00085389 | 0,08538876 |
| SPL30 1 | -0,012 | -0,001       |             |            |            |            |            |            |            |            |
| SPL30 2 | 0,121  | 0,010083333  |             |            |            |            |            |            |            |            |

| Lombrices N°22 a 29 | INICIAL-FINAL | ABS*MIN     | PROTEINAS   |             |             |            |            |            | UI/mg proteina |
|---------------------|---------------|-------------|-------------|-------------|-------------|------------|------------|------------|----------------|
| BLK 1               | -0,463        | -0,03858333 |             |             |             |            |            |            |                |
| BLK 2               | -0,364        | -0,03033333 |             |             |             |            |            |            |                |
| BLK 3               | -0,073        | -0,00608333 | -0,025      | 0,016893663 |             |            |            |            |                |
| SPL1 1              | 0,334         | 0,027833333 |             |             |             |            |            |            |                |
| SPL1 2              | -0,002        | -0,00016667 |             |             |             |            |            |            |                |
| SPL1 3              | 0,272         | 0,022666667 | 0,016777778 | 0,014899975 | 0,041777778 | 0,05       | 0,02416667 | 206,896552 | 0,01016903     |
| SPL2 1              | 0,352         | 0,029333333 |             |             |             |            |            |            |                |
| SPL2 2              | 0,566         | 0,047166667 |             |             |             |            |            |            |                |
| SPL2 3              | 0,743         | 0,061916667 | 0,046138889 | 0,016315963 | 0,071138889 | 0,42       | 0,01458333 | 274,285714 | 0,11477871     |
| SPL3 1              | 0,129         | 0,01075     |             |             |             |            |            |            |                |
| SPL3 2              | 0,526         | 0,043833333 |             |             |             |            |            |            |                |
| SPL3 3              | -0,124        | -0,01033333 | 0,01475     | 0,027303973 | 0,03975     | 0,04676471 | 0,02885417 | 138,628159 | 0,00648291     |
| SPL4 1              | 0,559         | 0,046583333 |             |             |             |            |            |            |                |
| SPL4 2              | 0,341         | 0,028416667 |             |             |             |            |            |            |                |
| SPL4 3              | 0,35          | 0,029166667 | 0,034722222 | 0,010278866 | 0,059722222 | 0,07026144 | 0,01291667 | 309,677419 | 0,02175838     |
| SPL5 1              | 1,229         | 0,102416667 |             |             |             |            |            |            |                |
| SPL5 2              | 0,959         | 0,079916667 |             |             |             |            |            |            |                |
| SPL5 3              | 0,943         | 0,078583333 | 0,086972222 | 0,013391885 | 0,111972222 | 0,13173203 | 0,0159375  | 250,980392 | 0,03306216     |
| SPL6 1              | 0,175         | 0,014583333 |             |             |             |            |            |            |                |
| SPL6 2              | 0,047         | 0,003916667 |             |             |             |            |            |            |                |

|         |        |              |              |             |             |             |            |            |            |            |
|---------|--------|--------------|--------------|-------------|-------------|-------------|------------|------------|------------|------------|
| SPL6 3  | 0,124  | 0,010333333  | 0,009611111  | 0,005369883 | 0,034611111 | 0,04071895  | 0,0184375  | 271,186441 | 0,01104243 | 1,10424283 |
| SPL7 1  | 1,381  | 0,115083333  |              |             |             |             |            |            |            |            |
| SPL7 2  | 1,746  | 0,1455       |              |             |             |             |            |            |            |            |
| SPL7 3  | 1,153  | 0,096083333  | 0,118888889  | 0,024927162 | 0,143888889 | 0,16928105  | 0,0684375  | 58,4474886 | 0,00989405 | 0,9894052  |
| SPL8 1  | 0,768  | 0,064        |              |             |             |             |            |            |            |            |
| SPL8 2  | 0,894  | 0,0745       |              |             |             |             |            |            |            |            |
| SPL8 3  | 1,172  | 0,097666667  | 0,078722222  | 0,017225896 | 0,103722222 | 0,12202614  | 0,02270833 | 176,146789 | 0,02149451 | 2,14945134 |
| SPL9 1  | 0,204  | 0,017        |              |             |             |             |            |            |            |            |
| SPL9 2  | -0,07  | -0,00583333  |              |             |             |             |            |            |            |            |
| SPL9 3  | 0,363  | 0,03025      | 0,013805556  | 0,018252537 | 0,038805556 | 0,04565359  | 0,06010417 | 66,5511265 | 0,0030383  | 0,30382982 |
| SPL10 1 | 1,25   | 0,104166667  |              |             |             |             |            |            |            |            |
| SPL10 2 | 1,054  | 0,087833333  |              |             |             |             |            |            |            |            |
| SPL10 3 | 0,902  | 0,075166667  | 0,089055556  | 0,014538582 | 0,114055556 | 0,13418301  | 0,015      | 266,666667 | 0,03578214 | 3,57821351 |
| SPL11 1 | 0,105  | 0,00875      |              |             |             |             |            |            |            |            |
| SPL11 2 | 0,208  | 0,017333333  |              |             |             |             |            |            |            |            |
| SPL11 3 | -0,06  | -0,005       | 0,007027778  | 0,011265832 | 0,032027778 | 0,03767974  | 0,020625   | 242,424242 | 0,00913448 | 0,91344821 |
| SPL12 1 | 0,729  | 0,06075      |              |             |             |             |            |            |            |            |
| SPL12 2 | 0,813  | 0,06775      |              |             |             |             |            |            |            |            |
| SPL12 3 | 0,475  | 0,039583333  | 0,056027778  | 0,014665088 | 0,081027778 | 0,0953268   | 0,01385417 | 288,721805 | 0,02752292 | 2,7522925  |
| SPL13 1 | 0,223  | 0,018583333  |              |             |             |             |            |            |            |            |
| SPL13 2 | 0,657  | 0,05475      |              |             |             |             |            |            |            |            |
| SPL13 3 | 0,38   | 0,031666667  | 0,035        | 0,018312299 | 0,06        | 0,35294118  | 0,09354167 | 42,7616927 | 0,01509236 | 1,50923621 |
| SPL14 1 | 0,294  | 0,0245       |              |             |             |             |            |            |            |            |
| SPL14 2 | 0,152  | 0,012666667  |              |             |             |             |            |            |            |            |
| SPL14 3 | 0,173  | 0,014416667  | 0,017194444  | 0,006387017 | 0,042194444 | 0,04964052  | 0,04072917 | 98,2097187 | 0,00487518 | 0,48751818 |
| SPL15 1 | 0,246  | 0,0205       |              |             |             |             |            |            |            |            |
| SPL15 2 | 1,33   | 0,110833333  |              |             |             |             |            |            |            |            |
| SPL15 3 | 1,178  | 0,098166667  | 0,0765       | 0,048909213 | 0,1015      | 0,59705882  | 0,01770833 | 225,882353 | 0,13486505 | 13,4865052 |
| SPL16 1 | 0,022  | 0,001833333  |              |             |             |             |            |            |            |            |
| SPL16 2 | 0,021  | 0,00175      |              |             |             |             |            |            |            |            |
| SPL16 3 | 0,049  | 0,004083333  | 0,002555556  | 0,00132375  | 0,027555556 | 0,0324183   | 0,01802083 | 277,456647 | 0,00899467 | 0,8994673  |
| SPL17 1 | 0,306  | 0,0255       |              |             |             |             |            |            |            |            |
| SPL17 2 | 0,569  | 0,047416667  |              |             |             |             |            |            |            |            |
| SPL17 3 | 0,573  | 0,04775      | 0,040222222  | 0,012750908 | 0,065222222 | 0,07673203  | 0,0675     | 59,2592593 | 0,00454708 | 0,4547083  |
| SPL18 1 | 1,086  | 0,0905       |              |             |             |             |            |            |            |            |
| SPL18 2 | 1,193  | 0,099416667  |              |             |             |             |            |            |            |            |
| SPL18 3 | 1,226  | 0,102166667  | 0,097361111  | 0,006098915 | 0,122361111 | 0,14395425  | 0,01427083 | 280,291971 | 0,04034922 | 4,034922   |
| SPL19 1 | 0,044  | 0,003666667  |              |             |             |             |            |            |            |            |
| SPL19 2 | -0,094 | -0,007833333 |              |             |             |             |            |            |            |            |
| SPL19 3 | -0,001 | -8,333E-05   | -0,00141667  | 0,005864796 | 0,023583333 | 0,0277451   | 0,03760417 | 106,371191 | 0,00295128 | 0,29512791 |
| SPL20 1 | 1,235  | 0,102916667  |              |             |             |             |            |            |            |            |
| SPL20 2 | 1,29   | 0,1075       |              |             |             |             |            |            |            |            |
| SPL20 3 | 1,287  | 0,10725      | 0,105888889  | 0,002577053 | 0,130888889 | 0,15398693  | 0,019375   | 206,451613 | 0,03179085 | 3,17908497 |
| SPL21 1 | -0,161 | -0,013416667 |              |             |             |             |            |            |            |            |
| SPL21 2 | -0,02  | -0,001666667 |              |             |             |             |            |            |            |            |
| SPL21 3 | 0,011  | 0,000916667  | -0,00472222  | 0,007639596 | 0,020277778 | 0,02385621  | 0,01645833 | 303,797468 | 0,00724746 | 0,72474559 |
| SPL22 1 | 0,545  | 0,045416667  |              |             |             |             |            |            |            |            |
| SPL22 2 | 0,476  | 0,039666667  |              |             |             |             |            |            |            |            |
| SPL22 3 | 0,392  | 0,032666667  | 0,03925      | 0,006385204 | 0,06425     | 0,07558824  | 0,03604167 | 110,982659 | 0,00838898 | 0,83889833 |
| SPL23 1 | 1,019  | 0,084916667  |              |             |             |             |            |            |            |            |
| SPL23 2 | 1,119  | 0,09325      |              |             |             |             |            |            |            |            |
| SPL23 3 | 0,551  | 0,045916667  | 0,074694444  | 0,025268191 | 0,099694444 | 0,11728758  | 0,05041667 | 79,338843  | 0,00930546 | 0,9305461  |
| SPL24 1 | 0,121  | 0,010083333  |              |             |             |             |            |            |            |            |
| SPL24 2 | -0,353 | -0,029416667 |              |             |             |             |            |            |            |            |
| SPL24 3 | 0,185  | 0,015416667  | -0,00130556  | 0,02449055  | 0,023694444 | 0,02787582  | 0,01260417 | 317,355372 | 0,00884654 | 0,88465403 |
| SPL25 1 | 0,979  | 0,081583333  |              |             |             |             |            |            |            |            |
| SPL25 2 | 0,869  | 0,072416667  |              |             |             |             |            |            |            |            |
| SPL25 3 | 1,055  | 0,087916667  | 0,080638889  | 0,007793041 | 0,105638889 | 0,62140523  | 0,03364583 | 118,885449 | 0,07387604 | 7,38760396 |
| SPL26 1 | 0,101  | 0,008416667  |              |             |             |             |            |            |            |            |
| SPL26 2 | -0,246 | -0,0205      |              |             |             |             |            |            |            |            |
| SPL26 3 | -0,392 | -0,032666667 | -0,014916667 | 0,021103087 | 0,010083333 | 0,01186275  | 0,01770833 | 282,352941 | 0,00334948 | 0,3349481  |
| SPL27 1 | 0,165  | 0,01375      |              |             |             |             |            |            |            |            |
| SPL27 2 | 0,282  | 0,0235       |              |             |             |             |            |            |            |            |
| SPL27 3 | 0,403  | 0,033583333  | 0,023611111  | 0,009917134 | 0,048611111 | 0,05718954  | 0,0275     | 145,454545 | 0,00831848 | 0,83184789 |
| SPL28 1 | 0,779  | 0,064916667  |              |             |             |             |            |            |            |            |
| SPL28 2 | 0,899  | 0,074916667  |              |             |             |             |            |            |            |            |
| SPL28 3 | 0,575  | 0,047916667  | 0,062583333  | 0,013650397 | 0,087583333 | 0,10303922  | 0,0746875  | 53,5564854 | 0,00551842 | 0,55184182 |
| SPL29 1 | 0,549  | 0,04575      |              |             |             |             |            |            |            |            |
| SPL29 2 | 0,258  | 0,0215       |              |             |             |             |            |            |            |            |
| SPL29 3 | 0,395  | 0,032916667  | 0,033388889  | 0,012131895 | 0,058388889 | 0,06869281  | 0,05052083 | 79,1752577 | 0,00543877 | 0,5438771  |
| SPL30 1 | 1,369  | 0,114083333  |              |             |             |             |            |            |            |            |
| SPL30 2 | 1,285  | 0,107083333  |              |             |             |             |            |            |            |            |
| SPL30 3 | 0,942  | 0,0785       | 0,099888889  | 0,018851086 | 0,124888889 | 0,1469281   | 0,01635417 | 244,585987 | 0,03593656 | 3,59365555 |
| SPL31 1 | 0,423  | 0,03525      |              |             |             |             |            |            |            |            |
| SPL31 2 | 0,03   | 0,0025       |              |             |             |             |            |            |            |            |
| SPL31 3 | 0,469  | 0,039083333  | 0,025611111  | 0,020106372 | 0,050611111 | 0,05954248  | 0,0153125  | 326,530612 | 0,01944244 | 1,94424436 |
| SPL32 1 | 0,334  | 0,027833333  |              |             |             |             |            |            |            |            |
| SPL32 2 | 0,106  | 0,008833333  |              |             |             |             |            |            |            |            |
| SPL32 3 | 0,219  | 0,01825      | 0,018305556  | 0,009500122 | 0,043305556 | 0,05094771  | 0,04604167 | 86,8778281 | 0,00442623 | 0,44262266 |
| SPL33 1 | 0,402  | 0,0335       |              |             |             |             |            |            |            |            |
| SPL33 2 | 0,466  | 0,038833333  |              |             |             |             |            |            |            |            |
| SPL33 3 | 0,037  | 0,003083333  | 0,0251538889 | 0,019285921 | 0,050138889 | 0,05898693  | 0,0296875  | 134,736842 | 0,00794771 | 0,79477124 |
| SPL34 1 | 0,247  | 0,020583333  |              |             |             |             |            |            |            |            |
| SPL34 2 | 0,208  | 0,017333333  |              |             |             |             |            |            |            |            |
| SPL34 3 | 0,379  | 0,031583333  | 0,023166667  | 0,007467987 | 0,048166667 | 0,056666667 | 0,05895833 | 67,844523  | 0,00384452 | 0,3844523  |
| SPL35 1 | 0,424  | 0,035333333  |              |             |             |             |            |            |            |            |
| SPL35 2 | 0,045  | 0,00375      |              |             |             |             |            |            |            |            |
| SPL35 3 | 0,539  | 0,044916667  | 0,028        | 0,02154082  | 0,053       | 0,06235294  | 0,03135417 | 127,574751 | 0,00795466 | 0,79546609 |
| SPL36 1 | 0,133  | 0,011083333  |              |             |             |             |            |            |            |            |
| SPL36 2 | -0,306 | -0,0255      |              |             |             |             |            |            |            |            |
| SPL36 3 | -0,199 | -0,016583333 | -0,010333333 | 0,01907569  | 0,014666667 | 0,0172549   | 0,0115625  | 432,432432 | 0,00746158 | 0,74615792 |
| SPL37 1 | 0,059  | 0,004916667  |              |             |             |             |            |            |            |            |
| SPL37 2 | -0,115 | -0,009583333 |              |             |             |             |            |            |            |            |
| SPL37 3 | 0,126  | 0,0105       | 0,001944444  | 0,010366323 | 0,026944444 | 0,15849673  | 0,01708333 | 234,146341 | 0,03711143 | 3,71114299 |
| SPL38 1 | 0,079  | 0,006583333  |              |             |             |             |            |            |            |            |
| SPL38 2 | 0,531  | 0,04425      |              |             |             |             |            |            |            |            |
| SPL38 3 | 0,552  | 0,046        | 0,032277778  | 0,022269238 | 0,057277778 | 0,06738562  | 0,034375   | 116,363636 | 0,00784124 | 0,78412359 |

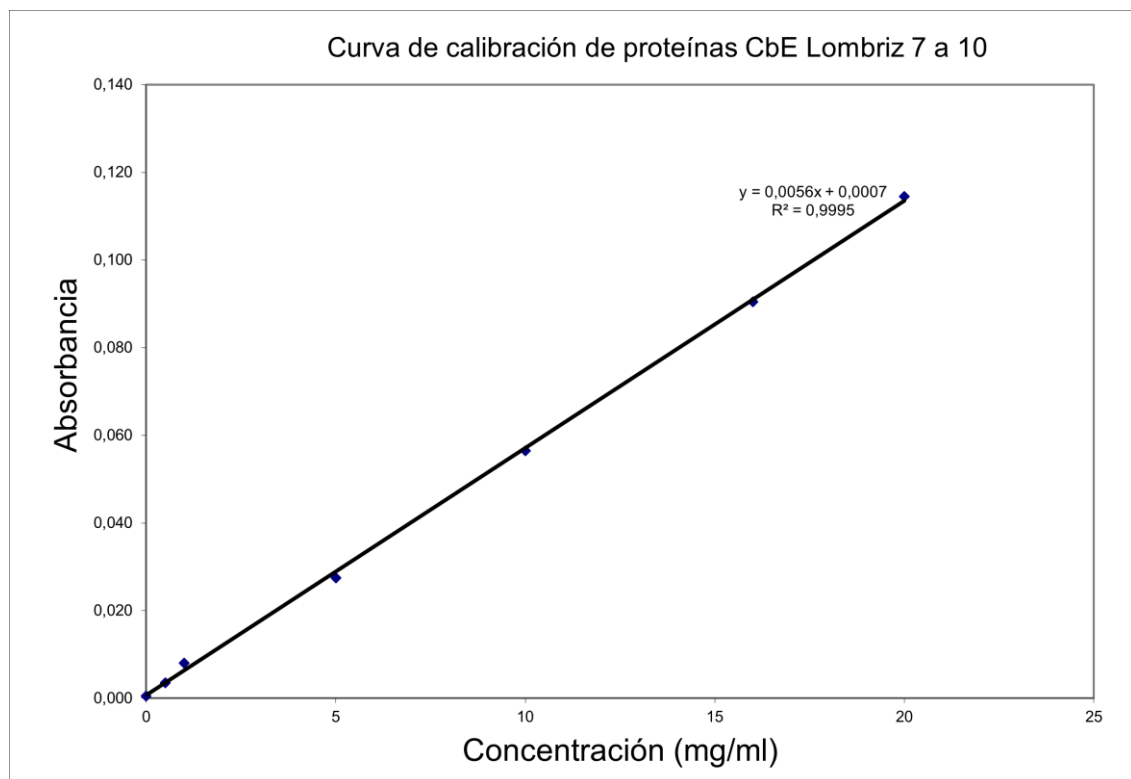
|         |       |             |             |             |             |             |       |            |            |            |  |
|---------|-------|-------------|-------------|-------------|-------------|-------------|-------|------------|------------|------------|--|
| SPL39 1 | 1,232 | 0,102666667 |             |             |             |             |       |            |            |            |  |
| SPL39 2 | 0,957 | 0,07975     |             |             |             |             |       |            |            |            |  |
| SPL39 3 | 1,229 | 0,102416667 | 0,094944444 | 0,013159369 | 0,119944444 | 0,141111111 | 0,015 | 266,666667 | 0,03762963 | 3,76296296 |  |
| SPL40 1 | 1,514 | 0,126166667 |             |             |             |             |       |            |            |            |  |
| SPL40 2 | 1,434 | 0,1195      |             |             |             |             |       |            |            |            |  |

| Lombriz N°30 a 32 | INICIAL-FINAL | ABS*MIN      | PROMEDIO     | CV          | ABS LIQUIDA | PROTEINAS   |             |             | A*B/1000    | UI/mg proteina |
|-------------------|---------------|--------------|--------------|-------------|-------------|-------------|-------------|-------------|-------------|----------------|
| BLK 1             | -0,76         | -0,063333333 |              |             |             |             |             |             |             |                |
| BLK 2             | 0,016         | 0,001333333  |              |             |             |             |             |             |             |                |
| BLK 3             | -0,049        | -0,004083333 | -0,022027778 | 0,03587404  |             |             |             |             |             |                |
| SPL1 1            | 0,208         | 0,017333333  |              |             |             |             |             |             |             |                |
| SPL1 2            | 0,036         | 0,003        |              |             |             |             |             |             |             |                |
| SPL1 3            | 0,288         | 0,024        | 0,014777778  | 0,010730711 | 0,036805556 | 0,04        | 0,024324324 | 205,5555556 | 0,00890069  | 0,890068991    |
| SPL2 1            | 0,12          | 0,01         |              |             |             |             |             |             |             |                |
| SPL2 2            | 0,015         | 0,00125      |              |             |             |             |             |             |             |                |
| SPL2 3            | 0,011         | 0,000916667  | 0,004055556  | 0,005150737 | 0,026083333 | 0,15        | 0,054189189 | 73,81546135 | 0,011325608 | 1,132560755    |
| SPL3 1            | 0,561         | 0,04675      |              |             |             |             |             |             |             |                |
| SPL3 2            | 1,185         | 0,09875      |              |             |             |             |             |             |             |                |
| SPL3 3            | 0,98          | 0,081666667  | 0,075722222  | 0,02650476  | 0,09775     | 0,115       | 0,016351351 | 244,6280992 | 0,028132231 | 2,81322314     |
| SPL4 1            | 0,077         | 0,006416667  |              |             |             |             |             |             |             |                |
| SPL4 2            | 0,357         | 0,02975      |              |             |             |             |             |             |             |                |
| SPL4 3            | 0,112         | 0,009333333  | 0,015166667  | 0,012713455 | 0,037194444 | 0,04375817  | 0,042432432 | 94,26751592 | 0,004124974 | 0,412497398    |
| SPL5 1            | 0,155         | 0,012916667  |              |             |             |             |             |             |             |                |
| SPL5 2            | 0,423         | 0,03525      |              |             |             |             |             |             |             |                |
| SPL5 3            | 0,469         | 0,039083333  | 0,029083333  | 0,014131328 | 0,051111111 | 0,300653595 | 0,023918919 | 167,2316384 | 0,050278793 | 5,027879325    |
| SPL6 1            | 0,173         | 0,014416667  |              |             |             |             |             |             |             |                |
| SPL6 2            | -0,312        | -0,026       |              |             |             |             |             |             |             |                |
| SPL6 3            | -0,077        | -0,006       | 0,020211555  | 0,016027778 | 0,018856209 | 0,027972973 | 178,7439614 | 0,003370434 | 0,337043352 |                |
| SPL7 1            | 0,914         | 0,076166667  |              |             |             |             |             |             |             |                |
| SPL7 2            | 0,576         | 0,048        |              |             |             |             |             |             |             |                |
| SPL7 3            | 1,082         | 0,090166667  | 0,071444444  | 0,0214763   | 0,093472222 | 0,10996732  | 0,018108108 | 220,8955224 | 0,024291289 | 2,429128865    |
| SPL8 1            | 0,04          | 0,003333333  |              |             |             |             |             |             |             |                |
| SPL8 2            | 0,051         | 0,00425      |              |             |             |             |             |             |             |                |
| SPL8 3            | -0,233        | -0,019416667 | 0,003944444  | 0,013407174 | 0,018083333 | 0,106372549 | 0,088513514 | 45,19083969 | 0,004807065 | 0,480706481    |
| SPL9 1            | 0,079         | 0,006583333  |              |             |             |             |             |             |             |                |
| SPL9 2            | -0,257        | -0,021416667 |              |             |             |             |             |             |             |                |
| SPL9 3            | 0,131         | 0,010916667  | -0,001305556 | 0,017550984 | 0,020722222 | 0,024379085 | 0,065810811 | 60,78028747 | 0,001481768 | 0,148176779    |
| SPL10 1           | 0,588         | 0,049        |              |             |             |             |             |             |             |                |
| SPL10 2           | 0,667         | 0,055583333  |              |             |             |             |             |             |             |                |
| SPL10 3           | 0,575         | 0,047916667  | 0,050833333  | 0,00414913  | 0,072861111 | 0,428594771 | 0,018648649 | 214,4927536 | 0,091930473 | 9,193047267    |
| SPL11 1           | -0,333        | -0,02775     |              |             |             |             |             |             |             |                |
| SPL11 2           | -0,094        | -0,007833333 |              |             |             |             |             |             |             |                |
| SPL11 3           | 0,014         | 0,001166667  | -0,011472222 | 0,014797788 | 0,010555556 | 0,012418301 | 0,024324324 | 205,5555556 | 0,002552651 | 0,255265069    |
| SPL12 1           | 0,096         | 0,008        |              |             |             |             |             |             |             |                |
| SPL12 2           | 0,101         | 0,008416667  |              |             |             |             |             |             |             |                |
| SPL12 3           | -0,405        | -0,03375     | -0,005777778 | 0,024225551 | 0,01625     | 0,095588235 | 0,020945946 | 190,9677419 | 0,018254269 | 1,825426945    |
| SPL13 1           | 0,024         | 0,002        |              |             |             |             |             |             |             |                |
| SPL13 2           | 0,039         | 0,00325      |              |             |             |             |             |             |             |                |
| SPL13 3           | 0,067         | 0,005583333  | 0,003611111  | 0,001818755 | 0,025638889 | 0,150816993 | 0,017297297 | 231,25      | 0,03487643  | 3,487642974    |
| SPL14 1           | 0,142         | 0,011833333  |              |             |             |             |             |             |             |                |
| SPL14 2           | 0,158         | 0,013166667  |              |             |             |             |             |             |             |                |
| SPL14 3           | 0,272         | 0,022666667  | 0,015888889  | 0,005907465 | 0,037916667 | 0,044607843 | 0,028783784 | 138,9671362 | 0,006199024 | 0,619902421    |
| SPL15 1           | 0,626         | 0,052166667  |              |             |             |             |             |             |             |                |
| SPL15 2           | 0,013         | 0,001083333  |              |             |             |             |             |             |             |                |
| SPL15 3           | 0,074         | 0,006166667  | 0,019805556  | 0,028140562 | 0,041833333 | 0,246078431 | 0,022027027 | 181,595092  | 0,044686635 | 4,468663539    |

| Lombriz N°33 a 36 | INICIAL-FINAL | ABS*MIN      | PROTEINAS   |            |             | UI/mg proteina |
|-------------------|---------------|--------------|-------------|------------|-------------|----------------|
| BLK 1             | 0,023         | 0,001916667  |             |            |             |                |
| BLK 2             | 0,033         | 0,00275      |             |            |             |                |
| BLK 3             | 0,03          | 0,0025       | 0,00238889  | 0,00042763 |             |                |
| SPL1 1            | -0,785        | -0,065416667 |             |            |             |                |
| SPL1 2            | 0,074         | 0,006166667  |             |            |             |                |
| SPL1 3            | -0,222        | -0,0185      | -0,02591667 | 0,03636342 | -0,02830556 | -0,03          |
| SPL2 1            | 0,288         | 0,024        |             |            |             |                |
| SPL2 2            | 0,486         | 0,0405       |             |            |             |                |
| SPL2 3            | 0,493         | 0,041083333  | 0,03519444  | 0,00969906 | 0,03280556  | 0,04           |
| SPL3 1            | -0,056        | -0,004666667 |             |            |             |                |
| SPL3 2            | 0,209         | 0,017416667  |             |            |             |                |
| SPL3 3            | 0,161         | 0,013416667  | 0,00872222  | 0,01176634 | 0,00633333  | 0,0372549      |
| SPL4 1            | 0,297         | 0,02475      |             |            |             |                |
| SPL4 2            | -0,095        | -0,00791667  |             |            |             |                |
| SPL4 3            | -0,037        | -0,003083333 | 0,00458333  | 0,01763125 | 0,00219444  | 0,0025817      |
| SPL5 1            | 1,553         | 0,129416667  |             |            |             |                |
| SPL5 2            | 1,366         | 0,113833333  |             |            |             |                |
| SPL5 3            | 1,165         | 0,097083333  | 0,11344444  | 0,01617017 | 0,11105556  | 0,65326797     |
| SPL6 1            | 0,086         | 0,007166667  |             |            |             |                |
| SPL6 2            | -0,024        | -0,002       |             |            |             |                |
| SPL6 3            | 0,135         | 0,01125      | 0,00547222  | 0,00678557 | 0,00308333  | 0,00362745     |
|                   |               |              |             |            | 0,019625    | 254,77707      |
|                   |               |              |             |            |             | 0,00092419     |
|                   |               |              |             |            |             | 0,09241913     |

|         |        |              |                 |            |                 |                 |          |            |                 |                 |  |
|---------|--------|--------------|-----------------|------------|-----------------|-----------------|----------|------------|-----------------|-----------------|--|
| SPL7 1  | -0,027 | -0,00225     |                 |            |                 |                 |          |            |                 |                 |  |
| SPL7 2  | -0,065 | -0,00541667  |                 |            |                 |                 |          |            |                 |                 |  |
| SPL7 3  | 0,076  | 0,006333333  | -<br>0,00044444 | 0,00607953 | -<br>0,00283333 | -<br>0,01666667 | 0,0275   | 145,454545 | -<br>0,00242424 | -<br>0,24242424 |  |
| SPL8 1  | 0,768  | 0,064        |                 |            |                 |                 |          |            |                 |                 |  |
| SPL8 2  | 0,924  | 0,077        |                 |            |                 |                 |          |            |                 |                 |  |
| SPL8 3  | 1,084  | 0,090333333  | 0,07711111      | 0,01316702 | 0,07472222      | 0,0879085       | 0,016625 | 240,601504 | 0,02115092      | 2,11509165      |  |
| SPL9 1  | 0,041  | 0,003416667  |                 |            |                 |                 |          |            |                 |                 |  |
| SPL9 2  | 0,33   | 0,0275       |                 |            |                 |                 |          |            |                 |                 |  |
| SPL9 3  | 0,104  | 0,008666667  | 0,01319444      | 0,01266402 | 0,01080556      | 0,01271242      | 0,02675  | 149,53271  | 0,00190092      | 0,19009224      |  |
| SPL10 1 | 1,243  | 0,103583333  |                 |            |                 |                 |          |            |                 |                 |  |
| SPL10 2 | 0,872  | 0,072666667  |                 |            |                 |                 |          |            |                 |                 |  |
| SPL10 3 | 0,934  | 0,077833333  | 0,08469444      | 0,01656098 | 0,08230556      | 0,48415033      | 0,022875 | 174,863388 | 0,08466017      | 8,46601664      |  |
| SPL11 1 | 0,163  | 0,013583333  |                 |            |                 |                 |          |            |                 |                 |  |
| SPL11 2 | 0,125  | 0,010416667  |                 |            |                 |                 |          |            |                 |                 |  |
| SPL11 3 | 0,168  | 0,014        | 0,012666667     | 0,00195966 | 0,01027778      | 0,0120915       | 0,017125 | 291,970803 | 0,00353037      | 0,35303659      |  |
| SPL12 1 | 0,599  | 0,049916667  |                 |            |                 |                 |          |            |                 |                 |  |
| SPL12 2 | 0,021  | 0,00175      |                 |            |                 |                 |          |            |                 |                 |  |
| SPL12 3 | 0,038  | 0,003166667  | 0,01827778      | 0,02740924 | 0,01588889      | 0,01869281      | 0,01875  | 213,333333 | 0,0039878       | 0,39877996      |  |
| SPL13 1 | 0,373  | 0,031083333  |                 |            |                 |                 |          |            |                 |                 |  |
| SPL13 2 | 0,509  | 0,042416667  |                 |            |                 |                 |          |            |                 |                 |  |
| SPL13 3 | 0,403  | 0,033583333  | 0,03569444      | 0,0059543  | 0,03330556      | 0,19591503      | 0,047375 | 84,4327177 | 0,01654164      | 1,65416386      |  |
| SPL14 1 | 0,638  | 0,053166667  |                 |            |                 |                 |          |            |                 |                 |  |
| SPL14 2 | 0,7    | 0,058333333  |                 |            |                 |                 |          |            |                 |                 |  |
| SPL14 3 | 0,051  | 0,00425      | 0,03858333      | 0,02984555 | 0,03619444      | 0,0425817       | 0,027625 | 144,79638  | 0,00616568      | 0,61656759      |  |
| SPL15 1 | 0,908  | 0,075666667  |                 |            |                 |                 |          |            |                 |                 |  |
| SPL15 2 | 0,506  | 0,042166667  |                 |            |                 |                 |          |            |                 |                 |  |
| SPL15 3 | 0,245  | 0,020416667  | 0,04608333      | 0,02783246 | 0,04369444      | 0,25702614      | 0,018125 | 220,689655 | 0,05672301      | 5,6723011       |  |
| SPL16 1 | 0,014  | 0,001166667  |                 |            |                 |                 |          |            |                 |                 |  |
| SPL16 2 | -0,166 | -0,013833333 |                 |            |                 |                 |          |            |                 |                 |  |
| SPL16 3 | -0,007 | -0,00058333  | -<br>0,00441667 | 0,00820188 | -<br>0,00680556 | -<br>0,00800654 | 0,026125 | 191,38756  | -<br>0,00153235 | -<br>0,15323514 |  |
| SPL17 1 | 1,149  | 0,09575      |                 |            |                 |                 |          |            |                 |                 |  |
| SPL17 2 | 0,821  | 0,068416667  |                 |            |                 |                 |          |            |                 |                 |  |
| SPL17 3 | 0,485  | 0,040416667  | 0,06819444      | 0,02766734 | 0,06580556      | 0,0774183       | 0,058375 | 68,5224839 | 0,00530489      | 0,53048943      |  |
| SPL18 1 | 1,156  | 0,096333333  |                 |            |                 |                 |          |            |                 |                 |  |
| SPL18 2 | 0,936  | 0,078        |                 |            |                 |                 |          |            |                 |                 |  |
| SPL18 3 | 1,339  | 0,111583333  | 0,09530556      | 0,01681524 | 0,09291667      | 0,10931373      | 0,02475  | 161,616162 | 0,01766686      | 1,76668647      |  |
| SPL19 1 | 0,061  | 0,005083333  |                 |            |                 |                 |          |            |                 |                 |  |
| SPL19 2 | 0,206  | 0,017166667  |                 |            |                 |                 |          |            |                 |                 |  |
| SPL19 3 | 0,009  | 0,00075      | 0,007666667     | 0,00850776 | 0,00527778      | 0,00620915      | 0,017    | 235,294118 | 0,00146098      | 0,14609765      |  |
| SPL20 1 | 0,688  | 0,057333333  |                 |            |                 |                 |          |            |                 |                 |  |
| SPL20 2 | 0,975  | 0,08125      |                 |            |                 |                 |          |            |                 |                 |  |
| SPL20 3 | 0,608  | 0,050666667  | 0,06308333      | 0,01608204 | 0,06069444      | 0,35702614      | 0,0175   | 228,571429 | 0,08160598      | 8,16059757      |  |

Anexo 2: Curvas de calibración, tablas con datos de absorbancias y cálculo de actividad enzimática de CbE para los distintos órganos (VS, BM, IA, IM, PM) diseccionados de *L. terrestris* (n=36).



| Lombriz<br>Nº1 y 2 | INICIAL-<br>FINAL<br>(delta abs) | ABS*MIN<br>(primer<br>paso) | PROTEINAS  |            |            |            |            |            |             |            | UI/mg<br>proteina |
|--------------------|----------------------------------|-----------------------------|------------|------------|------------|------------|------------|------------|-------------|------------|-------------------|
| BLK 1              | 0,113                            | 0,009416667                 |            |            |            |            |            |            |             |            |                   |
| BLK 2              | 0,135                            | 0,01125                     |            |            |            |            |            |            |             |            |                   |
| BLK 3              | 0,135                            | 0,01125                     | 0,01033333 | 0,00129636 |            |            |            |            |             |            |                   |
| SPL1 1             | 0,248                            | 0,020666667                 |            |            |            |            |            |            |             |            |                   |
| SPL1 2             | 0,146                            | 0,012166667                 | 0,01641667 | 0,00601041 | 0,00608333 | 0,04       | 0,83783784 | 4,77419355 | 0,00017873  | 0,01787262 |                   |
| SPL2 1             | 0,1                              | 0,00833333                  |            |            |            |            |            |            |             |            |                   |
| SPL2 2             | 0,09                             | 0,0075                      | 0,00791667 | 0,00058926 | -          | -0,01      | 0,81756757 | 4,89256198 | -7,2761E-05 | -          | 0,00727612        |
| SPL3 1             | 0,3                              | 0,025                       |            |            | 0,00241667 |            |            |            |             |            |                   |
| SPL3 2             | 0,123                            | 0,01025                     | 0,017625   | 0,01042983 | 0,00729167 | 0,04487179 | 0,81756757 | 4,89256198 | 0,00021954  | 0,0219538  |                   |
| SPL4 1             | 0,304                            | 0,025333333                 |            |            |            |            |            |            |             |            |                   |
| SPL4 2             | 0,16                             | 0,013333333                 | 0,01933333 | 0,00848528 | 0,009      | 0,05538462 | 0,83108108 | 4,81300813 | 0,00026657  | 0,02665666 |                   |
| SPL5 1             | 0,064                            | 0,005333333                 |            |            |            |            |            |            |             |            |                   |
| SPL5 2             | 0,079                            | 0,006583333                 | 0,00595833 | 0,00088388 | -0,004375  | -          | 0,7972973  | 5,01694915 | -           | -          | 0,01350717        |
| SPL6 1             | 0,091                            | 0,007583333                 |            |            |            |            |            |            |             |            |                   |
| SPL6 2             | 0,162                            | 0,0135                      | 0,01054167 | 0,00418372 | 0,00020833 | 0,00128205 | 0,83108108 | 4,81300813 | 6,1705E-06  | 0,00061705 |                   |
| SPL7 1             | 0,222                            | 0,0185                      |            |            |            |            |            |            |             |            |                   |
| SPL7 2             | 0,617                            | 0,051416667                 | 0,03495833 | 0,0232756  | 0,024625   | 0,15153846 | 0,7972973  | 5,01694915 | 0,00076026  | 0,07602608 |                   |
| SPL8 1             | 0,065                            | 0,005416667                 |            |            |            |            |            |            |             |            |                   |
| SPL8 2             | 0,062                            | 0,005166667                 | 0,00529167 | 0,00017678 | -          | 0,00504167 | 0,03102564 | 0,64864865 | 6,16666667  | -          | 0,00019132        |
| SPL9 1             | 0,084                            | 0,007                       |            |            |            |            |            |            |             |            |                   |
| SPL9 2             | 0,05                             | 0,004166667                 | 0,00558333 | 0,00200347 | -0,00475   | -          | 4,40540541 | 0,90797546 | -2,6541E-05 | -          | 0,00265408        |
| SPL10 1            | 0,116                            | 0,009666667                 |            |            |            |            |            |            |             |            |                   |
| SPL11 2            | 0,216                            | 0,018                       | 0,01383333 | 0,00589256 | 0,0035     | 0,02153846 | 1,65540541 | 2,41632653 | 5,2044E-05  | 0,0052044  |                   |

| Lombriz<br>Nº 3 a 6 | INICIAL-<br>FINAL | ABS*MIN     | PROTEINAS<br>mg/mL |             |            |             |             |            |            |            | UI/mg<br>proteina |
|---------------------|-------------------|-------------|--------------------|-------------|------------|-------------|-------------|------------|------------|------------|-------------------|
| BLK 1               | 0,113             | 0,009416667 |                    |             |            |             |             |            |            |            |                   |
| BLK 2               | 0,135             | 0,01125     |                    |             |            |             |             |            |            |            |                   |
| BLK 3               | 0,135             | 0,01125     | 0,01063889         | 0,001058475 |            |             |             |            |            |            |                   |
| SPL1 1              | 0,241             | 0,020083333 |                    |             |            |             |             |            |            |            |                   |
| SPL1 2              | 0,199             | 0,016583333 |                    |             |            |             |             |            |            |            |                   |
| SPL1 3              | 0,194             | 0,016166667 | 0,01761111         | 0,002151119 | 0,00697222 | 0,04        | 0,904411765 | 27,6422764 | 0,00118602 | 0,1186019  |                   |
| SPL2 1              | 0,506             | 0,042166667 |                    |             |            |             |             |            |            |            |                   |
| SPL2 2              | 0,067             | 0,005583333 |                    |             |            |             |             |            |            |            |                   |
| SPL2 3              | 0,248             | 0,020666667 | 0,02280556         | 0,018385217 | 0,01216667 | 0,07        | 0,897058824 | 27,8688525 | 0,00208659 | 0,2086591  |                   |
| SPL3 1              | 0,146             | 0,012166667 |                    |             |            |             |             |            |            |            |                   |
| SPL3 2              | 0,1               | 0,008333333 |                    |             |            |             |             |            |            |            |                   |
| SPL3 3              | 0,09              | 0,0075      | 0,00933333         | 0,002488864 | -          | -0,01       | 0,867647059 | 28,8135593 | -          | 0,00023149 | 0,02314936        |
| SPL4 1              | 0,3               | 0,025       |                    |             |            |             |             |            |            |            |                   |
| SPL4 2              | 0,123             | 0,01025     |                    |             |            |             |             |            |            |            |                   |
| SPL4 3              | 0,304             | 0,025333333 | 0,02019444         | 0,008613754 | 0,00955556 | 0,06        | 0,860294118 | 29,0598291 | 0,00170882 | 0,17088173 |                   |
| SPL5 1              | 0,123             | 0,01025     |                    |             |            |             |             |            |            |            |                   |
| SPL5 2              | 0,304             | 0,025333333 |                    |             |            |             |             |            |            |            |                   |
| SPL5 3              | 0,181             | 0,015083333 | 0,01688889         | 0,007702062 | 0,00625    | 0,04        | 0,794117647 | 31,4814815 | 0,00121083 | 0,12108262 |                   |
| SPL6 1              | 0,162             | 0,0135      |                    |             |            |             |             |            |            |            |                   |
| SPL6 2              | 0,222             | 0,0185      |                    |             |            |             |             |            |            |            |                   |
| SPL6 3              | 0,134             | 0,011166667 | 0,01438889         | 0,003746603 | 0,00375    | 0,02        | 0,867647059 | 28,8135593 | 0,00066493 | 0,06649283 |                   |
| SPL7 1              | 0,064             | 0,005333333 |                    |             |            |             |             |            |            |            |                   |
| SPL7 2              | 0,079             | 0,006583333 |                    |             |            |             |             |            |            |            |                   |
| SPL7 3              | 0,069             | 0,00575     | 0,00588889         | 0,000636469 | -0,00475   | -           | 0,845588235 | 29,5652174 | -          | 0,00086421 | -0,0864214        |
| SPL8 1              | 0,05              | 0,004166667 |                    |             |            |             |             |            |            |            |                   |
| SPL8 2              | 0,116             | 0,009666667 |                    |             |            |             |             |            |            |            |                   |
| SPL8 3              | 0,051             | 0,00425     | 0,00602778         | 0,003151646 | -          | -           | 0,875       | 28,5714286 | -          | 0,00081074 | -0,08107448       |
| SPL9 1              | 0,131             | 0,010916667 |                    |             |            |             |             |            |            |            |                   |
| SPL9 2              | 0,188             | 0,015666667 |                    |             |            |             |             |            |            |            |                   |
| SPL9 3              | 0,156             | 0,013       | 0,01319444         | 0,002380962 | 0,00255556 | 0,015726496 | 0,889705882 | 28,0991736 | 0,0004419  | 0,04419015 |                   |
| SPL10 1             | 0,18              | 0,015       |                    |             |            |             |             |            |            |            |                   |
| SPL10 2             | 0,102             | 0,0085      |                    |             |            |             |             |            |            |            |                   |
| SPL10 3             | 0,56              | 0,046666667 | 0,02338889         | 0,020419444 | 0,01275    | 0,078461538 | 0,875       | 28,5714286 | 0,00224176 | 0,22417582 |                   |
| SPL11 1             | 0,395             | 0,032916667 |                    |             |            |             |             |            |            |            |                   |
| SPL11 2             | 0,356             | 0,029666667 |                    |             |            |             |             |            |            |            |                   |
| SPL11 3             | 0,158             | 0,013166667 | 0,02525            | 0,010589893 | 0,01461111 | 0,08991453  | 0,948529412 | 26,3565891 | 0,00236984 | 0,23698403 |                   |
| SPL12 1             | 0,064             | 0,005333333 |                    |             |            |             |             |            |            |            |                   |
| SPL12 2             | 0,064             | 0,005333333 |                    |             |            |             |             |            |            |            |                   |
| SPL12 3             | 0,127             | 0,010583333 | 0,00708333         | 0,003031089 | -          | -           | 0,860294118 | 29,0598291 | -          | 0,00063584 | -0,0635839        |
| SPL13 1             | 0,087             | 0,00725     |                    |             |            |             |             |            |            |            |                   |
| SPL13 2             | 0,614             | 0,051166667 |                    |             |            |             |             |            |            |            |                   |
| SPL13 3             | 0,095             | 0,007916667 | 0,02211111         | 0,025165057 | 0,01147222 | 0,070598291 | 0,786764706 | 31,7757009 | 0,00224331 | 0,22433102 |                   |
| SPL14 1             | 0,74              | 0,061666667 |                    |             |            |             |             |            |            |            |                   |
| SPL14 2             | 0,114             | 0,0095      |                    |             |            |             |             |            |            |            |                   |
| SPL14 3             | 0,123             | 0,01025     | 0,02713889         | 0,029904284 | 0,0165     | 0,101538462 | 0,852941176 | 29,3103448 | 0,00297613 | 0,29761273 |                   |
| SPL15 1             | 0,07              | 0,005833333 |                    |             |            |             |             |            |            |            |                   |
| SPL15 2             | 0,15              | 0,0125      |                    |             |            |             |             |            |            |            |                   |
| SPL15 3             | 0,184             | 0,015333333 | 0,01122222         | 0,004877196 | 0,00058333 | 0,003589744 | 0,860294118 | 29,0598291 | 0,00010432 | 0,01043173 |                   |
| SPL16 1             | 1,008             | 0,084       |                    |             |            |             |             |            |            |            |                   |
| SPL16 2             | 0,391             | 0,032583333 |                    |             |            |             |             |            |            |            |                   |
| SPL16 3             | 0,173             | 0,014416667 | 0,043666667        | 0,036091416 | 0,03302778 | 0,203247863 | 0,948529412 | 26,3565891 | 0,00535692 | 0,53569204 |                   |
| SPL17 1             | 0,629             | 0,052416667 |                    |             |            |             |             |            |            |            |                   |
| SPL17 2             | 0,633             | 0,05275     |                    |             |            |             |             |            |            |            |                   |
| SPL17 3             | 0,062             | 0,005166667 | 0,03677778         | 0,027376533 | 0,02613889 | 0,160854701 | 0,867647059 | 28,8135593 | 0,0046348  | 0,46347965 |                   |
| SPL18 1             | 0,276             | 0,023       |                    |             |            |             |             |            |            |            |                   |

|         |       |             |             |             |            |             |             |            |            |            |  |
|---------|-------|-------------|-------------|-------------|------------|-------------|-------------|------------|------------|------------|--|
| SPL18 2 | 0,169 | 0,014083333 |             |             |            |             |             |            |            |            |  |
| SPL18 3 | 0,077 | 0,006416667 | 0,0145      | 0,008299515 | 0,00386111 | 0,023760684 | 0,867647059 | 28,8135593 | 0,00068463 | 0,06846299 |  |
| SPL19 1 | 0,256 | 0,021333333 |             |             |            |             |             |            |            |            |  |
| SPL19 2 | 0,047 | 0,003916667 |             |             |            |             |             |            |            |            |  |
| SPL19 3 | 0,213 | 0,01775     | 0,014333333 | 0,009197297 | 0,00369444 | 0,022735043 | 0,882352941 | 28,3333333 | 0,00064416 | 0,06441595 |  |
| SPL20 1 | 0,259 | 0,021583333 |             |             |            |             |             |            |            |            |  |
| SPL20 2 | 0,505 | 0,042083333 |             |             |            |             |             |            |            |            |  |
| SPL20 3 | 0,153 | 0,01275     | 0,02547222  | 0,015048379 | 0,01483333 | 0,091282051 | 0,867647059 | 28,8135593 | 0,00263016 | 0,26301608 |  |

| Lombriz<br>N° 7 a 10 | INICIAL-<br>FINAL | ABS*MIN     | PROTEINAS<br>mg/mL |             |            |             | UI/mg<br>proteína |            |            |
|----------------------|-------------------|-------------|--------------------|-------------|------------|-------------|-------------------|------------|------------|
| BLK 1                | 0,064             | 0,005333333 |                    |             |            |             |                   |            |            |
| BLK 2                | 0,052             | 0,004333333 |                    |             |            |             |                   |            |            |
| BLK 3                | 0,059             | 0,004916667 | 0,00486111         | 0,000502309 |            |             |                   |            |            |
| SPL1 1               | 0,128             | 0,010666667 |                    |             |            |             |                   |            |            |
| SPL1 2               | 0,139             | 0,011583333 |                    |             |            |             |                   |            |            |
| SPL1 3               | 0,123             | 0,01025     | 0,01083333         | 0,000682113 | 0,00597222 | 0,04        | 0,544642857       | 45,9016393 | 0,00168698 |
| SPL2 1               | 0,375             | 0,03125     |                    |             |            |             |                   |            |            |
| SPL2 2               | 0,433             | 0,036083333 |                    |             |            |             |                   |            |            |
| SPL2 3               | 0,415             | 0,034583333 | 0,03397222         | 0,002473938 | 0,02911111 | 0,18        | 0,535714286       | 46,6666667 | 0,00836011 |
| SPL3 1               | 0,095             | 0,007916667 |                    |             |            |             |                   |            |            |
| SPL3 2               | 0,099             | 0,00825     |                    |             |            |             |                   |            |            |
| SPL3 3               | 0,769             | 0,064083333 | 0,02675            | 0,032332045 | 0,02188889 | 0,13        | 0,522321429       | 47,8632479 | 0,00644722 |
| SPL4 1               | 0,065             | 0,005416667 |                    |             |            |             |                   |            |            |
| SPL4 2               | 0,195             | 0,01625     |                    |             |            |             |                   |            |            |
| SPL4 3               | 0,296             | 0,024666667 | 0,01544444         | 0,009650249 | 0,01058333 | 0,07        | 0,522321429       | 47,8632479 | 0,00311725 |
| SPL5 1               | 0,106             | 0,008833333 |                    |             |            |             |                   |            |            |
| SPL5 2               | 0,106             | 0,008833333 |                    |             |            |             |                   |            |            |
| SPL5 3               | 0,296             | 0,024666667 | 0,01411111         | 0,009141379 | 0,00925    | 0,06        | 0,535714286       | 46,6666667 | 0,00265641 |
| SPL6 1               | 0,164             | 0,013666667 |                    |             |            |             |                   |            |            |
| SPL6 2               | 0,178             | 0,014833333 |                    |             |            |             |                   |            |            |
| SPL6 3               | 0,145             | 0,012083333 | 0,01352778         | 0,001380251 | 0,00866667 | 0,05        | 0,526785714       | 47,4576271 | 0,00253107 |
| SPL7 1               | 0,51              | 0,0425      |                    |             |            |             |                   |            |            |
| SPL7 2               | 0,139             | 0,011583333 |                    |             |            |             |                   |            |            |
| SPL7 3               | 0,301             | 0,025083333 | 0,02638889         | 0,015499627 | 0,02152778 | 0,132478632 | 0,526785714       | 47,4576271 | 0,00628712 |
| SPL8 1               | 0,079             | 0,006583333 |                    |             |            |             |                   |            |            |
| SPL8 2               | 0,165             | 0,01375     |                    |             |            |             |                   |            |            |
| SPL8 3               | 0,062             | 0,005166667 | 0,0085             | 0,004601479 | 0,00363889 | 0,022393162 | 0,526785714       | 47,4576271 | 0,00106273 |
| SPL9 1               | 0,27              | 0,0225      |                    |             |            |             |                   |            |            |
| SPL9 2               | 0,057             | 0,00475     |                    |             |            |             |                   |            |            |
| SPL9 3               | 0,054             | 0,0045      | 0,01058333         | 0,010320893 | 0,00572222 | 0,035213675 | 0,526785714       | 47,4576271 | 0,00167116 |
| SPL10 1              | 0,073             | 0,006083333 |                    |             |            |             |                   |            |            |
| SPL10 2              | 0,406             | 0,033833333 |                    |             |            |             |                   |            |            |
| SPL10 3              | 0,068             | 0,005666667 | 0,01519444         | 0,016143096 | 0,01033333 | 0,063589744 | 0,526785714       | 47,4576271 | 0,00301782 |
| SPL11 1              | 0,252             | 0,021       |                    |             |            |             |                   |            |            |
| SPL11 2              | 0,268             | 0,022333333 |                    |             |            |             |                   |            |            |
| SPL11 3              | 0,151             | 0,012583333 | 0,01863889         | 0,005286469 | 0,01377778 | 0,084786325 | 0,53125           | 47,0588235 | 0,00398994 |
| SPL12 1              | 0,591             | 0,04925     |                    |             |            |             |                   |            |            |
| SPL12 2              | 0,168             | 0,014       |                    |             |            |             |                   |            |            |
| SPL12 3              | 0,231             | 0,01925     | 0,0275             | 0,019018083 | 0,02263889 | 0,139316239 | 0,53125           | 47,0588235 | 0,00655606 |
| SPL13 1              | 0,359             | 0,029916667 |                    |             |            |             |                   |            |            |
| SPL13 2              | 0,099             | 0,00825     |                    |             |            |             |                   |            |            |
| SPL13 3              | 0,201             | 0,01675     | 0,01830556         | 0,010916773 | 0,01344444 | 0,082735043 | 0,535714286       | 46,6666667 | 0,00386097 |
| SPL14 1              | 0,057             | 0,00475     |                    |             |            |             |                   |            |            |
| SPL14 2              | 0,061             | 0,005083333 |                    |             |            |             |                   |            |            |
| SPL14 3              | 0,247             | 0,020583333 | 0,01013889         | 0,00904669  | 0,00527778 | 0,032478632 | 0,522321429       | 47,8632479 | 0,00155453 |
| SPL15 1              | 0,589             | 0,049083333 |                    |             |            |             |                   |            |            |
| SPL15 2              | 0,396             | 0,033       |                    |             |            |             |                   |            |            |
| SPL15 3              | 0,552             | 0,046       | 0,04269444         | 0,008536008 | 0,03783333 | 0,232820513 | 0,535714286       | 46,6666667 | 0,01086496 |
| SPL16 1              | 0,125             | 0,010416667 |                    |             |            |             |                   |            |            |
| SPL16 2              | 0,608             | 0,050666667 |                    |             |            |             |                   |            |            |
| SPL16 3              | 0,317             | 0,026416667 | 0,02916667         | 0,020265426 | 0,02430556 | 0,14957265  | 0,589285714       | 42,4242424 | 0,00634551 |
| SPL17 1              | 0,487             | 0,040583333 |                    |             |            |             |                   |            |            |
| SPL17 2              | 0,609             | 0,05075     |                    |             |            |             |                   |            |            |
| SPL17 3              | 0,281             | 0,023416667 | 0,03825            | 0,013815249 | 0,03338889 | 0,205470085 | 0,571428571       | 43,75      | 0,00898932 |
| SPL18 1              | 0,119             | 0,009916667 |                    |             |            |             |                   |            |            |
| SPL18 2              | 0,177             | 0,01475     |                    |             |            |             |                   |            |            |
| SPL18 3              | 0,112             | 0,009333333 | 0,011333333        | 0,00297326  | 0,00647222 | 0,03982906  | 0,544642857       | 45,9016393 | 0,00182822 |
| SPL19 1              | 0,049             | 0,004083333 |                    |             |            |             |                   |            |            |
| SPL19 2              | 0,654             | 0,0545      |                    |             |            |             |                   |            |            |
| SPL19 3              | 0,063             | 0,00525     | 0,02127778         | 0,028777201 | 0,01641667 | 0,101025641 | 0,526785714       | 47,4576271 | 0,00479444 |
| SPL20 1              | 0,197             | 0,016416667 |                    |             |            |             |                   |            |            |
| SPL20 2              | 0,349             | 0,029083333 |                    |             |            |             |                   |            |            |
| SPL20 3              | 0,157             | 0,013083333 | 0,01952778         | 0,00844152  | 0,01466667 | 0,09025641  | 0,558035714       | 44,8       | 0,00404349 |
|                      |                   |             |                    |             |            |             |                   |            | 0,40434872 |

| Lombriz<br>N°11 a<br>16 | INICIAL-<br>FINAL | ABS*MIN     | PROTEINAS<br>mg/mL |             |            |           | UI/mg<br>proteína |            |            |
|-------------------------|-------------------|-------------|--------------------|-------------|------------|-----------|-------------------|------------|------------|
| BLK 1                   | 0,049             | 0,004083333 |                    |             |            |           |                   |            |            |
| BLK 2                   | 0,048             | 0,004       |                    |             |            |           |                   |            |            |
| BLK 3                   | 0,047             | 0,003916667 | 0,004              | 8,33333E-05 |            |           |                   |            |            |
| SPL1 1                  | 0,126             | 0,0105      |                    |             |            |           |                   |            |            |
| SPL1 2                  | 0,108             | 0,009       |                    |             |            |           |                   |            |            |
| SPL1 3                  | 0,1               | 0,008333333 | 0,00927778         | 0,001109721 | 0,00527778 | 0,0324786 | 0,545454545       | 45,8333333 | 0,0014886  |
| SPL2 1                  | 0,098             | 0,008166667 |                    |             |            |           |                   |            |            |
| SPL2 2                  | 0,1               | 0,008333333 |                    |             |            |           |                   |            |            |
| SPL2 3                  | 0,088             | 0,007333333 | 0,00794444         | 0,000535758 | 0,00394444 | 0,0242735 | 0,531818182       | 47,008547  | 0,00114106 |
| SPL3 1                  | 0,083             | 0,006916667 |                    |             |            |           |                   |            |            |
| SPL3 2                  | 0,06              | 0,005       |                    |             |            |           |                   |            |            |
| SPL3 3                  | 0,059             | 0,004916667 | 0,00561111         | 0,001131412 | 0,00161111 | 0,0099145 | 0,531818182       | 47,008547  | 0,00046607 |
| SPL4 1                  | 0,055             | 0,004583333 |                    |             |            |           |                   |            |            |
| SPL4 2                  | 0,062             | 0,005166667 |                    |             |            |           |                   |            |            |
| SPL4 3                  | 0,048             | 0,004       | 0,00458333         | 0,000583333 | 0,00058333 | 0,0035897 | 0,540909091       | 46,2184874 | 0,00016591 |
|                         |                   |             |                    |             |            |           |                   |            | 0,01659125 |

| SPL5 1  | 0,069 | 0,00575      |            |             |             |             |             |            |            |             |  |  |  |
|---------|-------|--------------|------------|-------------|-------------|-------------|-------------|------------|------------|-------------|--|--|--|
| SPL5 2  | 0,067 | 0,005583333  |            |             |             |             |             |            |            |             |  |  |  |
| SPL5 3  | 0,062 | 0,005166667  | 0,0055     | 0,000300463 | 0,0015      | 0,0092308   | 0,536363636 | 46,6101695 | 0,00043025 | 0,04302477  |  |  |  |
| SPL6 1  | 0,167 | 0,013916667  |            |             |             |             |             |            |            |             |  |  |  |
| SPL6 2  | 0,15  | 0,0125       |            |             |             |             |             |            |            |             |  |  |  |
| SPL6 3  | 0,158 | 0,013166667  | 0,01319444 | 0,000708742 | 0,00919444  | 0,0565812   | 0,545454545 | 45,8333333 | 0,0025933  | 0,25933048  |  |  |  |
| SPL7 1  | 0,105 | 0,00875      |            |             |             |             |             |            |            |             |  |  |  |
| SPL7 2  | 0,096 | 0,008        |            |             |             |             |             |            |            |             |  |  |  |
| SPL7 3  | 0,096 | 0,008        | 0,00825    | 0,000433013 | 0,00425     | 0,026153846 | 0,536363636 | 46,6101695 | 0,00121904 | 0,12190352  |  |  |  |
| SPL8 1  | 0,058 | 0,004833333  |            |             |             |             |             |            |            |             |  |  |  |
| SPL8 2  | 0,061 | 0,005083333  |            |             |             |             |             |            |            |             |  |  |  |
| SPL8 3  | 0,144 | 0,012        | 0,00730556 | 0,004067429 | 0,00330556  | 0,02034188  | 0,536363636 | 46,6101695 | 0,00094814 | 0,09481385  |  |  |  |
| SPL9 1  | 0,054 | 0,0045       |            |             |             |             |             |            |            |             |  |  |  |
| SPL9 2  | 0,051 | 0,00425      |            |             |             |             |             |            |            |             |  |  |  |
| SPL9 3  | 0,051 | 0,00425      | 0,00433333 | 0,000144338 | 0,00033333  | 0,002051282 | 0,536363636 | 46,6101695 | 9,5611E-05 | 0,00956106  |  |  |  |
| SPL10 1 | 0,367 | 0,030583333  |            |             |             |             |             |            |            |             |  |  |  |
| SPL10 2 | 0,066 | 0,0055       |            |             |             |             |             |            |            |             |  |  |  |
| SPL10 3 | 0,065 | 0,005416667  | 0,01383333 | 0,014505985 | 0,00983333  | 0,060512821 | 0,540909091 | 46,2184874 | 0,00279681 | 0,2796811   |  |  |  |
| SPL11 1 | 0,156 | 0,013        |            |             |             |             |             |            |            |             |  |  |  |
| SPL11 2 | 0,138 | 0,0115       |            |             |             |             |             |            |            |             |  |  |  |
| SPL11 3 | 0,163 | 0,013583333  | 0,01269444 | 0,001074752 | 0,00869444  | 0,053504274 | 0,545454545 | 45,8333333 | 0,00245228 | 0,24522792  |  |  |  |
| SPL12 1 | 0,132 | 0,011        |            |             |             |             |             |            |            |             |  |  |  |
| SPL12 2 | 0,127 | 0,010583333  |            |             |             |             |             |            |            |             |  |  |  |
| SPL12 3 | 0,142 | 0,011833333  | 0,01113889 | 0,000636469 | 0,00713889  | 0,043931624 | 0,540909091 | 46,2184874 | 0,00203045 | 0,20304532  |  |  |  |
| SPL13 1 | 0,068 | 0,005666667  |            |             |             |             |             |            |            |             |  |  |  |
| SPL13 2 | 0,065 | 0,005416667  |            |             |             |             |             |            |            |             |  |  |  |
| SPL13 3 | 0,07  | 0,005833333  | 0,00563889 | 0,000209718 | 0,00163889  | 0,01008547  | 0,531818182 | 47,008547  | 0,0004741  | 0,04741033  |  |  |  |
| SPL14 1 | 0,053 | 0,004416667  |            |             |             |             |             |            |            |             |  |  |  |
| SPL14 2 | 0,053 | 0,004416667  |            |             |             |             |             |            |            |             |  |  |  |
| SPL14 3 | 0,054 | 0,0045       | 0,00444444 | 4,81125E-05 | 0,00044444  | 0,002735043 | 0,531818182 | 47,008547  | 0,00012857 | 0,01285704  |  |  |  |
| SPL15 1 | 0,055 | 0,004583333  |            |             |             |             |             |            |            |             |  |  |  |
| SPL15 2 | 0,067 | 0,005583333  |            |             |             |             |             |            |            |             |  |  |  |
| SPL15 3 | 0,065 | 0,005416667  | 0,00519444 | 0,000535758 | 0,00119444  | 0,007350427 | 0,531818182 | 47,008547  | 0,00034553 | 0,03455329  |  |  |  |
| SPL16 1 | 0,137 | 0,011416667  |            |             |             |             |             |            |            |             |  |  |  |
| SPL16 2 | 0,145 | 0,012083333  |            |             |             |             |             |            |            |             |  |  |  |
| SPL16 3 | 0,143 | 0,011916667  | 0,01180556 | 0,000346944 | 0,00780556  | 0,048034188 | 0,604545455 | 41,3533835 | 0,00198638 | 0,19863762  |  |  |  |
| SPL17 1 | 0,218 | 0,018166667  |            |             |             |             |             |            |            |             |  |  |  |
| SPL17 2 | 0,209 | 0,017416667  |            |             |             |             |             |            |            |             |  |  |  |
| SPL17 3 | 0,411 | 0,03425      | 0,02327778 | 0,00950962  | 0,01927778  | 0,118632479 | 0,554545455 | 45,0819672 | 0,00534819 | 0,53481855  |  |  |  |
| SPL18 1 | 0,202 | 0,016833333  |            |             |             |             |             |            |            |             |  |  |  |
| SPL18 2 | 0,066 | 0,0055       |            |             |             |             |             |            |            |             |  |  |  |
| SPL18 3 | 0,142 | 0,011833333  | 0,01138889 | 0,005679724 | 0,00738889  | 0,045470085 | 0,55        | 45,4545455 | 0,00206682 | 0,20668221  |  |  |  |
| SPL19 1 | 0,059 | 0,004916667  |            |             |             |             |             |            |            |             |  |  |  |
| SPL19 2 | 0,056 | 0,004666667  |            |             |             |             |             |            |            |             |  |  |  |
| SPL19 3 | 0,059 | 0,0049416667 | 0,00483333 | 0,000144338 | 0,00083333  | 0,005128205 | 0,545454545 | 45,8333333 | 0,00023504 | 0,02350427  |  |  |  |
| SPL20 1 | 0,209 | 0,017416667  |            |             |             |             |             |            |            |             |  |  |  |
| SPL20 2 | 0,092 | 0,007666667  |            |             |             |             |             |            |            |             |  |  |  |
| SPL20 3 | 0,355 | 0,029583333  | 0,01822222 | 0,010980517 | 0,01422222  | 0,087521368 | 0,554545455 | 45,0819672 | 0,00394564 | 0,39456354  |  |  |  |
| SPL21 1 | 0,138 | 0,0115       |            |             |             |             |             |            |            |             |  |  |  |
| SPL21 2 | 0,157 | 0,013083333  |            |             |             |             |             |            |            |             |  |  |  |
| SPL21 3 | 0,373 | 0,031083333  | 0,01855556 | 0,010878219 | 0,01455556  | 0,08957265  | 0,559090909 | 44,7154472 | 0,00400528 | 0,40052811  |  |  |  |
| SPL22 1 | 0,171 | 0,01425      |            |             |             |             |             |            |            |             |  |  |  |
| SPL22 2 | 0,172 | 0,014333333  |            |             |             |             |             |            |            |             |  |  |  |
| SPL22 3 | 0,169 | 0,014083333  | 0,01422222 | 0,000127294 | 0,01022222  | 0,062905983 | 0,577272727 | 43,3070866 | 0,00272427 | 0,27242749  |  |  |  |
| SPL23 1 | 0,067 | 0,005583333  |            |             |             |             |             |            |            |             |  |  |  |
| SPL23 2 | 0,067 | 0,005583333  |            |             |             |             |             |            |            |             |  |  |  |
| SPL23 3 | 0,068 | 0,005666667  | 0,00561111 | 4,81125E-05 | 0,00161111  | 0,00991453  | 0,527272727 | 47,4137931 | 0,00047009 | 0,04700855  |  |  |  |
| SPL24 1 | 0,054 | 0,0045       |            |             |             |             |             |            |            |             |  |  |  |
| SPL24 2 | 0,053 | 0,004416667  |            |             |             |             |             |            |            |             |  |  |  |
| SPL24 3 | 0,062 | 0,005166667  | 0,00469444 | 0,000411074 | 0,00069444  | 0,004273504 | 0,572727273 | 43,6507937 | 0,00018654 | 0,01865419  |  |  |  |
| SPL25 1 | 0,113 | 0,009416667  |            |             |             |             |             |            |            |             |  |  |  |
| SPL25 2 | 0,17  | 0,014166667  |            |             |             |             |             |            |            |             |  |  |  |
| SPL25 3 | 0,105 | 0,00875      | 0,01077778 | 0,002953733 | 0,00677778  | 0,041709402 | 0,581818182 | 42,96875   | 0,0017922  | 0,17922009  |  |  |  |
| SPL26 1 | 0,217 | 0,018083333  |            |             |             |             |             |            |            |             |  |  |  |
| SPL26 2 | 0,165 | 0,01375      |            |             |             |             |             |            |            |             |  |  |  |
| SPL26 3 | 0,138 | 0,0115       | 0,01444444 | 0,003346156 | 0,01044444  | 0,064273504 | 0,545454545 | 45,8333333 | 0,00294587 | 0,29458689  |  |  |  |
| SPL27 1 | 0,127 | 0,010583333  |            |             |             |             |             |            |            |             |  |  |  |
| SPL27 2 | 0,13  | 0,010833333  |            |             |             |             |             |            |            |             |  |  |  |
| SPL27 3 | 0,115 | 0,009583333  | 0,01033333 | 0,000661438 | 0,00633333  | 0,038974359 | 0,536363636 | 46,6101695 | 0,0018166  | 0,18166015  |  |  |  |
| SPL28 1 | 0,064 | 0,005333333  |            |             |             |             |             |            |            |             |  |  |  |
| SPL28 2 | 0,125 | 0,010416667  |            |             |             |             |             |            |            |             |  |  |  |
| SPL28 3 | 0,081 | 0,00675      | 0,0075     | 0,002623346 | 0,0035      | 0,021538462 | 0,531818182 | 47,008547  | 0,00101249 | 0,10124918  |  |  |  |
| SPL29 1 | 0,047 | 0,003916667  |            |             |             |             |             |            |            |             |  |  |  |
| SPL29 2 | 0,049 | 0,004048333  |            |             |             |             |             |            |            |             |  |  |  |
| SPL29 3 | 0,046 | 0,003833333  | 0,00394444 | 0,000127294 | -5,5556E-05 | -0,00034188 | 0,545454545 | 45,8333333 | -1,567E-05 | -0,00156695 |  |  |  |
| SPL24 1 | 0,073 | 0,006083333  |            |             |             |             |             |            |            |             |  |  |  |
| SPL24 2 | 0,075 | 0,00625      |            |             |             |             |             |            |            |             |  |  |  |
| SPL24 3 | 0,078 | 0,0065       | 0,00627778 | 0,000209718 | 0,00227778  | 0,014017094 | 0,554545455 | 45,0819672 | 0,00063192 | 0,06319182  |  |  |  |

| Lombriz N°17 a 22 | INICIAL-FINAL | ABS*MIN     | PROTEINAS mg/mL |             |            |           |             |            | UI/mg proteína |
|-------------------|---------------|-------------|-----------------|-------------|------------|-----------|-------------|------------|----------------|
| BLK 1             | 0,051         | 0,00425     |                 |             |            |           |             |            |                |
| BLK 2             | 0,047         | 0,003916667 |                 |             |            |           |             |            |                |
| BLK 3             | 0,604         | 0,050333333 | 0,0195          | 0,02670297  |            |           |             |            |                |
| SPL1 1            | 0,585         | 0,04875     |                 |             |            |           |             |            |                |
| SPL1 2            | 0,243         | 0,02025     |                 |             |            |           |             |            |                |
| SPL1 3            | 0,357         | 0,02975     | 0,03291667      | 0,01451149  | 0,01341667 | 0,0825641 | 0,516393443 | 48,4126984 | 0,00399715     |
| SPL2 1            | 0,126         | 0,0105      |                 |             |            |           |             |            |                |
| SPL2 2            | 0,149         | 0,012416667 |                 |             |            |           |             |            |                |
| SPL2 3            | 0,483         | 0,04025     | 0,02105556      | 0,016650478 | 0,00155556 | 0,0095726 | 0,491803279 | 50,8333333 | 0,00048661     |
| SPL3 1            | 0,17          | 0,014166667 |                 |             |            |           |             |            |                |
| SPL3 2            | 0,578         | 0,048166667 |                 |             |            |           |             |            |                |
| SPL3 3            | 0,122         | 0,010166667 | 0,02416667      | 0,020880613 | 0,00466667 | 0,0287179 | 0,491803279 | 50,8333333 | 0,00145983     |
| SPL4 1            | 0,164         | 0,013666667 |                 |             |            |           |             |            |                |

| Lombriz  | INICIAL-FINAL | ABS*MIN     |            |             |             |              |             | PROTEINAS mg/mL |             | UI/mg proteína |
|----------|---------------|-------------|------------|-------------|-------------|--------------|-------------|-----------------|-------------|----------------|
| SPL4 2   | 0,096         | 0,008       |            |             |             |              |             |                 |             |                |
| SPL4 3   | 0,084         | 0,007       | 0,00955556 | 0,003595264 | -0,00994444 | -0,0611966   | 0,508196721 | 49,1935484      | -0,00301048 | -0,3010477     |
| SPL5 1   | 0,146         | 0,012166667 |            |             |             |              |             |                 |             |                |
| SPL5 2   | 0,546         | 0,0455      |            |             |             |              |             |                 |             |                |
| SPL5 3   | 0,241         | 0,020083333 | 0,02591667 | 0,01741547  | 0,00641667  | 0,0394872    | 0,5         | 50              | 0,00197436  | 0,1974359      |
| SPL6 1   | 0,204         | 0,017       |            |             |             |              |             |                 |             |                |
| SPL6 2   | 0,303         | 0,02525     |            |             |             |              |             |                 |             |                |
| SPL6 3   | 0,59          | 0,049166667 | 0,03047222 | 0,016707104 | 0,01097222  | 0,0675214    | 0,516393443 | 48,4126984      | 0,00326889  | 0,32688916     |
| SPL7 1   | 0,08          | 0,006666667 |            |             |             |              |             |                 |             |                |
| SPL7 2   | 0,167         | 0,013916667 |            |             |             |              |             |                 |             |                |
| SPL7 3   | 0,074         | 0,006166667 | 0,00891667 | 0,004337338 | -0,01058333 | 0,065128205  | 0,495901639 | 50,4132231      | -0,00328332 | 0,32833227     |
| SPL8 1   | 0,065         | 0,005416667 |            |             |             |              |             |                 |             |                |
| SPL8 2   | 0,4           | 0,033333333 |            |             |             |              |             |                 |             |                |
| SPL8 3   | 0,061         | 0,005083333 | 0,01461111 | 0,016214777 | -0,00488889 | -0,03008547  | 0,491803279 | 50,8333333      | -0,00152934 | 0,15293447     |
| SPL9 1   | 0,06          | 0,005       |            |             |             |              |             |                 |             |                |
| SPL9 2   | 0,413         | 0,034416667 |            |             |             |              |             |                 |             |                |
| SPL9 3   | 0,183         | 0,01525     | 0,01822222 | 0,014931867 | -0,00127778 | -0,007863248 | 0,491803279 | 50,8333333      | -0,00039972 | 0,03997151     |
| SPL10 1  | 0,156         | 0,013       |            |             |             |              |             |                 |             |                |
| SPL10 2  | 0,065         | 0,005416667 |            |             |             |              |             |                 |             |                |
| SPL10 3  | 0,619         | 0,051583333 | 0,02333333 | 0,024757294 | 0,00383333  | 0,023589744  | 0,512295082 | 48,8            | 0,00115118  | 0,11511795     |
| SPL11 1  | 0,33          | 0,0275      |            |             |             |              |             |                 |             |                |
| SPL11 2  | 0,467         | 0,038916667 |            |             |             |              |             |                 |             |                |
| SPL11 3  | 1,104         | 0,092       | 0,05280556 | 0,034420029 | 0,03330556  | 0,204957265  | 0,524590164 | 47,65625        | 0,00976749  | 0,97674947     |
| SPL12 1  | 0,182         | 0,015166667 |            |             |             |              |             |                 |             |                |
| SPL12 2  | 0,204         | 0,017       |            |             |             |              |             |                 |             |                |
| SPL12 3  | 0,187         | 0,015583333 | 0,01591667 | 0,000961047 | -0,00358333 | -0,022051282 | 0,504098361 | 49,5934959      | -0,0010936  | -0,10936002    |
| SPL13 1  | 0,259         | 0,021583333 |            |             |             |              |             |                 |             |                |
| SPL13 2  | 0,108         | 0,009       |            |             |             |              |             |                 |             |                |
| SPL13 3  | 0,135         | 0,01125     | 0,01394444 | 0,006710447 | -0,00555556 | -0,034188034 | 0,5         | 50              | -0,0017094  | -0,17094017    |
| SPL14 1  | 0,078         | 0,0065      |            |             |             |              |             |                 |             |                |
| SPL14 2  | 0,209         | 0,017416667 |            |             |             |              |             |                 |             |                |
| SPL14 3  | 0,164         | 0,013666667 | 0,01252778 | 0,005546729 | -0,00697222 | -0,042905983 | 0,508196721 | 49,1935484      | -0,0021107  | -0,21106975    |
| SPL15 1  | 0,167         | 0,013916667 |            |             |             |              |             |                 |             |                |
| SPL15 2  | 0,088         | 0,007333333 |            |             |             |              |             |                 |             |                |
| SPL15 3  | 0,536         | 0,044666667 | 0,02197222 | 0,019927705 | 0,00247222  | 0,015213675  | 0,504098361 | 49,5934959      | 0,0007545   | 0,07544993     |
| SPL16 1  | 0,887         | 0,073916667 |            |             |             |              |             |                 |             |                |
| SPL16 2  | 0,184         | 0,015333333 |            |             |             |              |             |                 |             |                |
| SPL16 3  | 0,594         | 0,0495      | 0,04625    | 0,02942658  | 0,02675     | 0,164615385  | 0,487704918 | 51,2605042      | 0,00843827  | 0,84382676     |
| SPL17 1  | 0,452         | 0,037666667 |            |             |             |              |             |                 |             |                |
| SPL17 2  | 0,183         | 0,01525     |            |             |             |              |             |                 |             |                |
| SPL17 3  | 0,511         | 0,042583333 | 0,03183333 | 0,014570471 | 0,01233333  | 0,075897436  | 0,495901639 | 50,4132231      | 0,00382623  | 0,38262344     |
| SPL18 1  | 0,108         | 0,009       |            |             |             |              |             |                 |             |                |
| SPL18 2  | 0,629         | 0,052416667 |            |             |             |              |             |                 |             |                |
| SPL18 3  | 0,378         | 0,0315      | 0,03097222 | 0,021713145 | 0,01147222  | 0,070598291  | 0,5         | 50              | 0,00352991  | 0,35299145     |
| SPL19 1  | 0,21          | 0,0175      |            |             |             |              |             |                 |             |                |
| SPL19 2  | 0,093         | 0,00775     |            |             |             |              |             |                 |             |                |
| SPL19 3  | 0,345         | 0,02875     | 0,018      | 0,010508925 | -0,0015     | -0,009230769 | 0,504098361 | 49,5934959      | -0,00045779 | 0,04577861     |
| SPL20 1  | 0,873         | 0,07275     |            |             |             |              |             |                 |             |                |
| SPL20 2  | 0,695         | 0,057916667 |            |             |             |              |             |                 |             |                |
| SPL20 3  | 0,57          | 0,0475      | 0,05938889 | 0,012689216 | 0,03988889  | 0,245470085  | 0,512295082 | 48,8            | 0,01197894  | 1,19789402     |
| SPL21 1  | 0,513         | 0,04275     |            |             |             |              |             |                 |             |                |
| SPL21 2  | 0,255         | 0,02125     |            |             |             |              |             |                 |             |                |
| SPL21 3  | 0,318         | 0,0265      | 0,03016667 | 0,011209185 | 0,01066667  | 0,065641026  | 0,520491803 | 48,0314961      | 0,00315284  | 0,31528367     |
| SPL22 1  | 0,341         | 0,028416667 |            |             |             |              |             |                 |             |                |
| SPL22 2  | 0,269         | 0,022416667 |            |             |             |              |             |                 |             |                |
| SPL22 3  | 0,697         | 0,058083333 | 0,03630556 | 0,019097217 | 0,01680556  | 0,103418803  | 0,5         | 50              | 0,00517094  | 0,51709402     |
| SPL23 1  | 0,99          | 0,0825      |            |             |             |              |             |                 |             |                |
| SPL23 2  | 0,449         | 0,037416667 |            |             |             |              |             |                 |             |                |
| SPL23 3  | 0,266         | 0,022166667 | 0,04736111 | 0,03137191  | 0,02786111  | 0,171452991  | 0,487704918 | 51,2605042      | 0,00878877  | 0,87887668     |
| SPL24 1  | 0,06          | 0,005       |            |             |             |              |             |                 |             |                |
| SPL24 2  | 0,759         | 0,06325     |            |             |             |              |             |                 |             |                |
| SPL24 3  | 0,084         | 0,007       | 0,02508333 | 0,033068427 | 0,00558333  | 0,034358974  | 0,524590164 | 47,65625        | 0,00163742  | 0,16374199     |
| SPL25 1  | 0,048         | 0,004       |            |             |             |              |             |                 |             |                |
| SPL25 2  | 0,183         | 0,01525     |            |             |             |              |             |                 |             |                |
| SPL25 3  | 0,517         | 0,043083333 | 0,02077778 | 0,020119493 | 0,00127778  | 0,007863248  | 0,467213115 | 53,5087719      | 0,00042075  | 0,04207527     |
| SPL26 1  | 0,141         | 0,01175     |            |             |             |              |             |                 |             |                |
| SPL26 2  | 0,879         | 0,07325     |            |             |             |              |             |                 |             |                |
| SPL26 3  | 0,121         | 0,010083333 | 0,03169444 | 0,035997814 | 0,01219444  | 0,075042735  | 0,512295082 | 48,8            | 0,00366209  | 0,36620855     |
| SPL27 1  | 0,135         | 0,01125     |            |             |             |              |             |                 |             |                |
| SPL27 2  | 1,073         | 0,089416667 |            |             |             |              |             |                 |             |                |
| SPL27 3  | 0,763         | 0,063583333 | 0,05475    | 0,039824964 | 0,03525     | 0,216923077  | 0,516393443 | 48,4126984      | 0,01050183  | 1,05018315     |
| SPL28 1  | 0,447         | 0,03725     |            |             |             |              |             |                 |             |                |
| SPL28 2  | 0,245         | 0,020416667 |            |             |             |              |             |                 |             |                |
| SPL28 3  | 0,811         | 0,067583333 | 0,04175    | 0,023903161 | 0,02225     | 0,136923077  | 0,516393443 | 48,4126984      | 0,00662882  | 0,66288156     |
| SPL29 1  | 0,06          | 0,005       |            |             |             |              |             |                 |             |                |
| SPL29 2  | 0,072         | 0,006       |            |             |             |              |             |                 |             |                |
| SPL29 3  | 0,106         | 0,008833333 | 0,00661111 | 0,001988392 | -0,01288889 | -0,079316239 | 0,5         | 50              | -0,00396581 | -0,3965812     |
| SPL30 1  | 0,073         | 0,006083333 |            |             |             |              |             |                 |             |                |
| SPL 30 2 | 0,075         | 0,00625     |            |             |             |              |             |                 |             |                |
| SPL 30 3 | 0,078         | 0,0065      | 0,00627778 | 0,000209718 | -0,01322222 | -0,081367521 | 0,5         | 50              | -0,00406838 | -0,40683761    |

|          |       |             |            |             |                 |                  |             |            |                 |                 |  |
|----------|-------|-------------|------------|-------------|-----------------|------------------|-------------|------------|-----------------|-----------------|--|
| BLK 3    | 0,047 | 0,003916667 | 0,00838889 | 0,007818396 |                 |                  |             |            |                 |                 |  |
| SPL1 1   | 0,21  | 0,0175      |            |             |                 |                  |             |            |                 |                 |  |
| SPL1 2   | 0,221 | 0,018416667 |            |             |                 |                  |             |            |                 |                 |  |
| SPL1 3   | 0,201 | 0,01675     | 0,01755556 | 0,000834721 | 0,00916667      | 0,0564103        | 0,459016393 | 54,4642857 | 0,00307234      | 0,30723443      |  |
| SPL2 1   | 0,069 | 0,00575     |            |             |                 |                  |             |            |                 |                 |  |
| SPL2 2   | 0,074 | 0,006166667 |            |             |                 |                  |             |            |                 |                 |  |
| SPL2 3   | 0,332 | 0,027666667 | 0,01319444 | 0,012535043 | 0,00480556      | 0,0295726        | 0,545081967 | 45,8646617 | 0,00135634      | 0,13563396      |  |
| SPL3 1   | 0,081 | 0,00675     |            |             |                 |                  |             |            |                 |                 |  |
| SPL3 2   | 0,152 | 0,012666667 |            |             |                 |                  |             |            |                 |                 |  |
| SPL3 3   | 0,059 | 0,004916667 | 0,00811111 | 0,00405032  | -<br>0,00027778 | -0,0017094       | 0,483606557 | 51,6949153 | -8,8367E-<br>05 | -<br>0,00883674 |  |
| SPL4 1   | 0,656 | 0,054666667 |            |             |                 |                  |             |            |                 |                 |  |
| SPL4 2   | 0,278 | 0,023166667 |            |             |                 |                  |             |            |                 |                 |  |
| SPL4 3   | 0,137 | 0,011416667 | 0,02975    | 0,02236394  | 0,02136111      | 0,1314530        | 0,471311475 | 53,0434783 | 0,00697272      | 0,69727239      |  |
| SPL5 1   | 0,571 | 0,047583333 |            |             |                 |                  |             |            |                 |                 |  |
| SPL5 2   | 0,114 | 0,0095      |            |             |                 |                  |             |            |                 |                 |  |
| SPL5 3   | 0,098 | 0,008166667 | 0,02175    | 0,022382254 | 0,01336111      | 0,0822222        | 0,487704918 | 51,2605042 | 0,00421475      | 0,42147526      |  |
| SPL6 1   | 0,237 | 0,01975     |            |             |                 |                  |             |            |                 |                 |  |
| SPL6 2   | 0,22  | 0,018333333 |            |             |                 |                  |             |            |                 |                 |  |
| SPL6 3   | 0,236 | 0,019666667 | 0,01925    | 0,000794949 | 0,01086111      | 0,0668376        | 0,491803279 | 50,8333333 | 0,00339758      | 0,33975783      |  |
| SPL7 1   | 0,148 | 0,012333333 |            |             |                 |                  |             |            |                 |                 |  |
| SPL7 2   | 0,564 | 0,047       |            |             |                 |                  |             |            |                 |                 |  |
| SPL7 3   | 0,145 | 0,012083333 | 0,02380556 | 0,020087367 | 0,01541667      | 0,094871795      | 0,483606557 | 51,6949153 | 0,00490439      | 0,49043894      |  |
| SPL8 1   | 0,066 | 0,0055      |            |             |                 |                  |             |            |                 |                 |  |
| SPL8 2   | 0,067 | 0,005583333 |            |             |                 |                  |             |            |                 |                 |  |
| SPL8 3   | 0,067 | 0,005583333 | 0,00555556 | 4,81125E-05 | -<br>0,00283333 | -<br>0,017435897 | 0,479508197 | 52,1367521 | -<br>0,00090905 | -<br>0,09090511 |  |
| SPL9 1   | 0,059 | 0,004916667 |            |             |                 |                  |             |            |                 |                 |  |
| SPL9 2   | 0,062 | 0,005166667 |            |             |                 |                  |             |            |                 |                 |  |
| SPL9 3   | 0,062 | 0,005166667 | 0,00508333 | 0,000144338 | -<br>0,00330556 | -0,02034188      | 0,483606557 | 51,6949153 | -<br>0,00105157 | -<br>0,10515718 |  |
| SPL10 1  | 0,084 | 0,007       |            |             |                 |                  |             |            |                 |                 |  |
| SPL10 2  | 0,128 | 0,010666667 |            |             |                 |                  |             |            |                 |                 |  |
| SPL10 3  | 0,096 | 0,008       | 0,00855556 | 0,001895414 | 0,00016667      | 0,001025641      | 0,479508197 | 52,1367521 | 5,3474E-05      | 0,00534736      |  |
| SPL11 1  | 0,511 | 0,042583333 |            |             |                 |                  |             |            |                 |                 |  |
| SPL11 2  | 0,315 | 0,02625     |            |             |                 |                  |             |            |                 |                 |  |
| SPL11 3  | 0,169 | 0,014083333 | 0,02763889 | 0,014300673 | 0,01925         | 0,118461538      | 0,483606557 | 51,6949153 | 0,00612386      | 0,61238592      |  |
| SPL12 1  | 0,174 | 0,0145      |            |             |                 |                  |             |            |                 |                 |  |
| SPL12 2  | 0,629 | 0,052416667 |            |             |                 |                  |             |            |                 |                 |  |
| SPL12 3  | 0,559 | 0,046583333 | 0,03783333 | 0,020416667 | 0,02944444      | 0,181196581      | 0,487704918 | 51,2605042 | 0,00928823      | 0,92882281      |  |
| SPL13 1  | 0,408 | 0,034       |            |             |                 |                  |             |            |                 |                 |  |
| SPL13 2  | 0,107 | 0,008916667 |            |             |                 |                  |             |            |                 |                 |  |
| SPL13 3  | 0,327 | 0,02725     | 0,02338889 | 0,012979774 | 0,015           | 0,092307692      | 0,487704918 | 51,2605042 | 0,00473174      | 0,47317388      |  |
| SPL14 1  | 0,306 | 0,0255      |            |             |                 |                  |             |            |                 |                 |  |
| SPL14 2  | 0,051 | 0,00425     |            |             |                 |                  |             |            |                 |                 |  |
| SPL14 3  | 0,051 | 0,00425     | 0,01133333 | 0,012268693 | 0,00294444      | 0,018119658      | 0,475409836 | 52,5862069 | 0,00095284      | 0,09528441      |  |
| SPL15 1  | 0,941 | 0,078416667 |            |             |                 |                  |             |            |                 |                 |  |
| SPL15 2  | 0,117 | 0,00975     |            |             |                 |                  |             |            |                 |                 |  |
| SPL15 3  | 0,135 | 0,01125     | 0,03313889 | 0,039218878 | 0,02475         | 0,152307692      | 0,479508197 | 52,1367521 | 0,00794083      | 0,79408284      |  |
| SPL16 1  | 0,079 | 0,006583333 |            |             |                 |                  |             |            |                 |                 |  |
| SPL16 2  | 0,077 | 0,006416667 |            |             |                 |                  |             |            |                 |                 |  |
| SPL16 3  | 0,08  | 0,006666667 | 0,00655556 | 0,000127294 | -<br>0,00183333 | -<br>0,011282051 | 0,483606557 | 51,6949153 | -<br>0,00058322 | -<br>0,05832247 |  |
| SPL17 1  | 0,111 | 0,00925     |            |             |                 |                  |             |            |                 |                 |  |
| SPL17 2  | 0,107 | 0,008916667 |            |             |                 |                  |             |            |                 |                 |  |
| SPL17 3  | 0,511 | 0,042583333 | 0,02025    | 0,019341952 | 0,01186111      | 0,072991453      | 0,549180328 | 45,5223881 | 0,00332275      | 0,33227452      |  |
| SPL18 1  | 0,06  | 0,005       |            |             |                 |                  |             |            |                 |                 |  |
| SPL18 2  | 0,074 | 0,006166667 |            |             |                 |                  |             |            |                 |                 |  |
| SPL18 3  | 0,062 | 0,005166667 | 0,00544444 | 0,00063099  | -<br>0,00294444 | -<br>0,018119658 | 0,487704918 | 51,2605042 | -<br>0,00092882 | -<br>0,09288228 |  |
| SPL19 1  | 0,354 | 0,0295      |            |             |                 |                  |             |            |                 |                 |  |
| SPL19 2  | 0,051 | 0,00425     |            |             |                 |                  |             |            |                 |                 |  |
| SPL19 3  | 0,318 | 0,0265      | 0,02008333 | 0,013793869 | 0,01169444      | 0,071965812      | 0,540983607 | 46,2121212 | 0,00332569      | 0,33256928      |  |
| SPL20 1  | 0,092 | 0,007666667 |            |             |                 |                  |             |            |                 |                 |  |
| SPL20 2  | 0,115 | 0,009583333 |            |             |                 |                  |             |            |                 |                 |  |
| SPL20 3  | 0,104 | 0,008666667 | 0,00863889 | 0,000958635 | 0,00025         | 0,001538462      | 0,483606557 | 51,6949153 | 7,9531E-05      | 0,00795306      |  |
| SPL21 1  | 0,145 | 0,012083333 |            |             |                 |                  |             |            |                 |                 |  |
| SPL21 2  | 0,172 | 0,014333333 |            |             |                 |                  |             |            |                 |                 |  |
| SPL21 3  | 0,15  | 0,0125      | 0,01297222 | 0,001197026 | 0,00458333      | 0,028205128      | 0,508196721 | 49,1935484 | 0,00138751      | 0,13875103      |  |
| SPL22 1  | 0,212 | 0,017666667 |            |             |                 |                  |             |            |                 |                 |  |
| SPL22 2  | 0,089 | 0,007416667 |            |             |                 |                  |             |            |                 |                 |  |
| SPL22 3  | 0,09  | 0,0075      | 0,01086111 | 0,005893931 | 0,00247222      | 0,015213675      | 0,487704918 | 51,2605042 | 0,00077986      | 0,07798607      |  |
| SPL23 1  | 0,052 | 0,004333333 |            |             |                 |                  |             |            |                 |                 |  |
| SPL23 2  | 0,052 | 0,004333333 |            |             |                 |                  |             |            |                 |                 |  |
| SPL23 3  | 0,052 | 0,004333333 | 0,00433333 | 0           | -<br>0,00405556 | -<br>0,024957265 | 0,491803279 | 50,8333333 | -<br>0,00126866 | -<br>-0,1268661 |  |
| SPL24 1  | 0,059 | 0,004916667 |            |             |                 |                  |             |            |                 |                 |  |
| SPL24 2  | 0,068 | 0,005666667 |            |             |                 |                  |             |            |                 |                 |  |
| SPL24 3  | 0,06  | 0,005       | 0,00519444 | 0,000411074 | -<br>0,00319444 | -0,01965812      | 0,479508197 | 52,1367521 | -<br>0,00102491 | -<br>0,10249105 |  |
| SPL25 1  | 0,145 | 0,012083333 |            |             |                 |                  |             |            |                 |                 |  |
| SPL25 2  | 0,121 | 0,010083333 |            |             |                 |                  |             |            |                 |                 |  |
| SPL25 3  | 0,097 | 0,008083333 | 0,01008333 | 0,002       | 0,00169444      | 0,01042735       | 0,520491803 | 48,0314961 | 0,00050084      | 0,05008412      |  |
| SPL26 1  | 0,326 | 0,027166667 |            |             |                 |                  |             |            |                 |                 |  |
| SPL26 2  | 0,229 | 0,019083333 |            |             |                 |                  |             |            |                 |                 |  |
| SPL26 3  | 0,224 | 0,018666667 | 0,02163889 | 0,004791727 | 0,01325         | 0,081538462      | 0,487704918 | 51,2605042 | 0,0041797       | 0,41797027      |  |
| SPL27 1  | 0,183 | 0,01525     |            |             |                 |                  |             |            |                 |                 |  |
| SPL27 2  | 0,146 | 0,012166667 |            |             |                 |                  |             |            |                 |                 |  |
| SPL27 3  | 0,185 | 0,015416667 | 0,01427778 | 0,001830174 | 0,00588889      | 0,036239316      | 0,487704918 | 51,2605042 | 0,00185765      | 0,18576456      |  |
| SPL28 1  | 0,123 | 0,01025     |            |             |                 |                  |             |            |                 |                 |  |
| SPL28 2  | 0,545 | 0,045416667 |            |             |                 |                  |             |            |                 |                 |  |
| SPL28 3  | 0,062 | 0,005166667 | 0,02027778 | 0,021918779 | 0,01188889      | 0,073162393      | 0,479508197 | 52,1367521 | 0,00381445      | 0,38144496      |  |
| SPL29 1  | 0,05  | 0,004166667 |            |             |                 |                  |             |            |                 |                 |  |
| SPL29 2  | 0,059 | 0,004916667 |            |             |                 |                  |             |            |                 |                 |  |
| SPL29 3  | 0,048 | 0,004       | 0,00436111 | 0,000488289 | -<br>0,00402778 | -<br>0,024786325 | 0,483606557 | 51,6949153 | -<br>0,00128133 | -<br>-0,1281327 |  |
| SPL30 1  | 0,371 | 0,030916667 |            |             |                 |                  |             |            |                 |                 |  |
| SPL 30 2 | 0,098 | 0,008166667 |            |             |                 |                  |             |            |                 |                 |  |

|          |       |             |            |             |         |             |             |            |            |            |
|----------|-------|-------------|------------|-------------|---------|-------------|-------------|------------|------------|------------|
| SPL 30 3 | 0,094 | 0,007833333 | 0,01563889 | 0,013231993 | 0,00725 | 0,044615385 | 0,483606557 | 51,6949153 | 0,00230639 | 0,23063885 |
|----------|-------|-------------|------------|-------------|---------|-------------|-------------|------------|------------|------------|

| Lombriz<br>N°29 a 32 | INICIAL-<br>FINAL | ABS*MIN     |            |             |            |             | PROTEINAS<br>mg/mL |            |            | UI/mg<br>proteina |
|----------------------|-------------------|-------------|------------|-------------|------------|-------------|--------------------|------------|------------|-------------------|
| BLK 1                | 0,047             | 0,003916667 |            |             |            |             |                    |            |            |                   |
| BLK 2                | 0,053             | 0,004416667 |            |             |            |             |                    |            |            |                   |
| BLK 3                | 0,053             | 0,004416667 | 0,00425    | 0,000288675 |            |             |                    |            |            |                   |
| SPL1 1               | 0,167             | 0,013916667 |            |             |            |             |                    |            |            |                   |
| SPL1 2               | 0,401             | 0,033416667 |            |             |            |             |                    |            |            |                   |
| SPL1 3               | 0,235             | 0,019583333 | 0,02230556 | 0,010030971 | 0,01805556 | 0,1111111   | 0,5                | 50         | 0,00555556 | 0,55555556        |
| SPL2 1               | 0,457             | 0,038083333 |            |             |            |             |                    |            |            |                   |
| SPL2 2               | 0,525             | 0,04375     |            |             |            |             |                    |            |            |                   |
| SPL2 3               | 0,486             | 0,0405      | 0,04077778 | 0,002843527 | 0,03652778 | 0,2247863   | 0,472222222        | 52,9411765 | 0,01190045 | 1,19004525        |
| SPL3 1               | 0,14              | 0,011666667 |            |             |            |             |                    |            |            |                   |
| SPL3 2               | 0,163             | 0,013583333 |            |             |            |             |                    |            |            |                   |
| SPL3 3               | 0,148             | 0,012333333 | 0,01252778 | 0,000973016 | 0,00827778 | 0,0509402   | 0,464285714        | 53,8461538 | 0,00274293 | 0,27429323        |
| SPL4 1               | 0,089             | 0,007416667 |            |             |            |             |                    |            |            |                   |
| SPL4 2               | 0,099             | 0,00825     |            |             |            |             |                    |            |            |                   |
| SPL4 3               | 0,242             | 0,020166667 | 0,01194444 | 0,007132834 | 0,00769444 | 0,0473504   | 0,444444444        | 56,25      | 0,00266346 | 0,26634615        |
| SPL5 1               | 0,686             | 0,057166667 |            |             |            |             |                    |            |            |                   |
| SPL5 2               | 0,171             | 0,01425     |            |             |            |             |                    |            |            |                   |
| SPL5 3               | 0,459             | 0,03825     | 0,03655556 | 0,02150845  | 0,03230556 | 0,1988034   | 0,472222222        | 52,9411765 | 0,01052489 | 1,05248869        |
| SPL6 1               | 0,171             | 0,01425     |            |             |            |             |                    |            |            |                   |
| SPL6 2               | 0,173             | 0,014416667 |            |             |            |             |                    |            |            |                   |
| SPL6 3               | 0,152             | 0,012666667 | 0,01377778 | 0,000965852 | 0,00952778 | 0,0586325   | 0,503968254        | 49,6062992 | 0,00290854 | 0,29085403        |
| SPL7 1               | 0,568             | 0,047333333 |            |             |            |             |                    |            |            |                   |
| SPL7 2               | 0,19              | 0,015833333 |            |             |            |             |                    |            |            |                   |
| SPL7 3               | 0,148             | 0,012333333 | 0,02516667 | 0,019276497 | 0,02091667 | 0,128717949 | 0,476190476        | 52,5       | 0,00675769 | 0,67576923        |
| SPL8 1               | 0,204             | 0,017       |            |             |            |             |                    |            |            |                   |
| SPL8 2               | 0,086             | 0,007166667 |            |             |            |             |                    |            |            |                   |
| SPL8 3               | 0,276             | 0,023       | 0,01572222 | 0,007993632 | 0,01147222 | 0,070598291 | 0,476190476        | 52,5       | 0,00370641 | 0,37064103        |
| SPL9 1               | 0,175             | 0,014583333 |            |             |            |             |                    |            |            |                   |
| SPL9 2               | 0,082             | 0,006833333 |            |             |            |             |                    |            |            |                   |
| SPL9 3               | 0,119             | 0,009916667 | 0,01044444 | 0,003901863 | 0,00619444 | 0,038119658 | 0,492063492        | 50,8064516 | 0,00193672 | 0,19367246        |
| SPL10 1              | 0,175             | 0,014583333 |            |             |            |             |                    |            |            |                   |
| SPL10 2              | 0,198             | 0,0165      |            |             |            |             |                    |            |            |                   |
| SPL10 3              | 0,197             | 0,016416667 | 0,01583333 | 0,001083333 | 0,01158333 | 0,071282051 | 0,496031746        | 50,4       | 0,00359262 | 0,35926154        |
| SPL11 1              | 0,225             | 0,01875     |            |             |            |             |                    |            |            |                   |
| SPL11 2              | 0,192             | 0,016       |            |             |            |             |                    |            |            |                   |
| SPL11 3              | 0,144             | 0,012       | 0,01558333 | 0,003394235 | 0,01133333 | 0,06974359  | 0,496031746        | 50,4       | 0,00351508 | 0,35150769        |
| SPL12 1              | 0,187             | 0,015583333 |            |             |            |             |                    |            |            |                   |
| SPL12 2              | 0,212             | 0,017666667 |            |             |            |             |                    |            |            |                   |
| SPL12 3              | 0,126             | 0,0105      | 0,01458333 | 0,003686499 | 0,01033333 | 0,063589744 | 0,448412698        | 55,7522124 | 0,00354527 | 0,35452689        |
| SPL13 1              | 0,054             | 0,0045      |            |             |            |             |                    |            |            |                   |
| SPL13 2              | 0,343             | 0,028583333 |            |             |            |             |                    |            |            |                   |
| SPL13 3              | 0,056             | 0,004666667 | 0,01258333 | 0,013856657 | 0,00833333 | 0,051282051 | 0,503968254        | 49,6062992 | 0,00254391 | 0,25439128        |
| SPL14 1              | 0,092             | 0,007666667 |            |             |            |             |                    |            |            |                   |
| SPL14 2              | 0,054             | 0,0045      |            |             |            |             |                    |            |            |                   |
| SPL14 3              | 0,057             | 0,00475     | 0,00563889 | 0,00176055  | 0,00138889 | 0,008547009 | 0,476190476        | 52,5       | 0,00044872 | 0,04487179        |
| SPL15 1              | 0,083             | 0,006916667 |            |             |            |             |                    |            |            |                   |
| SPL15 2              | 0,078             | 0,0065      |            |             |            |             |                    |            |            |                   |
| SPL15 3              | 0,101             | 0,008416667 | 0,00727778 | 0,001008069 | 0,00302778 | 0,018632479 | 0,484126984        | 51,6393443 | 0,00096217 | 0,0962169         |
| SPL16 1              | 0,121             | 0,010833333 |            |             |            |             |                    |            |            |                   |
| SPL16 2              | 0,072             | 0,006       |            |             |            |             |                    |            |            |                   |
| SPL16 3              | 0,23              | 0,019166667 | 0,01175    | 0,006739704 | 0,0075     | 0,046153846 | 0,51984127         | 48,0916031 | 0,00221961 | 0,22196124        |
| SPL17 1              | 0,298             | 0,024833333 |            |             |            |             |                    |            |            |                   |
| SPL17 2              | 0,14              | 0,011666667 |            |             |            |             |                    |            |            |                   |
| SPL17 3              | 0,162             | 0,0135      | 0,01666667 | 0,007131698 | 0,01241667 | 0,076410256 | 0,48015873         | 52,0661157 | 0,00397839 | 0,39783853        |
| SPL18 1              | 0,1               | 0,008333333 |            |             |            |             |                    |            |            |                   |
| SPL18 2              | 0,075             | 0,00625     |            |             |            |             |                    |            |            |                   |
| SPL18 3              | 0,107             | 0,008916667 | 0,00783333 | 0,001401884 | 0,00358333 | 0,022051282 | 0,5                | 50         | 0,00110256 | 0,11025641        |
| SPL19 1              | 0,353             | 0,029416667 |            |             |            |             |                    |            |            |                   |
| SPL19 2              | 0,182             | 0,015166667 |            |             |            |             |                    |            |            |                   |
| SPL19 3              | 0,071             | 0,005916667 | 0,01683333 | 0,011838321 | 0,01258333 | 0,077435897 | 0,484126984        | 51,6393443 | 0,00399874 | 0,3998739         |
| SPL20 1              | 0,157             | 0,013083333 |            |             |            |             |                    |            |            |                   |
| SPL20 2              | 0,219             | 0,01825     |            |             |            |             |                    |            |            |                   |
| SPL20 3              | 0,157             | 0,013083333 | 0,01480556 | 0,002982976 | 0,01055556 | 0,064957265 | 0,468253968        | 53,3898305 | 0,00346806 | 0,34680574        |

| Lombrices<br>N°33 a 36 | INICIAL-<br>FINAL | ABS*MIN     |             |             |             |           | PROTEINAS<br>mg/mL |            |            | UI/mg<br>proteina |
|------------------------|-------------------|-------------|-------------|-------------|-------------|-----------|--------------------|------------|------------|-------------------|
| BLK 1                  | 0,049             | 0,004083333 |             |             |             |           |                    |            |            |                   |
| BLK 2                  | 0,051             | 0,00425     |             |             |             |           |                    |            |            |                   |
| BLK 3                  | 0,048             | 0,004       | 0,00411111  | 0,000127294 |             |           |                    |            |            |                   |
| SPL1 1                 | 0,195             | 0,01625     |             |             |             |           |                    |            |            |                   |
| SPL1 2                 | 0,188             | 0,015666667 |             |             |             |           |                    |            |            |                   |
| SPL1 3                 | 0,125             | 0,010416667 | 0,01411111  | 0,003212749 | 0,01        | 0,0615385 | 0,458955224        | 54,4715447 | 0,0033521  | 0,33520951        |
| SPL2 1                 | 0,152             | 0,012666667 |             |             |             |           |                    |            |            |                   |
| SPL2 2                 | 0,204             | 0,017       |             |             |             |           |                    |            |            |                   |
| SPL2 3                 | 0,14              | 0,011666667 | 0,01377778  | 0,002834967 | 0,009666667 | 0,0594872 | 0,447761194        | 55,8333333 | 0,00332137 | 0,33213675        |
| SPL3 1                 | 0,276             | 0,023       |             |             |             |           |                    |            |            |                   |
| SPL3 2                 | 0,086             | 0,007166667 |             |             |             |           |                    |            |            |                   |
| SPL3 3                 | 0,088             | 0,007333333 | 0,0125      | 0,009093649 | 0,00838889  | 0,0516239 | 0,436567164        | 57,2649573 | 0,00295624 | 0,29562422        |
| SPL4 1                 | 0,137             | 0,011416667 |             |             |             |           |                    |            |            |                   |
| SPL4 2                 | 0,101             | 0,008416667 |             |             |             |           |                    |            |            |                   |
| SPL4 3                 | 0,093             | 0,00775     | 0,00919444  | 0,001953155 | 0,00508333  | 0,0312821 | 0,440298507        | 56,779661  | 0,00177618 | 0,17761843        |
| SPL5 1                 | 0,131             | 0,010916667 |             |             |             |           |                    |            |            |                   |
| SPL5 2                 | 0,197             | 0,016416667 |             |             |             |           |                    |            |            |                   |
| SPL5 3                 | 0,104             | 0,008666667 | 0,012       | 0,003986958 | 0,00788889  | 0,0485470 | 0,440298507        | 56,779661  | 0,00275648 | 0,27564827        |
| SPL6 1                 | 0,315             | 0,02625     |             |             |             |           |                    |            |            |                   |
| SPL6 2                 | 0,251             | 0,020916667 |             |             |             |           |                    |            |            |                   |
| SPL6 3                 | 0,16              | 0,013333333 | 0,020166667 | 0,006490912 | 0,01605556  | 0,0988034 | 0,440298507        | 56,779661  | 0,00561002 | 0,56100246        |
| SPL7 1                 | 0,38              | 0,031666667 |             |             |             |           |                    |            |            |                   |
| SPL7 2                 | 0,432             | 0,036       |             |             |             |           |                    |            |            |                   |

|         |       |             |             |             |            |             |             |            |            |            |
|---------|-------|-------------|-------------|-------------|------------|-------------|-------------|------------|------------|------------|
| SPL7 3  | 0,424 | 0,035333333 | 0,03433333  | 0,002333333 | 0,03022222 | 0,185982906 | 0,444029851 | 56,302521  | 0,01047131 | 1,04713065 |
| SPL8 1  | 0,085 | 0,007083333 |             |             |            |             |             |            |            |            |
| SPL8 2  | 0,083 | 0,006916667 |             |             |            |             |             |            |            |            |
| SPL8 3  | 0,1   | 0,008333333 | 0,00744444  | 0,000774298 | 0,00333333 | 0,020512821 | 0,447761194 | 55,8333333 | 0,0011453  | 0,11452991 |
| SPL9 1  | 0,07  | 0,005833333 |             |             |            |             |             |            |            |            |
| SPL9 2  | 0,067 | 0,005583333 |             |             |            |             |             |            |            |            |
| SPL9 3  | 0,068 | 0,005666667 | 0,00569444  | 0,000127294 | 0,00158333 | 0,00974359  | 0,451492537 | 55,3719008 | 0,00053952 | 0,05395211 |
| SPL10 1 | 0,428 | 0,035666667 |             |             |            |             |             |            |            |            |
| SPL10 2 | 0,212 | 0,017666667 |             |             |            |             |             |            |            |            |
| SPL10 3 | 0,273 | 0,02275     | 0,02536111  | 0,009279732 | 0,02125    | 0,130769231 | 0,440298507 | 56,779661  | 0,00742503 | 0,74250326 |
| SPL11 1 | 0,11  | 0,009166667 |             |             |            |             |             |            |            |            |
| SPL11 2 | 0,404 | 0,033666667 |             |             |            |             |             |            |            |            |
| SPL11 3 | 0,115 | 0,009583333 | 0,01747222  | 0,014026348 | 0,01336111 | 0,082222222 | 0,440298507 | 56,779661  | 0,00466855 | 0,46685499 |
| SPL12 1 | 0,237 | 0,01975     |             |             |            |             |             |            |            |            |
| SPL12 2 | 0,258 | 0,0215      |             |             |            |             |             |            |            |            |
| SPL12 3 | 0,567 | 0,04725     | 0,0295      | 0,015396834 | 0,02538889 | 0,156239316 | 0,440298507 | 56,779661  | 0,00887122 | 0,88712154 |
| SPL13 1 | 0,493 | 0,041083333 |             |             |            |             |             |            |            |            |
| SPL13 2 | 0,296 | 0,024666667 |             |             |            |             |             |            |            |            |
| SPL13 3 | 0,169 | 0,014083333 | 0,02661111  | 0,013604619 | 0,0225     | 0,138461538 | 0,436567164 | 57,2649573 | 0,00792899 | 0,79289941 |
| SPL14 1 | 0,133 | 0,011083333 |             |             |            |             |             |            |            |            |
| SPL14 2 | 0,071 | 0,005916667 |             |             |            |             |             |            |            |            |
| SPL14 3 | 0,879 | 0,07325     | 0,03008333  | 0,037472583 | 0,02597222 | 0,15982906  | 0,440298507 | 56,779661  | 0,00907504 | 0,90750398 |
| SPL15 1 | 0,129 | 0,01075     |             |             |            |             |             |            |            |            |
| SPL15 2 | 0,131 | 0,010916667 |             |             |            |             |             |            |            |            |
| SPL15 3 | 0,29  | 0,024166667 | 0,015277778 | 0,007698455 | 0,01116667 | 0,068717949 | 0,447761194 | 55,8333333 | 0,00383675 | 0,38367521 |
| SPL16 1 | 0,415 | 0,034583333 |             |             |            |             |             |            |            |            |
| SPL16 2 | 0,366 | 0,0305      |             |             |            |             |             |            |            |            |
| SPL16 3 | 0,16  | 0,013333333 | 0,02613889  | 0,011276307 | 0,02202778 | 0,135555556 | 0,492537313 | 50,7575758 | 0,00688047 | 0,68804714 |
| SPL17 1 | 0,629 | 0,052416667 |             |             |            |             |             |            |            |            |
| SPL17 2 | 0,56  | 0,046666667 |             |             |            |             |             |            |            |            |
| SPL17 3 | 0,694 | 0,057833333 | 0,05230556  | 0,005584162 | 0,04819444 | 0,296581197 | 0,470149254 | 53,1746032 | 0,01577059 | 1,57705874 |
| SPL18 1 | 0,323 | 0,026916667 |             |             |            |             |             |            |            |            |
| SPL18 2 | 0,077 | 0,006416667 |             |             |            |             |             |            |            |            |
| SPL18 3 | 0,081 | 0,00675     | 0,01336111  | 0,011740639 | 0,00925    | 0,056923077 | 0,444029851 | 56,302521  | 0,00320491 | 0,32049127 |
| SPL19 1 | 0,157 | 0,013083333 |             |             |            |             |             |            |            |            |
| SPL19 2 | 0,64  | 0,053333333 |             |             |            |             |             |            |            |            |
| SPL19 3 | 0,067 | 0,005583333 | 0,024       | 0,025678704 | 0,01988889 | 0,122393162 | 0,440298507 | 56,779661  | 0,00694944 | 0,69494423 |
| SPL20 1 | 0,114 | 0,0095      |             |             |            |             |             |            |            |            |
| SPL20 2 | 0,09  | 0,0075      |             |             |            |             |             |            |            |            |
| SPL20 3 | 0,096 | 0,008       | 0,00833333  | 0,001040833 | 0,00422222 | 0,025982906 | 0,440298507 | 56,779661  | 0,0014753  | 0,14753006 |